

## COMITETUL DE REDACȚIE

Redactor responsabil:

Academician EUGEN A. PORA

Redactor responsabil adjuncț:

R. CODREANU, membru corespondent al Academiei Republicii Socialiste România

Membri:

M. A. IONESCU, membru corespondent al Academiei Republicii Socialiste România; MIHAI BĂCĂSCU, membru corespondent al Academiei Republicii Socialiste România; OLGA NECRASOV, membru corespondent al Academiei Republicii Socialiste România; GR. ELIEȘCU, membru corespondent al Academiei Republicii Socialiste România; MARIA CALOIANU-IORDĂCHEL — *secretar de redacție*.

Prețul unui abonament este de 90 de lei.

În țară abonamentele se primesc la oficiile poștale, agențiile poștale, factorii poștali și difuzorii de presă din întreprinderi și instituții. Comenzile de abonamente din străinătate se primesc la întreprinderea ROMPRESHATELIA, Căsuța poștală 2001, telex 011631, București, România, sau la reprezentanții săi din străinătate.

Manuscrisele, cărțile și revistele pentru schimb, precum și orice corespondență se vor trimite pe adresa Comitetului de redacție al revistei „Studii și cercetări de biologie — Seria zoologie”.

APARE DE 6 ORI PE AN

ADRESA REDACȚIEI  
SPLAIUL INDEPENDENȚEI NR. 296  
BUCUREȘTI 17

# Studii și cercetări de BIOLOGIE

## SERIA ZOOLOGIE

TOMUL 25

1973

Nr. 5

## SUMAR

	Pag.
MAGDA CĂLUGĂR, Contribuții la cunoașterea oribatidelor ( <i>Acari: Oribatei</i> ) din regiunea de izvoare a râului Bahlui . . . . .	405
Z. FEIDER și IULIA MIRONESCU, <i>Rhinonyssus alberti</i> Strandtmann, 1956 parazit din cavitatea nazală la <i>Podiceps griseigena</i> . . . . .	415
MARGARETA CANTOREANU, Specii silvicole de cicadine ( <i>Hom. Auchen.</i> ) din zona montană . . . . .	421
MATILDA LĂCĂTUȘU și TRAIAN ROMAN, Braconide parazite la dăunătorii stufului din Delta Dunării . . . . .	427
ELEONORA ERHAN, Noi contribuții la cunoașterea tipulinelor ( <i>Diptera-Tipulidae</i> ) din România . . . . .	437
ANDRIANA DAMIAN-GEORGESCU, Contribuții la cunoașterea genurilor <i>Forcipomyia</i> și <i>Dasyhelea</i> ( <i>Diptera-Ceratopogonidae</i> ) din România . . . . .	447
DAGMAR LINGNER, O anomalie a sistemului neurosecretor caudal la <i>Scophthalmus maeoticus</i> (Pallas 1831) . . . . .	455
ANCA PETRESCU-RAIANU, Modificări sezoniere în țesutul cromafin din glanda suprarenală la <i>Phalacrocorax carbo</i> L. . . . .	461
E. A. PORA și P. ORBAI, Modificări metabolice în timus în urma paratiroidectomiei la șobolanul alb . . . . .	469
N. STĂNCIOIU, Concentrația unor componente sanguine la vaci cu producția de lapte diferită . . . . .	473

St. și cerc. biol. seria zoologie t. 25 nr. 5 p. 403—508, București 1973

ST. OPRESCU și OLGA CONSTANTINESCU, Aberații cromozomiale induse cu raze X (200 r, 400 r și 600 r) la iepure . . . .	479
T. PERJU și M. SAVATTI, Gradul de infestare a trifoiului roșu ( <i>Trifolium pratense</i> L.) de către specii de curculionide . . .	485
C. PORTELLI, Studiul comparativ al moleculelor omoloage cu secvențe chimice cunoscute . . . . .	493
ȘTEFANIA FLORU, AL. POLIZU și L. MANOLACHE, Cercetări privind reziduurile unor insecticide organoclorurate la fazani . . . . .	501
RECENZII . . . . .	507

## CONTRIBUȚII LA CUNOAȘTEREA ORIBATIDELOR (ACARI: ORIBATEI) DIN REGIUNEA DE IZVOARE A RÎULUI BÄHLUI

DE

MAGDA CÄLUGÄR

The present work deals with oribatids fauna from 5 biotopes placed in the springs area of the Bahlui river, 104 species being determined, out of which 11 are new species for the country fauna.

The author gives the abundance of species per biotope and makes a comparison between biotopes from this viewpoint.

Lucrarea prezentă face parte dintr-un studiu privind fauna oribatidelor din bazinul Bahluiului și se referă la regiunea de unde izvorăște acest râu.

Regiunea de izvoare a Bahluiului este situată la nord de orașul Hîrlău în apropierea comunei Pîrcovaci și se caracterizează printr-o zonă deluroasă acoperită de vechi păduri de fag.

Materialul de oribatide a fost colectat în luna iulie 1972 din următorii biotopi :

- 1) trunchiuri de copac în diferite faze de descompunere (t.);
- 2) frunzar de fag (f.);
- 3) mușchi (m.);
- 4) sol de mlaștină eutrofă cu *Equisetum maximum* (ml.);
- 5) poiană (p.).

Trebuie menționat că pentru a fi posibilă compararea acestor biotopi s-a prelucrat un număr egal de probe.

În total au fost determinate 6 615 exemplare de oribatide, aparținând la 104 specii dintre care 11 sînt noi pentru fauna țării.

Se dă mai jos lista speciilor de oribatide găsite în zona cercetată, indicîndu-se totodată biotopii, precum și abundența numerică în indivizi pentru fiecare specie semnalată.\*

\* Prin inițiale se indică biotopul, iar prin cifrele arabe dintre paranteze abundența numerică în indivizi.



- Hypochthonoidea* Balogh, 1961  
*Hypochthoniidae* Berlese, 1910
1. *Hypochthonius rufulus* C. L. Koch, 1836  
t. (14); f. (62); m. (3); ml. (0); p. (2).  
*Eniochthoniidae* Grandjean, 1947.
  2. *Eniochthonius pallidulus* (C. L. Koch), 1836  
t. (21); f. (56); m. (82); ml. (20); p. (2).  
*Brachychthoniidae* Balogh, 1943
  3. *Brachychthonius brevis* Mich., 1888\*\*  
t. (0); f. (25); m. (12); ml. (0); p. (0).  
*Cosmochthoniidae* Grandjean, 1947
  4. *Cosmochthonius lanatus* (Mich.), 1885  
t. (0); f. (1); m. (0); ml. (0); p. (1).  
*Mesoplophoridae* Hammen, 1959  
*Mesoplophoridae* Ewing, 1917
  5. *Mesoplophora pulchra* Sell., 1928\*\*  
t. (6); f. (0); m. (0); ml. (0); p. (0).  
*Phthiracaroidae* Grandjean, 1954  
*Phthiracaridae* Perty, 1841
  6. *Tropacarus carinatus* (C. L. Koch), 1841  
t. (2); f. (0); m. (0); ml. (0); p. (0).
  7. *Steganacarus striculus* (C. L. Koch), 1835  
t. (72); f. (51); m. (0); ml. (9); p. (7).
  8. *Steganacarus magnum* (Nic.), 1855  
t. (20); f. (12); m. (0); ml. (0); p. (0)
  9. *Phthiracarus anonymum* Grandjean, 1933  
t. (102); f. (11); m. (40); ml. (0); p. (3).
  10. *Phthiracarus pallidus* Feider et Suciu, 1957  
t. (32); f. (31); m. (12); ml. (0); p. (0).
  11. *Phthiracarus lentulus* (C. L. Koch), 1841  
t. (114); f. (0); m. (0); ml. (0); p. (0).
  12. *Phthiracarus globosus* (C. L. Koch), 1841  
t. (46); f. (10); m. (18); ml. (1); p. (0).
  13. *Phthiracarus ligneus* Willmann, 1931  
t. (27); f. (0); m. (0); ml. (0); p. (0).
  14. *Phthiracarus piger* (Scopoli), 1763  
t. (35); f. (9); m. (0); ml. (0); p. (0).
  15. *Phthiracarus tardus* Forsslund, 1956 \*\*  
t. (1); f. (0); m. (0); ml. (0); p. (0).
  16. *Phthiracarus jacoti* Feider et Suciu, 1956  
t. (35); f. (4); m. (0); ml. (0); p. (0).  
*Oribotritiidae* Grandjean, 1954
  17. *Oribotritia fennica* Forsslund et Märkel, 1963 \*\*  
t. (3); f. (0); m. (0); ml. (0); p. (0).  
*Euphthiracaridae* Jacot, 1930.
  18. *Euphthiracarus intermedius* Feider et Suciu, 1957  
t. (25); f. (0); m. (4); ml. (1); p. (0).
  19. *Euphthiracarus monodactylus* Willmann, 1919  
t. (14); f. (13); m. (0); ml. (0); p. (0).

\*\* Specie nouă pentru fauna României.

20. *Rhysoiritia loricata* (Rathke), 1799  
t. (0); f. (0); m. (3); ml. (0); p. (0).  
*Nothroidea* Grandjean, 1954  
*Nothridae* Berl., 1896.
21. *Nothrus palustris* (C. L. Koch), 1840  
t. (5); f. (13); m. (0); ml. (1); p. (0).  
*Camisiidae* Oudms., 1900.
22. *Camisia spinifer* (C. L. Koch), 1835  
t. (0); f. (0); m. (0); ml. (4); p. (0).
23. *Platynothrus peltifer* (C. L. Koch), 1839  
t. (10); f. (8); m. (0); ml. (1); p. (246).  
*Trhypochthoniidae* Willm., 1931
24. *Trhypochthonius tectorum* Berlese, 1896.  
t. (1); f. (0); m. (0); ml. (0); p. (0).  
*Malaconothridae* Berlese, 1916
25. *Malaconothrus egregius* Berl., 1904 \*\*  
t. (0); f. (1); m. (0); ml. (0); p. (0)  
*Nanhermanniidae* Sell., 1928.
26. *Nanhermannia nana* Nic., 1855  
t. (40); f. (8); m. (0); ml. (0); p. (2).
27. *Nanhermannia elegantula* Berl.  
t. (0); f. (0); m. (0); ml. (2); p. (0).  
*Hermannielloidea* Balogh, 1961  
*Hermanniellidae* Grandj., 1934.
28. *Hermanniella granulata* Nic., 1855  
t. (212); f. (29); m. (3); ml. (0); p. (34)  
*Liodoidea* Balogh, 1961  
*Liodidae* Grandj., 1954.
29. *Liodes theleproctus* (Herm.), 1804  
t. (1); f. (0); m. (0); ml. (0); p. (0).
30. *Platylodes scaliger* (C. L. Koch), 1840  
t. (6); f. (4); m. (16); ml. (6); p. (0).  
*Damaeidea* Balogh, 1961  
*Damaeidae* Berl., 1896.
31. *Epidamaeus flexispinosus* Kunst.  
t. (1); f. (0); m. (0); ml. (0); p. (0).
32. *Porobelba spinosa* (Sell.), 1920 \*\*  
t. (0); f. (0); m. (0); ml. (12); p. (0).
33. *Metabelba pulverulenta* (C. L. Koch), 1840  
t. (0); f. (45); m. (0); ml. (0); p. (2).
34. *Hypodamaeus riparius* (Nic.), 1855  
t. (6); f. (0); m. (0); ml. (0); p. (0).
35. *Belba compta* (Kulcz), 1902  
t. (0); f. (7); m. (0); ml. (0); p. (0)  
*Cepheoidea* Balogh, 1961  
*Cepheidae* Berl., 1896.
36. *Tritegeus bifidatus* (Nic.), 1855  
t. (1); f. (0); m. (4); ml. (0); p. (0)  
*Microzetidae* Grandj., 1936.



37. *Nellacarus septentrionalis* Kunst., 1963 \*\*  
t. (0); f. (1); m. (0); ml. (0); p. (0)  
*Zetorchestoidea* Balogh, 1961  
*Gustaviidae* Oudms., 1900.
38. *Gustavia microcephala* Nic., 1855  
t. (0); f. (79); m. (0); ml. (0); p. (4)  
*Zetorchestidae* (Mich.), 1898.
39. *Zetorchestes micronychus* Berl., 1883  
t. (0); f. (53); m. (20); ml. (10); p. (1)  
*Eremaeoidae* Woolley, 1956  
*Eremaeoidae* Sell., 1928.
40. *Eremaeus silvaticus* Forsslund, 1956  
t. (0); f. (59); m. (0); ml. (0); p. (0).
41. *Eremaeus oblongus* (C. L. Koch), 1836  
t. (2); f. (0); m. (23); ml. (1); p. (0).  
*Eremobelbidae* Balogh, 1961.
42. *Damaeolus ornatissimus* Csiszar, 1960  
t. (0); f. (121); m. (12); ml. (0); p. (0).  
*Liacaroidae* Balogh, 1961  
*Metrioppiidae* Balogh, 1943
43. *Ceratoppia bipilis* (Herm.), 1804  
t. (0); f. (6); m. (0); ml. (1); p. (0)  
*Liacaridae* Sell., 1928.
44. *Birsteininus punctulatus* (Michelčič), 1956  
t. (1); f. (9); m. (0); ml. (0); p. (1)
45. *Liacarus coracinus* (C. L. Koch), 1840  
t. (36); f. (3); m. (0); ml. (0); p. (0).
46. *Liacarus tremellae* (L.), 1761  
t. (5); f. (11); m. (0); ml. (0); p. (0)  
*Xenillidae* Woolley et Higgins, 1966.
47. *Xenillus tegeocranus* (Herm.), 1804  
t. (0); f. (0); m. (0); ml. (29); p. (0).
48. *Xenillus clypeator* Rob. — Desv., 1839  
t. (1); f. (0); m. (0); ml. (0); p. (0)  
*Astegistidae* Balogh, 1961.
49. *Cultroribula Szent-Ivanyi* Balogh,  
t. (0); f. (4); m. (0); ml. (0); p. (0)  
*Carabodoidea* Woolley, 1956  
*Carabodidae* Willm., 1931.
50. *Carabodes areolatus* Berl., 1916  
t. (35); f. (16); m. (0); ml. (0); p. (0)
51. *Carabodes femoralis* (Nic.), 1855  
t. (33); f. (0); m. (6); ml. (5); p. (0).
52. *Carabodes coriaceus* (C. L. Koch), 1836  
t. (21); f. (4); m. (10); ml. (1); p. (0).
53. *Carabodes marginatus* (Mich.), 1884  
t. (6); f. (5); m. (7); ml. (2); p. (0).
54. *Carabodes minusculus* (Berl.), 1923  
t. (0); f. (1); m. (0); ml. (3); p. (0)  
*Tectocephidae* Grandj., 1954.

55. *Tectocephus velatus* (Mich.), 1880  
t. (47); f. (47); m. (120); ml. (16); p. (149).
56. *Tectocephus alatus* Berl., 1913  
t. (0); f. (0); m. (39); ml. (0); p. (0)  
*Oppioidea* Balogh, 1961  
*Oppiidae* Grandj., 1954.
57. *Caleremaeus monilipes* Mich., 1882 \*\*  
t. (459); f. (0); m. (0); ml. (30); p. (1)
58. *Quadroppia quadricarinata* (Mich.), 1885  
t. (16); f. (45); ml. (36); ml. (100); p. (12).
59. *Oppia falax* (Paoli), 1908  
t. (0); f. (0); m. (0); ml. (0); p. (12).
60. *Oppia obsoleta* (Paoli), 1908  
t. (5); f. (60); m. (29); ml. (0); p. (67).
61. *Oppia minus* (Paoli), 1908  
t. (27); f. (90); m. (0); ml. (0); p. (1).
62. *Oppia translamelata* (Willm.), 1923  
t. (0); f. (0); m. (0); ml. (36); p. (0).
63. *Oppia unicarinata* (Paoli), 1908  
t. (35); f. (240); m. (0); ml. (20); p. (0).
64. *Oppia willmanni* (Dyrs.), 1929  
t. (0); f. (0); m. (0); ml. (2); p. (0).
65. *Oppia furcata* (Willm.), 1928  
t. (17); f. (0); m. (0); ml. (0); p. (0).
66. *Oppia insculpta* (Paoli), 1908  
t. (0); f. (210); m. (26); ml. (0); p. (46).
67. *Oppia ornata* (Oudms.), 1900  
t. (0); f. (340); m. (0); ml. (25); p. (48)  
*Thyrisomidae* Grandj., 1953
68. *Oribella paoli* Oudms., 1917  
t. (1); f. (2); m. (0); ml. (0); p. (10)
69. *Oribella castanea* (Herm.), 1804  
t. (4); f. (0); m. (0); ml. (0); p. (0)  
*Suctobelbidae* Grandj., 1954
70. *Suctobelba corniger* (Berl.), Paoli \*\*  
t. (10); f. (0); m. (0); ml. (0); p. (0)
71. *Suctobelba subtrigona* (Oudms.), 1900  
t. (1); f. (0); m. (0); ml. (0); p. (13)
72. *Suctobelba perforata* Strenzke, 1951  
t. (4); f. (0); m. (0); ml. (0); p. (0)  
*Passalozetoidea* Balogh, 1961  
*Licneremaeidae* Grandj., 1931
73. *Licneremaeus lienophorus* Mich., 1888  
t. (0); f. (0); m. (0); ml. (20); p. (0)  
*Eupelopoidea* Balogh, 1961  
*Eupelopidae* Balogh, 1961
74. *Eupelops planicornis*  
t. (1); f. (14); m. (0); ml. (0); p. (2)
75. *Eupelops acromius*  
t. (0); f. (0); m. (0); ml. (0); p. (1)



76. *Peloptulus phaenotus* (C. L. Koch), 1844  
t. (14); f. (0); m. (0); ml. (0); p. (30)  
*Oribatelloidea* Woolley, 1956  
*Achipteriidae* Thor, 1929
77. *Achipteria coleoptrata* (L.), 1758  
t. (15); f. (225); m. (0); ml. (0); p. (0)
78. *Achipteria longisensillus* Schweiser, 1956  
t. (3); f. (0); m. (0); ml. (0); p. (0)
79. *Parachipteria punctata* (Nic.), 1855  
t. (66); f. (64); m. (29); ml. (4); p. (30).
80. *Anachipteria connexa* (Berlese)  
t. (126); f. (6); m. (4); ml. (0); p. (0)  
*Oribatellidae* Jacot, 1925.
81. *Oribatella calcarata* (C.L.Koch), 1836  
t. (3); f. (13); m. (0); ml. (0); p. (0).
82. *Oribatella meridionalis* Berl., 1908  
t. (0); f. (1); m. (3); ml. (0); p. (0).
83. *Joëlia connexa* Berl., 1904  
t. (5); f. (7); m. (0); ml. (0); p. (2)  
*Ceratozetidae* Balogh, 1961  
*Ceratozetidae* Jacot, 1925.
84. *Globozetes longipilus* Sell., 1928\*\*  
t. (2); f. (1); m. (0); ml. (0); p. (0).
85. *Melanozetes meridianus* Sell., 1928  
t. (0); f. (0); m. (0); ml. (0); p. (1)
86. *Trichoribates novus* Sell., 1928\*\*  
t. (0); f. (1); m. (0); ml. (0); p. (0).
87. *Spaerozetes piriformis* (Nic.), 1855  
t. (5); f. (0); m. (0); ml. (0); p. (0).
88. *Ceratozetes gracilis* (Mich.), 1884  
t. (0); f. (32); m. (0); ml. (0); p. (0).
89. *Ceratozetes thiaeniemanni* Willm., 1943  
t. (1); f. (28); m. (0); ml. (0); p. (1)  
*Mycobatidae* Grandj., 1954.
90. *Minunthozetes semirufus* (C. L. Koch), 1841  
t. (17); f. (12); m. (0); ml. (0); p. (38).
91. *Minunthozetes pseudofusiger* (Schweizer), 1922  
t. (0); f. (0); m. (0); ml. (0); p. (1)  
*Chamobatidae* Grandj., 1954.
92. *Chamobates cuspidatus* (Mich.), 1884  
t. (27); f. (215); m. (59); ml. (25); p. (4)
93. *Chamobates voigtsi* (Oudms.), 1902  
t. (0); f. (24); m. (34); ml. (0); p. (0)  
*Euzetidae* Grandj., 1954.
94. *Euzetes globulus* (Nic.), 1855\*\*  
t. (3); f. (0); m. (0); ml. (0); p. (0)  
*Galumnoidea* Balogh, 1961  
*Galumnidae* Grandj., 1936.
95. *Galumna lanceatus* Oudms.; 1900  
t. (0); f. (43); m. (0); ml. (0); p. (0).

96. *Galumna obivus* (Berl.), 1913  
t. (0); f. (1); m. (0); ml. (0); p. (1).
97. *Pergalumna nervosus* (Berl.), 1914  
t. (50); f. (67); m. (32); ml. (0); p. (0)  
*Oribatuloidea* Woolley, 1956  
*Oribatulidae* Jacot, 1929.
98. *Oribatulla tibialis* (Nic.), 1885  
t. (5); f. (49); m. (25); ml. (9); p. (0).
99. *Liebstadia similis* (Mich.), 1888  
t. (0); f. (0); m. (0); ml. (0); p. (1).
100. *Paraleius leontonychus* (Berl.), 1910  
t. (0); f. (10); m. (0); ml. (0); p. (0).
101. *Scheloribates laevigatus* (C. L. Koch), 1836  
t. (23); f. (24); m. (12); ml. (0); p. (39).
102. *Scheloribates confundatus* Sell., 1928  
t. (9); f. (0); m. (0); ml. (0); p. (0)  
*Haplozetidae* Grandj., 1936.
103. *Xylobates lophotrichus* (Berl.), 1904  
t. (0); f. (18); m. (0); ml. (2); p. (1).
104. *Xylobates capucinus* Berl., 1908  
t. (26); f. (0); m. (0); ml. (0); p. (0).

Analizând fauna mai sus citată din punctul de vedere al repartiției speciilor și al abundenței numerice totale în indivizi pe biotop, se constată că în luna iulie trunchiurile putrede și frunzarul de fag oferă condițiile cele mai favorabile pentru populațiile de oribatide permițând dezvoltarea atât ca număr de specii, cât și ca număr de indivizi.

Mlaștina cu *Equisetum maximum* este biotopul cel mai sărac în specii și indivizi. Numeric, se remarcă doar o singură specie *Quadroppia quadricarinata*.

Tabelul nr. 1  
Distribuția oribatidelor după biotop

	Biotop	Abundența	
		în specii	indivizi
1	Trunchi de copac în descompunere	66	2 028
2	Frunzar de fag	63	2 641
3	Mușchi	30	723
4	Sol de mlaștină eutrofă cu <i>Equisetum maximum</i>	29	378
5	Poiană	37	825

Un aspect interesant se desprinde urmărind grupul de oribatide *Ptyctima* în biotopii mai sus citați.

Se observă că acestea domină atât ca specii, cât și ca indivizi în trunchiurile în descompunere, numărul lor reducându-se în ceilalți biotopi,



asa încît în poiană s-au găsit doar trei specii reprezentate prin 20 de exemplare.

Se poate conchide că acest prim studiu al faunei de oribatide din regiunea de izvoare a râului Bahlui a reliefat nu numai faptul că grupul

Tabelul nr. 2

Aspectul cantitativ și calitativ al oribatidelor *Ptyclima* în biotopii studiați

	B i o t o p	A b u n d e n ța	
		în specii	indivizi
1	Trunchi de copac în descompunere	14	513
2	Frunzar de fag	8	141
3	Mușchi	5	77
4	Sol de mlaștină eutrofă cu <i>Equisetum maximum</i>	4	23
5	Poiană	3	20

este bine reprezentat calitativ și cantitativ, dar și existența în această zonă a unor elemente de pădure rare ca : *Mesoplophora pulchra*, *Malaconothrus egregius*, *Nellacarus septentrionalis*, ce își găsesc explicația în vechimea pădurii de fag întâlnite aici.

(Avizat de prof. Z. Feider.)

#### CONTRIBUTION À L'ÉTUDE DES ORIBATIDÉS (*Acari: Oribatei*) DE LA RÉGION DES SOURCES DE LA RIVIÈRE BAHLUI

##### RÉSUMÉ

Dans ce travail on étudie la faune des Oribatidés des suivants biotopes situés dans la région des sources de la rivière Bahlui : 1. troncs d'arbres pourris ; 2. feuilles mortes de hêtre ; 3. mousse ; 4. sol de marais avec *Equisetum maximum* ; 5. clairière. On a déterminé 104 espèces, parmi lesquelles 11 sont nouvelles pour la faune de Roumanie.

L'auteur indique l'abondance de chaque espèce sur le biotope, en comparant les biotopes de ce point de vue.

##### BIBLIOGRAFIE

1. BALOGH J., 1943, Math. Kozl., **39**, 202.
2. — 1965, Acta. Zool. Acad. Sciung., **11**, 1—2, 5—99.
3. — 1972, *The Oribatid genera of the World.*, Akad. Kiado, Budapesta.

4. BERLESE A., 1896, *Ordo Cryptostigmata (Oribatidae)*. *Acari, Myriapoda et Scorpiones*. Firenze.
5. COOREMANN J., 1951, Bull. Inst. Sci. Nat. Belg., **27**, 42, 1—15.
6. CSISZAR J., JELEVA M., 1962, Acta Zool. Hung., 273—301.
7. DALENIUS P., 1960, Oikos København, **11**, 80—124.
8. DUMITRESCU M. și colab., 1967, Lucr. Inst. Speol. „E. Racoviță”, **6**.
9. ENGELBRECHT C. M., 1972, Researches of the National Museum, **2**, 9, 244—281.
10. FEIDER Z., VASILIU N., CALUGAR MAGDALENA, St. și cerc. biol., Seria zoologie, 1969, **21**, 6, 407—419.
11. FEIDER Z., CALUGAR MAGDA, VASILIU N., 1972, „Ocrotirea naturii”, **16**, 1, 5—12.
12. — 1973, St. și cerc. biol., Seria zoologie, **25**, 1.
13. FORSSLUND K. H., 1956, Entomol. Ts. Arg., **77**, 2—4, 211—218.
14. FORSSLUND K. H., MÄRKEL K., Entomol. Ts. Arg., 1963, **84**, 3—4, 284—286.
15. HAMMER M., 1972, Pedologia, **12**, 412—423.
16. KUNST M., Acta societatis, Zool. Bohomoslovenicae.
17. MÄRKEL K., 1964, Zool. Verhandelingen, 67.
18. SCHALK V., 1965, Fol. Ent. Hung., **18**, 15, 281—290.
19. VASILIU N., 1973, St. și Com. Muz. Șt. Nat. Bacău.
20. WILLMANN C., 1931, Tierwelt Deutschlands, Jena, **22**, 79—200.

Centrul de cercetări biologice  
Iași, str. Karl Marx nr. 47

Primit în redacție la 26 martie 1973



*RHINONYSSUS ALBERTI* STRANDTMANN, 1956  
PARAZIT DIN CAVITATEA NAZALĂ LA *PODICEPS*  
*GRISEIGENA*

DE

Z. FEIDER și IULIA MIRONESCU

In this paper the authors describe a parasitic mite new for the Romanian fauna, found upon a new host.

Speciile genului *Rhinonyssus* Trouessart, 1894 parazitează în cavitatea nazală a păsărilor din ordinele *Charadriiformes*, *Anseriformes*, *Podicipediformes* și mai rar la păsările din familiile *Alcidae* și *Rallidae* din Eurasia, America de Nord, Australia și Africa (1), (2), (3), (6).

În România sînt cunoscute pînă acum speciile: *Rhinonyssus rhinolethrum* Trouessart, 1895 pe *Anser anser* (4) și *Rhinonyssus podicipedus* Feider et Mironescu, 1972 (5). Cităm pentru prima dată în România specia *Rhinonyssus alberti* Strandtmann, 1956 (6), parazită pe *Podiceps griseigena*, găsită la 28. XI. 1968, la Sf. Gheorghe (Tulcea). De pe o singură gazdă au fost colectate opt exemplare parazite, din care șase femele și doi masculi.

În descrierea speciei, față de descrierea inițială a lui Strandtmann, se vor aduce completări mai ales privind structura gnatozomei, a picioarelor și se va descrie pentru prima dată butonul senzitiv al tarselor I.

*Femela*. Idiozoma, de 624—922  $\mu$  lungime și 500—589  $\mu$  lățime, are lungimea mai mare și lățimea mai mică în comparație cu exemplarele tip.

Scutul notopodal, lung de 326—425  $\mu$  și lat de 326—425  $\mu$ , este reticulat, cu ochiuri poligonale, în interiorul cărora se observă striții paralele și poartă șase perechi de peri. Aceeași reticulație se observă și pe scuturile accesorii.

Stigmele au o deschidere lipsită de peritremă. Restul feței dorsale este prevăzut cu striții dar este lipsit de peri (fig. 1).



Fața ventrală, lipsită de scutul sternal, prezintă peri sternali, bine dezvoltati, a căror vîrf se continuă în formă de bici. Scutul genital, lung de  $198\ \mu$  și lat de  $33\ \mu$ , este mai îngust decît la exemplarele lui Strandtmann, prezintă o reticulație cu ochiuri longitudinal alungite, dar este lipsit de peri. Scutul anal, lung de  $62-98\ \mu$  și lat de  $62-80\ \mu$ , ovalar, are o singură pereche de peri fixați în urma orificiului anal și este lipsit de cribrum. Între scutul genital și scutul anal tegumentul este acoperit de un număr de 13-14 perechi de peri scurți, lați, cu vîrf tocit (fig. 2).

Gnatozoma, lungă de  $123\ \mu$  și lată de  $118\ \mu$ , este lipsită de peri hipostomali (fig. 3). Chelicerile, lungi de  $120-180\ \mu$  și late de  $29-32\ \mu$ , au degetul mobil lung de  $29\ \mu$ , divizat în trei fișii, iar degetul fix simplu și ascuțit (fig. 4). Palpii sînt scurți și au formula perilor: femur, 0; genual, 1; tibia, 2; tars, 8.

La *Rhinonyssus rhinolethrum* și *Rhinonyssus podicipedus* numărul perilor de pe genualul palpului este mai mare. La exemplarele lui Strandtmann perii palpului, deși tot așa de scurți, sînt ceva mai groși decît la exemplarele noastre.

Picioarele au coxele mai late decît lungi și prevăzute cu peri terminați cu un vîrf în formă de bici (fig. 2). Butonul senzitiv al tarsului I este format din patru peri centrali, ascuțiți, din care doi mai lungi, flancați de trei peri laterali interni și trei peri laterali externi (fig. 5).

**Masculul.** Dimensiunile idiozomei sînt: lungimea  $660\ \mu$  și lățimea  $446\ \mu$ . Lățimea exemplarelor tip este mai mare, probabil din cauză că erau mai bine hrănite. Scutul notopodal, ceva mai îngust decît la femelă are aceeași reticulație.

Partea ventrală are perii sternali dispuși ca la femelă. Înaintea primei perechi de peri sternali se observă orificiul genital, mai lat decît lung (fig. 6). Scutul anal, lung de  $72\ \mu$  și lat de  $65\ \mu$ , are aceleași caractere ca la femelă (fig. 7). Înaintea scutului anal se găsesc 13-14 perechi de peri, de cîte  $15\ \mu$ , cu aceeași formă ca la femelă.

Gnatozoma, lungă de  $145\ \mu$  și lată de  $127\ \mu$ , este mai dezvoltată ca la femelă. Chelicerile au degetul mobil de  $32\ \mu$ , divizat în trei fișii, mai alungite ca la femelă, degetul fix este ascuțit (fig. 8).

Coxele sînt asemănătoare cu ale femelei. Picioarele au perii de aceeași formă ca la femelă. Butonul senzitiv are perii mai concentrați decît la femelă (fig. 9).

Menționăm că tot pe *Podiceps griseigena*, dar la 20.XI.1968, tot la Sf. Gheorghe, am găsit și specia *Rhinonyssus podicipedus*.

*Lecotipi*, la autori.

(Avizat de prof. Z. Feider.)

#### RHINONYSSUS ALBERTI STRANDTMANN, 1956, PARASITE DANS LA CAVITÉ NASALE DE PODICEPS GRISEIGENA

##### RÉSUMÉ

Les auteurs mentionnent pour la première fois en Roumanie la présence de l'espèce *Rhinonyssus alberti* Strandtmann, 1956, parasite sur un nouvel hôte, *Podiceps griseigena*, collectée le 28.XI.1968, à Sf. Gheorghe (Tulcea). On décrit pour la première fois le bouton sensitif.

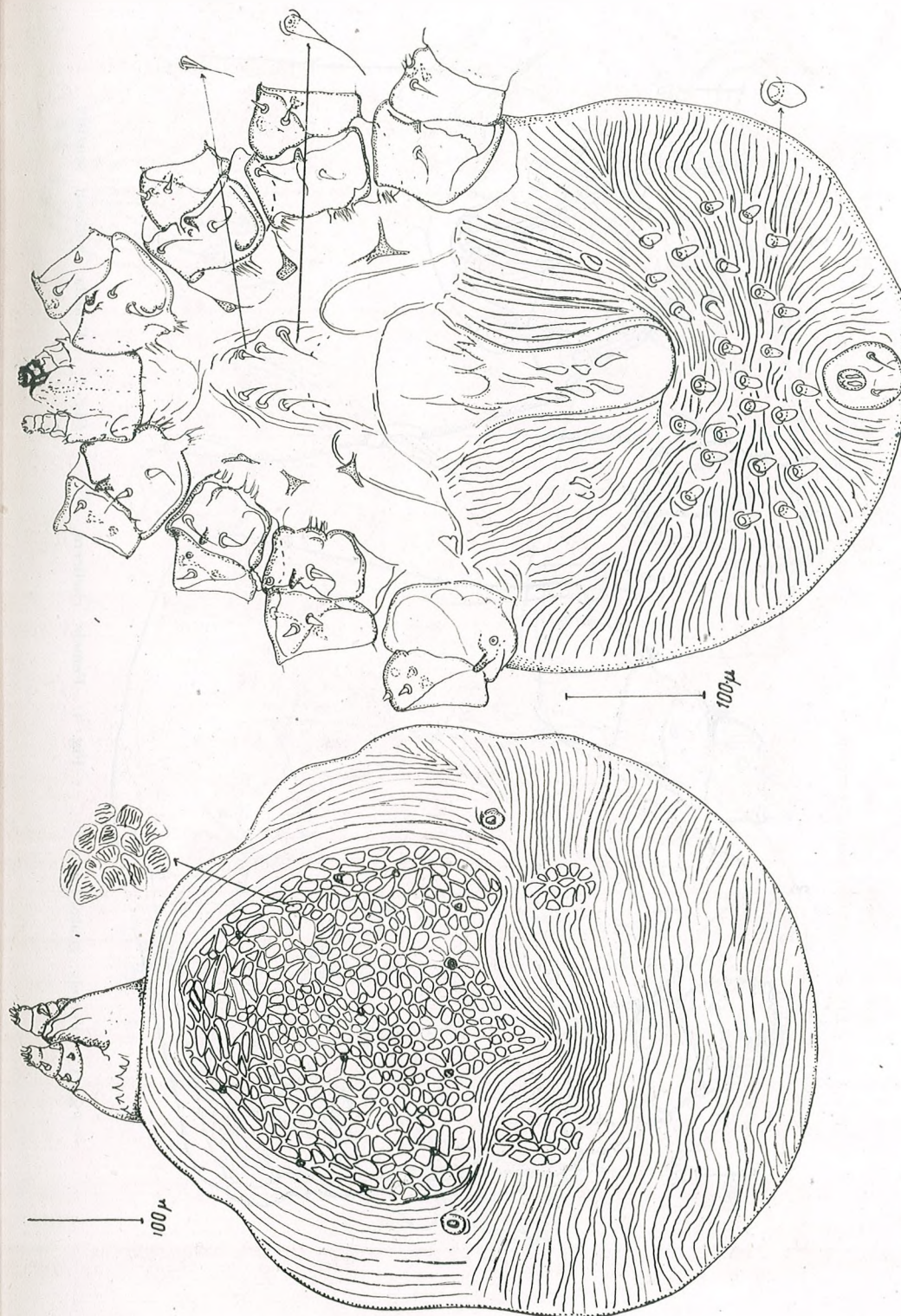


Fig. 1. — Femela, vedere dorsală.

Fig. 2 — Femela, vedere ventrală.



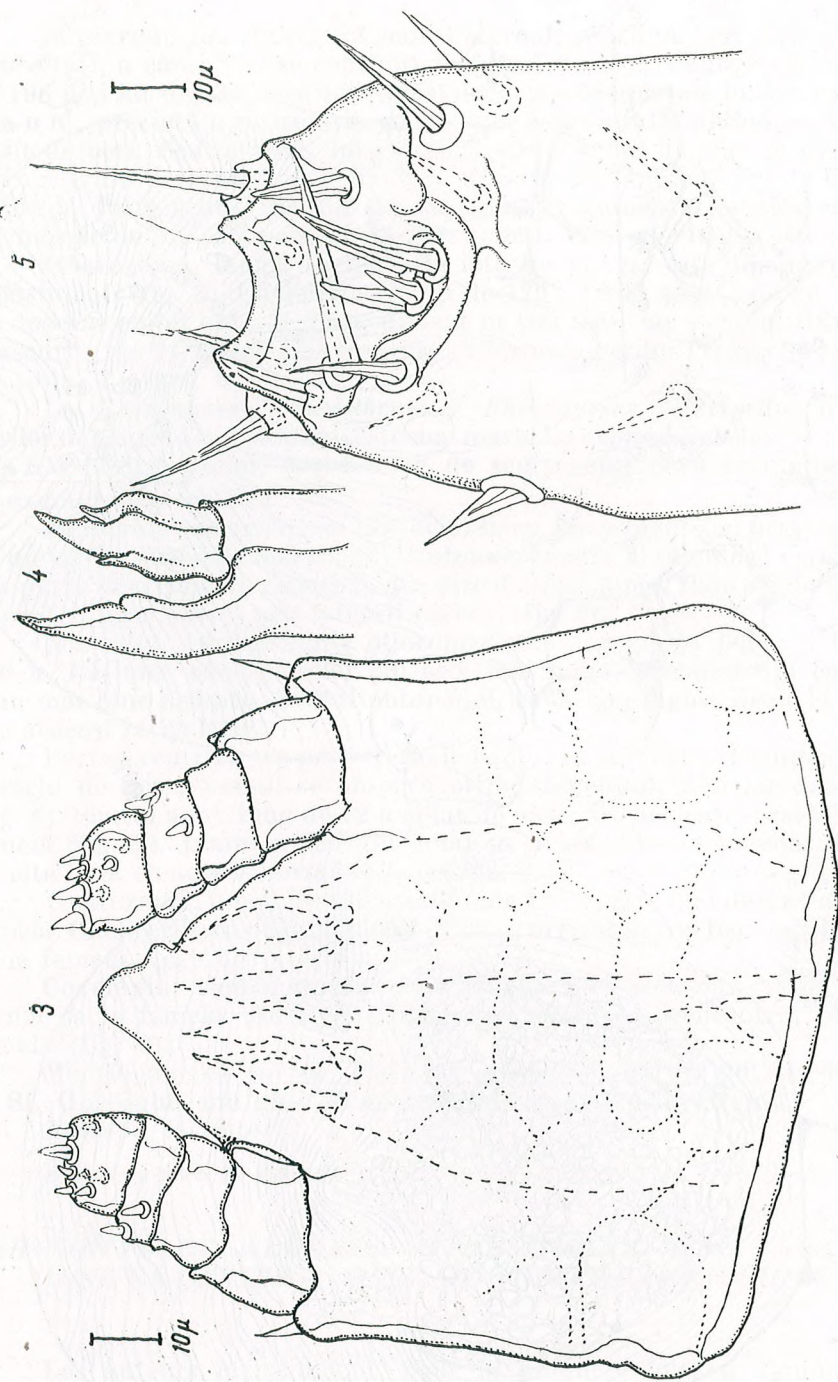


Fig. 3. — Femela, gnatozoma.

Fig. 4. — Femela, chelicere.

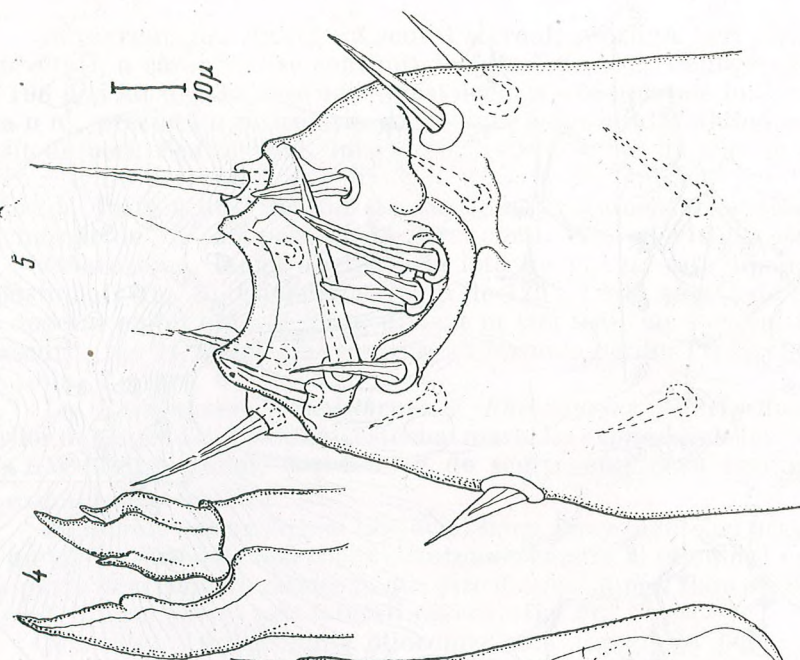


Fig. 5. — Femela, butonul senzitiv.

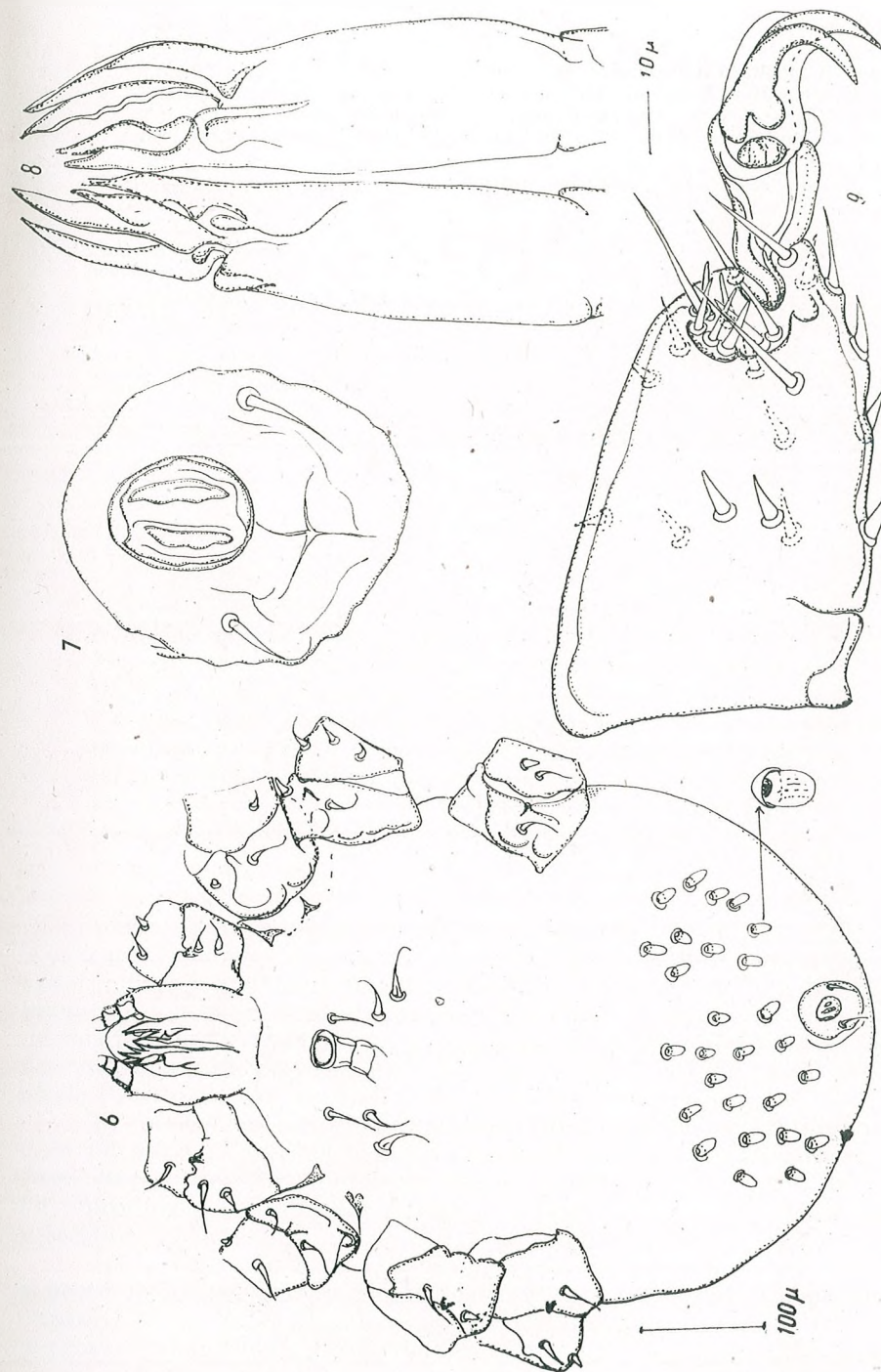
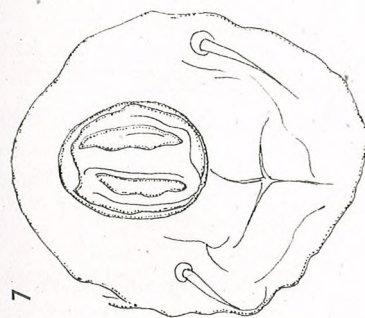


Fig. 6. — Mascul, vedere ventrală.

Fig. 7. — Mascul, scut anal.



7

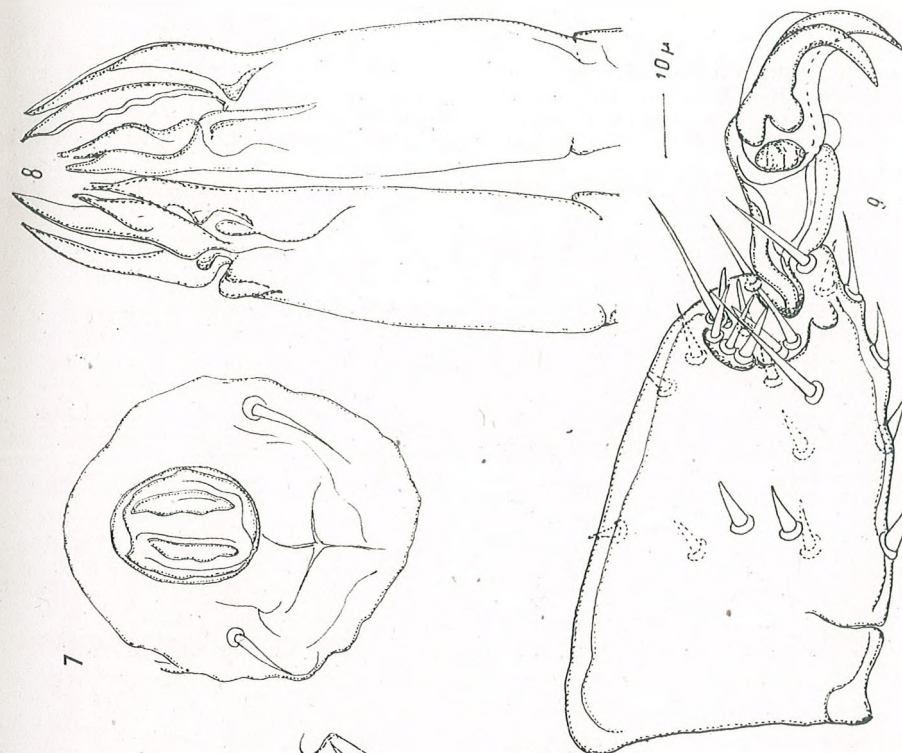


Fig. 8. — Mascul, chelicera.

Fig. 9. — Mascul, tarsul piciorului I cu butonul senzitiv.



## BIBLIOGRAFIE

1. DOMROW R., 1966, *Acarologia*, 7, 3, 430—460.
2. FAIN A., 1953, *Rev. Zool. Bot. Afr.*, 48, 1—2, 35—41.
3. FAIN A., JOHNSTON D. E., 1966, *Bull. Soc. Roy. Zool. d'Anvers*, 38, 25—41.
4. FEIDER Z., MIRONESCU IULIA, 1971, *An. Univ. „Al. I. Cuza” (Iași)*, 17, 1, 81—92.
5. — 1972, 18, 2, 317—330.
6. STRANDTMANN R. W., 1956, *Ent. Soc. Washington*, 58, 3, 129—142.

Universitatea „Al. I. Cuza”  
Laboratorul de zoologie  
Iași, Calea 23 August nr. 20 A

Primit în redacție la 9 martie 1973

## SPECII SILVICOLE DE CICADINE (HOM. AUCHEN.) DIN ZONA MONTANĂ

DE

MARGARETA CANTOREANU

The work comprises results of studies performed in the mountain zone of the Bucegi and Gârbova massifs, in the 1961—1970 period. After a brief presentation of local environment factors (climate conditions, vegetation structure, etc.) the species of identified *arboricolous Cicadidae* are indicated, viz. 67, belonging to 7 families. Observations were made on their way of feeding, trophic affinities, intra- and interspecific relations as well as on animal-host plant relations. The succession of species during a year as well as during a longer period were followed up, prevailing species were established, etc. The direct action of insects on host-plants by the feeding process and egg hatching was analysed.

Cercetările îndelungate efectuate asupra cicadinelor (*Homoptera Auchenorrhyncha*) din zona montană ne-au permis cunoașterea mai aprofundată a particularităților biologice ale speciilor și a preferințelor lor față de mediul înconjurător (biotic și abiotic). Reacția animalelor față de mediul biotic se manifestă în principal prin regimul alimentar. În mod natural, insectele prezintă afinități trofice, unele specii trăind pe arbori, altele pe arbuști, iar cele mai multe pe vegetație ierboasă.

Pornind de la faptul că în general literatura de specialitate cuprinde doar puține date privind biologia cicadinelor, ne-am propus printre altele, cunoașterea speciilor tipic arboricole, a modului lor de viață, de hrănire, de reproducere, a relațiilor animal-plantă-gazdă, a raporturilor intra- și interspecifice etc.

În lucrarea de față prezentăm unele date legate tocmai de aceste aspecte ecologice. Cercetările au fost realizate îndeosebi în zona montană cuprinsă între Valea Prahovei și platoul Munților Bucegi și Gârbova, în perioada anilor 1960—1970. Aici am avut posibilitatea de a îmbina activi-



tatea de laborator cu investigațiile directe asupra viețuitoarelor în mediul lor natural.

În regiunea sus-menționată, vegetația arborescentă ocupă un loc important, întinzându-se din valea râului Prahova până către golurile alpine ale munților. Aici deosebim o limită a pădurii propriu-zise, cu însușiri bine conturate și o limită a arborilor care înaintază sub formă de pâlcuri izolate, în condiții de mediu deosebite față de arborii pădurii. Aceste limite sînt determinate de condițiile climatice specifice zonelor muntoase ca :

- temperaturi scăzute, cu oscilații mici;
- umiditatea relativ mare a aerului;
- precipitațiile atmosferice bogate, cu variații însemnate de la un an la altul;
- curenții de aer puternici, datorită văilor formate de apele care coboară din munți.

Atît factorii climatici, cît și relieful accidentat influențează mult limitele zonei de vegetație arborescentă. La acestea se adaugă și acțiunea directă a omului care în mod artificial a determinat modificări în aspectul pădurii.

În mare, vegetația arborescentă a zonei montane se compune din următoarele specii: *Abies alba* Mill., *Picea abies* (L.), Karsten, *Larix decidua* Mill., *Pinus cembra* L., *Pinus mugo* Turra., *Pinus silvestris* L., *Carpinus betulus* L., *Betula pubescens* Ehrh., *Corylus avellana* L., *Alnus incana* (L.) Mönch., *Alnus viridis* (Chaix) D. C., *Alnus glutinosa* (L.) Gaertn., *Fagus sylvatica* L., *Fraxinus excelsior* K., *Salix caprea* L., *Ulmus scabra* Mill., *Sorbus aucuparia* L., *Crataegus monogyna* Jacq., *Acer platano-ides* L., *Acer pseudo-platanus* L. ș. a. (menționăm că am citat aici numai speciile observate de noi). La acestea se adaugă arborii cultivați din localitățile de pe Valea Prahovei (*Quercus* sp., *Tilia* sp. și *Robinia* sp.), cît și diverșii pomi fructiferi.

Plantele sînt dispuse în asociații care diferă la rîndul lor în funcție de altitudine, înclinația și expoziția terenului, de acțiunea directă a unor factori climatici etc. De exemplu, molidul și laricele în anumite zone urcă pînă în platoul alpin, în grupuri izolate sau ca exemplare unice, cu aspect modificat, ca rezultat al condițiilor de mediu locale.

În cercetarea speciilor de arbori-gazdă pentru cicadine, am avut în vedere ca acestea să fie alese din locuri cît mai diferite. Am colectat materialul cu ajutorul fileului anume adaptat, cît și cu ajutorul exhaustorului (de pe ramurile bazale).

Am eșalonat observațiile din primăvară pînă toamna tîrziu, pentru a stabili succesiunea speciilor. În felul acesta am identificat un număr de 65 de specii de cicadine arboricole pe care le enumerăm în continuare.

#### Fam. TETTIGOMETRIDAE Germ.

1. *Tettigometra virescens* (Pnz., 1799).
2. *T. obliqua* Pnz., 1799.
3. *T. sulphurea* M. R., 1855.
4. *T. griseola* Fieb., 1865.

#### Fam. CIXIIDAE Spin.

5. *Oliarus melanochaetus* Fieb., 1876.
6. *O. panzeri* P. Löw, 1799.
7. *Myndus musivus* (Germ., 1825).
8. *Cixius nervosus* (L., 1758).
9. *C. simplex* (H. S., 1835).
10. *C. cunicularius* (L., 1767).

#### Fam. ISSIDAE Spin.

11. *Mycterodus immaculatus* (F., 1794).
12. *Issus coleoptratus* (Geoffr., 1762).
13. *I. muscaeformis* (Schrk., 1781).

#### Fam. CICADIDAE Latr.

14. *Cicadetta montana* (Scop., 1772).

#### Fam. CERCOPIDAE Leach.

15. *Aphrophora alni* (Fall., 1805).
16. *A. salicina* (Goeze, 1778).
17. *A. forneri* Hpt., 1919.

#### Fam. MEMBRACIDAE Germ.

18. *Centrotus cornutus* (L., 1758).
19. *Ceresa bubalus* F., 1794.

#### Fam. IASSIDAE Stal

20. *Errhomenellus brachypterus* (Fieb., 1866).
21. *Macropsis fuscata* (Zett., 1840).
22. *M. Marginata* (H. S., 1836).
23. *M. notata* (Prhsk., 1923).
24. *M. cerea* (Germ., 1834).
25. *M. virescens* (F., 1803).
26. *Oncopsis flavicollis* (L., 1758).
27. *O. alni* (Schrk., 1801).
28. *O. tristis* (Zett., 1828).
29. *Idiocerus fulgidus* (F., 1794).
30. *I. ustulatus* (M. R., 1855).
31. *I. stigmatalis* Lew., 1834.
32. *Rhytidodus decimusquartus* (Schrk., 1776).



33. *Alebra albostriella* (Fall., 1826).
34. *A. wahlbergi* (Boh., 1845).
35. *Kybos smaragdula* (Fall., 1806).
36. *K. virgator* Rib., 1933.
37. *K. rufescens* Mel., 1896.
38. *Eupteroidia stellulata* (Burm., 1841).
39. *Wagneripterix germari* (Zett., 1839).
40. *Ossiannilssonola callosa* (Then., 1886).
41. *Fagocyba cruenta* (H. S., 1839).
42. *F. douglasi* (Edw., 1878).
43. *Typhlocyba quercus* (F., 1777).
44. *Edwardsiana rosae* (L., 1758).
45. *E. kemneri* Oss., 1942.
46. *E. alnicola* Edw., 1924.
47. *E. geometrica* (Schrk., 1801).
48. *E. diversa* Edw., 1914.
49. *E. candidula* Kbm., 1868.
50. *E. fratercula* Edw., 1908.
51. *E. bifasciata* (Boh., 1852).
52. *Linnavuoriana sexpunctata* (Fall., 1826).
53. *Ribautiana ulmi* (L., 1858).
54. *R. scalaris* Rib., 1931.
55. *Alnetoidia alneti* (Dahlb., 1850).
56. *Arboridia ribauti* Oss., 1937.
57. *Allygus mixtus* (F., 1794).
58. *Speudotettix subfuscus* (Fall., 1806).
59. *Perotettix pictus* (Leth., 1880).
60. *Pithytettix abietinus* (Fall., 1806).
61. *Hesium biguttatum* (Fall., 1806).
62. *Thamnotettix confinis* (Zett., 1839).
63. *Idiodonus cruentatus* (Pnz., 1799).
64. *Lamprotettix octopunctatus* (Schrk., 1796).
65. *Sagatus punctifrons* (Fall., 1826).

Dintre aceste specii, cele mai multe sînt polifage. De exemplu: *Cixius simplex* (H. S.), *Cicadetta montana* (Scop.), *Centrotus cornatus* (L.), *Ceresa bubalus* F., *Oncopsis flavicollis* (L.), *Idiocerus stigmatalis* Lew., *Rhytidodus decimusquartus* (Schrk.), *Alebra albostriella* (Fall.), *Alebra wahlbergi* (Boh.), *Eupteroidia stellulata* (Burm.), *Fagocyba cruenta* (H. S.), *Typhlocyba quercus* (F.), *Edwardsiana fratercula* Edw., *Arboridia ribauti* Oss., *Allygus mixtus* (F.), *Speudotettix subfuscus* (Fall.). Alte cicadine se hrănesc pe grupe de plante apropiate. De exemplu: *Perotettix pictus* (Leth.), *Pithytettix abietinus* (Fall.), *Lamprotettix octopunctatus* (Schrk.) ș. a. care trăiesc pe mai multe specii de conifere. Am constatat de asemenea că speciile *Aphrophora salicina* (Goeze), *Macropsis marginata* (H. S.), *Macropsis notata* (Prhsk.), *Oncopsis alni* (Schrk.), *Kybos smaragdula* (Fall.), *K. virgator* Rib., *Alnetoidia alneti* (Dahlb.) se dezvoltă numai pe speciile sau specia aceluiasi gen de plantă.

Insectele cicadine, în exclusivitate fitofage, manifestă preferințe în alegerea organului vegetal de unde își scot hrana: vîrfurile ramurilor tinere,

pețiolul sau limbul frunzei, nervurile acesteia. Precizăm că niciodată nu am observat o insectă din acest grup hrănindu-se pe organele florale.

Din constatările noastre am dedus că plantele-gazdă preferate din zona montană sînt aninul, salcia și fagul. Astfel, pe *Alnus incana* (L.) Mönch. am identificat în decursul anilor 9 specii de Homoptera *Auchenorrhyncha*; pe *Salix* sp. am observat 11 specii, iar pe *Fagus sylvatica* L. am găsit un număr de 8 specii. Am remarcat că nu toate aceste specii coabitează pe una și aceeași plantă. În general, în aceeași perioadă de timp, am găsit cel mult 3 sau 4 specii de insecte pe aceeași plantă-gazdă, dintre care doar una abundentă.

În cercetările efectuate am urmărit succesiunea speciilor în cadrul aceluiași an, cît și în decursul unei perioade mai lungi. Am constatat că la sfîrșitul primăverii domină speciile familiei *Cercopidae* Leach. și cîteva specii din familia *Iassidae* Stal., *Oncopsis alni* (Schrk.), *Alnetoidia alneti* (Dahlb.), *Edwardsiana alnicola* Edw. ș. a. În lunile iunie, iulie și august, majoritatea speciilor de cicadine arboricole prezintă maximum de dezvoltare numerică, pentru ca, tîrziu în toamnă, să mai trăiască sporadic indivizi ai speciilor din genurile *Idiocerus*, *Speudotettix*, *Lamprotettix* ș. a.

În funcție de particularitățile biologice ale speciilor, cît și de modificările factorilor de mediu (temperatură, umiditate, precipitații), am observat deosebiri importante în componența comunităților de cicadine din cadrul aceluiași biotop. În anumiți ani, unele specii arboricole au apărut ca eudominante (peste 30% abundentă). Cîtăm ca exemplu pe *Aphrophora alni* (Fall.) în 1963, *Fagocyba cruenta* (H. S.) în 1965, *Alnetoidia alneti* (Dahlb.) în anii 1966 și 1969, *Ceresa bubalus* F. și *Oncopsis alni* (Schrk.) în 1967, *Alebra wahlbergi* (Boh.) în 1968 și 1970. De remarcat că speciile *Ceresa bubalus* F. și *Alebra wahlbergi* (Boh.) au apărut în alți ani subsporadic (sub 1% abundentă), sau au lipsit din biotopi. De asemenea am constatat diferențe mari în abundența și dominanța cicadelor de pe aceeași plantă-gazdă, dar aflate în puncte diverse ale zonei cercetate. Aceasta se explică prin influența exercitată de factorii de mediu locali.

Avînd în vedere că în general cicadinele acționează asupra plantelor-gazdă prin procesul de hrănire și de depunere a ponteii, se impune cunoașterea biologiei fiecărei specii în parte în cadrul condițiilor naturale de mediu pentru a se stabili dacă și în ce măsură aceste specii sînt implicate în efectele de dăunare produse la plante. Personal am constatat acțiunea negativă exercitată de o serie de specii ca: *Alnetoidia alneti* (Dahlb.) la *Alnus incana* (L.) Mönch. la care peste 30% din totalul frunzelor prezentau stigmonose, ajungînd să se usuce chiar de la începutul verii; *Ceresa bubalus* F. a produs uscarea ramurilor de 1—3 ani la merii din cîteva grădini, datorită depunerii ponteii (constatare făcută în localitatea Comarnic). Speciile genului *Macropsis* au determinat uscarea mlădițelor de *Salix* atît prin depunerea ponteii, cît și prin hrănire. Menționăm totodată că unele specii cunoscute ca vectori ai unor agenți patogeni la plante nu au avut o influență negativă vizibilă datorită abundenței lor scăzute (*Kybos smaragdula* (Fall.), *Fagocyba cruenta* (H. S.)).

Privite sub aspectul distribuției altitudinale, speciile silvicole de cicadine scad în abundență pe măsură ce arborii înaintază către platoul alpin. Aceasta se explică prin preferința lor față de condițiile climatice.



După cum reiese din datele prezentate succint în această lucrare, fauna de cicadine silvicole din zona montană este bogată și variată. Majoritatea speciilor prezintă o slabă dezvoltare numerică ca rezultat al corelației dintre animal și factorii de mediu înconjurător. Prin modul lor de viață, speciile nu dăunează plantelor arborescente decât în cazuri cu totul izolate. Observațiile directe efectuate în natură ne-au condus la cunoașterea unor aspecte noi privind biologia speciilor.

(Avizat de prof. Gr. Eliescu.)

# ZIKADENARTEN (HOM. AUCHEN.) AUS DEN BERGWÄLDERN

## ZUSAMMENFASSUNG

Vorliegende Arbeit umfasst die Ergebnisse der vom Autor in den Jahren 1961–1970 im Bucegi und Gârbova-Massiv durchgeführten Untersuchungen. Nach einer kurzen Beschreibung der lokalen Umweltfaktoren (Klima, Vegetationsstruktur, usw.), werden die auf Bäumen gefundenen 65 Zikadenarten, welche 7 Familien zugehören, aufgezählt. Es wurden Beobachtungen, die Ernährungsweise, trofische Affinitäten, intra- und interspezifische Beziehungen und das Verhältnis Zikade-Wirtspflanze betreffen, vorgenommen. Die im Laufe eines oder mehrerer Jahre sich ablösenden Arten wurden aufgezeichnet und die dominanten Arten festgelegt. Der direkte, durch Eiablage und Ernährungsweise ausgeübte Einfluss der Zikaden auf ihre Wirtspflanze wurde ebenfalls analysiert.

## BIBLIOGRAFIE

1. BELDIE AL., 1967, *Flora și vegetația munților Bucegi*, Edit. Academiei, București.
2. CANTOREANU MARGARETA, 1958, An. Univ. „C. I. Parhon”, Ser. št. nat., 18, 95–104.
3. — 1960, An. Univ. „C. I. Parhon”, Ser. št. nat., 24, 135–147.
4. CHAUVIN R., 1965, Ann. biol., 4, 11–12, 585–625.
5. DLABOLA J., 1954, *Fauna CSR, svazek 1. Křiš-Homoptera*. CSAV, Praha.
6. ODUM E. P., 1966, *Ecology*. Holt Reinhart, Winston New York.
7. RIBAUT H., 1936, *Homoptères Auchénorhynques I. (Typhlocybtidae)*. Faune de France. Paris, 31.
8. — 1952, *Homoptères Auchénorhynques. Ii. (Jassidae)*. Faune de France. Paris, 57.

Stațiunea de cercetări zoologice  
Sinaia, str. Cumpătului nr. 3

Primit în redacție la 9 martie 1973

# BRACONIDE PARAZITE LA DĂUNĂTORII STUFULUI DIN DELTA DUNĂRII

DE

MATILDA LĂCĂTUȘU și TRAIAN ROMAN

The authors present some new and unknown biological aspects including also some new faunistic and zoogeographical contributions to the Romanian fauna with reference to seven species of *Braconidae*.

These seven species are: *Bracon fulvipes* Nees, *Bracon erythrostictus* Marsh., *Baryproctus hungaricus* Szepi., *Heterospilus testaceus* Tel., *Apanteles ferrugineus* Marsh., *Meteorus unicolor* Wesm., *Alloea contracta* Hal.

They are living in parasitism on the most important detrimental insects to common reed from the Danube Delta.

Dintre entomofagii care contribuie la limitarea pe cale naturală a insectelor dăunătoare stufului din Delta Dunării, un rol deosebit de important îl au și himenopterele braconide. Cercetările au fost efectuate în zona grindurilor Șontea, Carasuhă, Roșu, Roșuleț și Lopatna în perioada anilor 1968–1970. Prin faptul că în acești biotopi nu s-au aplicat tratamente chimice, aportul braconidelor alături de alți entomofagi explică evoluția insectelor dăunătoare în ecosistemul stuficol, asigurând astfel un echilibru biocenotic.

În această lucrare prezentăm unele aspecte bioecologice necunoscute până în prezent, care includ și unele referiri faunistice și zoogeografice noi pentru fauna României, asupra unor specii de braconide.

## Subfamilia BRACONINAE

*Bracon fulvipes* Nees. Am obținut numeroase exemplare din larve de *Phragmataecia castanea* L. (*Lepidoptera-Cossidae*), specii care produc



daune stufului din biotopii de plaur plutitor și plaur colmatat. Adulții zboară în locuri însorite, calde, pe diferite plante spontane sau se întâlnesc agățați de tulpina stufului. Ei se recunosc ușor după coloritul lor galben cu desene maronii, iar femelele prin tariera lungă cît abdomenul, zimțată, de care se ajută la perforarea tulpinii de stuf (fig. 1).

Dintr-o singură larvă de *Phragmataecia castanea* L. au eclozat 11—17 larve de *Bracon fulvipes* Nees. Acestea construiesc coconi alungiți de culoare castanie așezați în lungul internodului (fig. 2), din care eclozează eșalonat adulții, în cursul lunilor aprilie-iunie. Parazitul este frecvent în zonele de atac ale larvelor de *Phragmataecia castanea* L. și se remarcă prin abundența indivizilor.



Fig. 1. — *Bracon fulvipes* Nees ♀, aspect general (original).

Fig. 2. — Coconi de *Bracon fulvipes* Nees în interiorul tulpinii de stuf (original).

Din punct de vedere zoogeografic, *Bracon fulvipes* Nees este o specie paleartică, avînd o răspîndire mai mare în sudul țării noastre.

*Bracon erythrostictus* Marsh. Obținut în laborator din larve de *Chilo phragmitellus* Hbn. (Lepidoptera-Pyralididae) dăunătoare stufăriilor de pe terenurile inundate situate în amonte de Delta Dunării. Parazitul are corpul roșu cu pete negre și cu tariera puternică (fig. 3). Femela introduce tariera în tulpina de stuf, deasupra internodiilor, acolo unde se găsesc larvele de *Chilo phragmitellus* Hbn.

Coconii în care nimfează acest parazit sînt albi, mătăsoși, așezați din loc în loc, mai ales în internodiile din treimea inferioară a tulpinei de stuf (fig. 4).

Densitatea coconilor în interiorul tulpinii arată clar că procentul de parazitare al acestei specii este destul de mare, ceea ce ne dovedește și faptul că, în tulpinile observate de noi, n-am găsit nici o larvă-gazdă, ci numai resturile acestora.

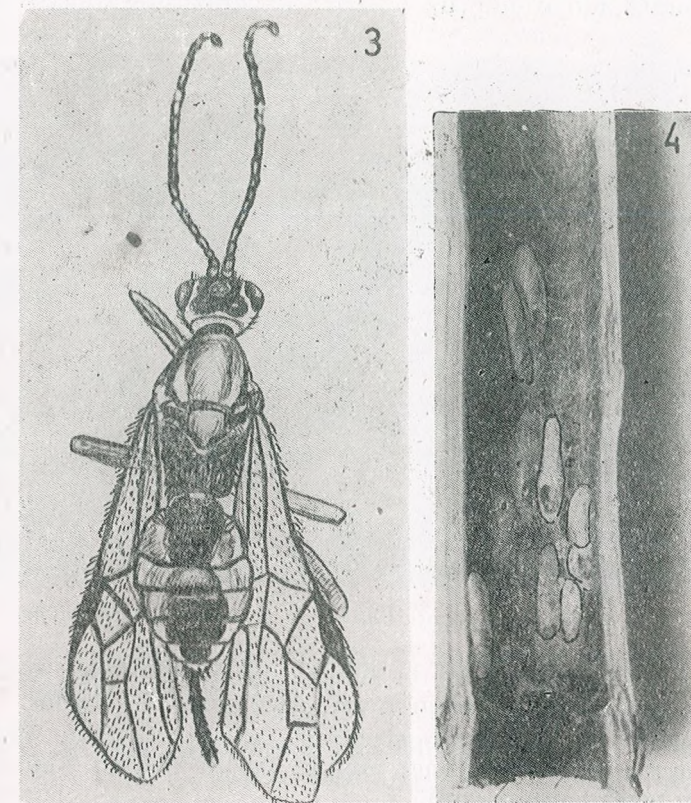


Fig. 3. — *Bracon erythrostictus* Marsh. ♀, aspect general (original).

Fig. 4. — Coconi de *Bracon erythrostictus* Marsh. (original).

În natură este întâlnită pe diferite labiate, boraginacee, umbelifere, pe tulpini și frunze de stuf. Frecvența și abundența acestei specii sînt accentuate, în funcție de răspîndirea gazdei.

Zoogeografic, *Bracon erythrostictus* Marsh. aparține complexului faunistic ponto-caspic; în țara noastră o semnalăm pentru a doua oară; prima fiind făcută de Szilady la Bocșa montană.

*Baryproctus hungaricus* Szep. Am obținut numai un ♂ și o ♀ din larve de *Chilo phragmitellus* Hbn. Specia se caracterizează prin coloritul roșu intens cu pete negre, prin tariera foarte puternică cu valvele late și mai ales, prin marea dezvoltare a ultimului articol tarsal, înarmat cu gheare dințate



(fig. 5). Probabil că parazitul se agață puternic cu ghearele tarsului de tulpinile de stuf expuse mai mult curentilor.

Zoogeografic, este o specie central-europeană al cărei areal se întinde spre sud pînă în Caucaz. În fauna României o semnalăm pentru prima oară.

*Heterospilus testaceus* Telenga. Obținut din larve de *Chilo phragmitellus* Hbn. din biotopii unde atacă acest lepidopter.

Corpul este în întregime galben deschis, cu tariera lungă cît abdomenul și colorată în maroniu (fig. 6). Larvele parazitului construiesc coconi

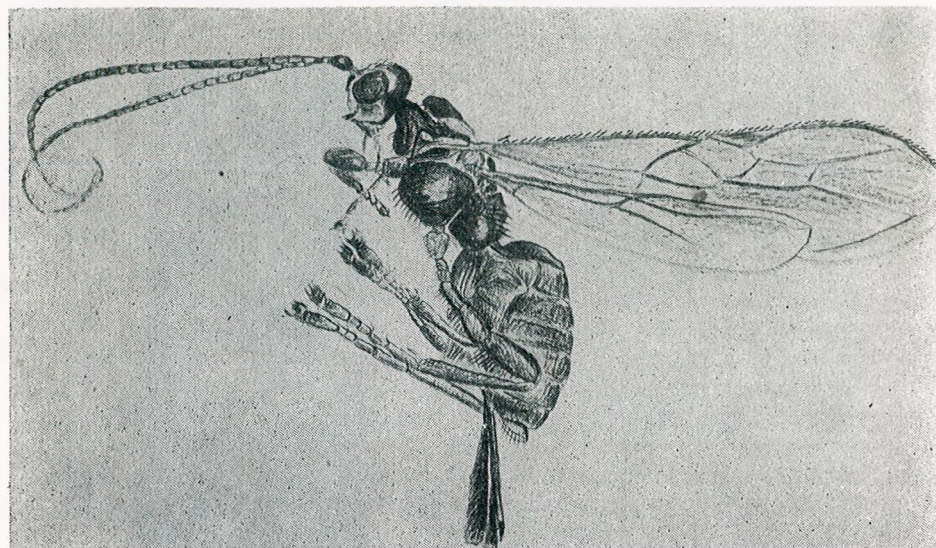


Fig. 5. — *Baryproctus hungaricus* Szepl. ♀, aspect general (original).

mici, alungiți, albi, situați în tot lungul internodiilor în grupe de 4—6 (fig. 7). Și acest parazit se remarcă prin abundența indivizilor.

Din punct de vedere zoogeografic, specia aparține complexului ponto-caspic al cărei areal ajunge pînă în Turkmenia. În fauna României o semnalăm pentru prima oară.

#### Subfamilia MICROGASTERINAE

*Apanteles ferrugineus* Marsh. Foarte frecventă în zonele de stuf unde se manifestă atacurile de *Chilo phragmitellus* Hbn. și de *Phragmataecia castanea* L.

În creșterile de laborator am obținut-o din larve de *Chilo phragmitellus* Hbn. Parazitul are culoarea galbenă, colorit mai rar întâlnit în grupul microgasterinelor, care de obicei au corpul negru. Larvele țin coconi de culoare albă, imaculată, așezați în grupe pe tot traiectul internodiilor.

Grupele de coconi au o învelitoare pîsloasă comună, în fiecare găsin-du-se cîte 10, 15, 30 de coconi (fig. 8). Adulții eclozează în cursul lunilor

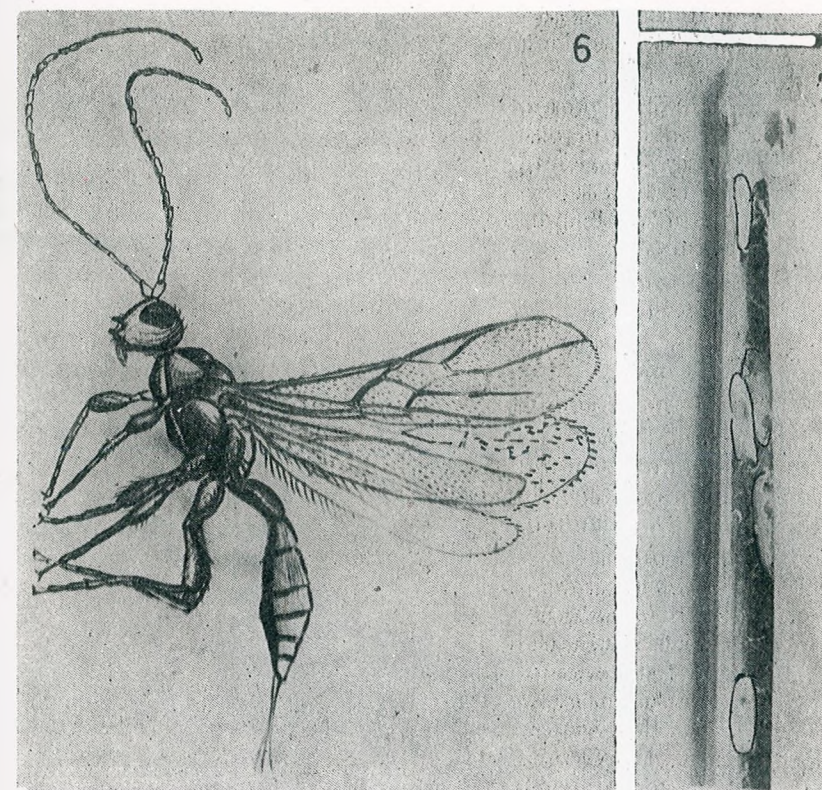


Fig. 6. — *Heterospilus testaceus* Telenga ♀, aspect general (original).

Fig. 7. — Coconi de *Heterospilus testaceus* Tel. (original).

mai, iunie și iulie. Ei se găsesc în natură pe diferite plante spontane, mai ales pe umbeliferele dintre stuf.

După *Bracon erythrostictus* Marsh., specia *Apanteles ferrugineus* Marsh. este cea mai răspîdită în biotopii stuficoli.

Din punct de vedere al răspîndirii zoogeografice, această specie este central-europeană; în fauna țării noastre o semnalăm pentru prima oară.

#### Subfamilia METEORINAE

*Meteorus unicolor* Wesmal. În laborator am obținut un ♂ la 14 iunie din creșteri de *Archnarnara geminipunctata* Haw., un lepidopter noctuid care produce daune stufului din zonele inundate. Parazitul are corpul în întregime colorat în galben, cu excepția primului segment abdominal care este maroniu (fig. 9).

Ca răspîndire geografică aparține complexului faunistic central european. În fauna României o semnalăm a doua oară, prima semnalare fiind făcută de Moesary la Mehadia.



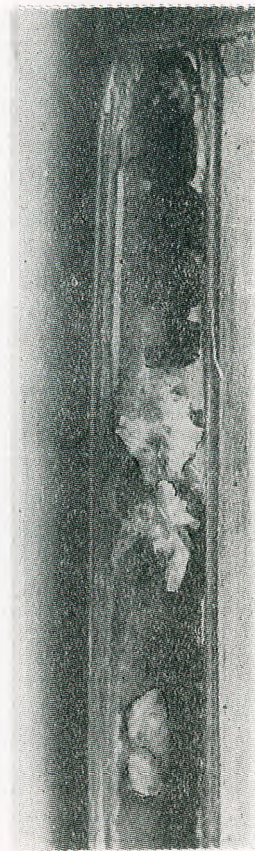


Fig. 8. — Coconi de *Apanteles ferrugineus* Marsh. (original).

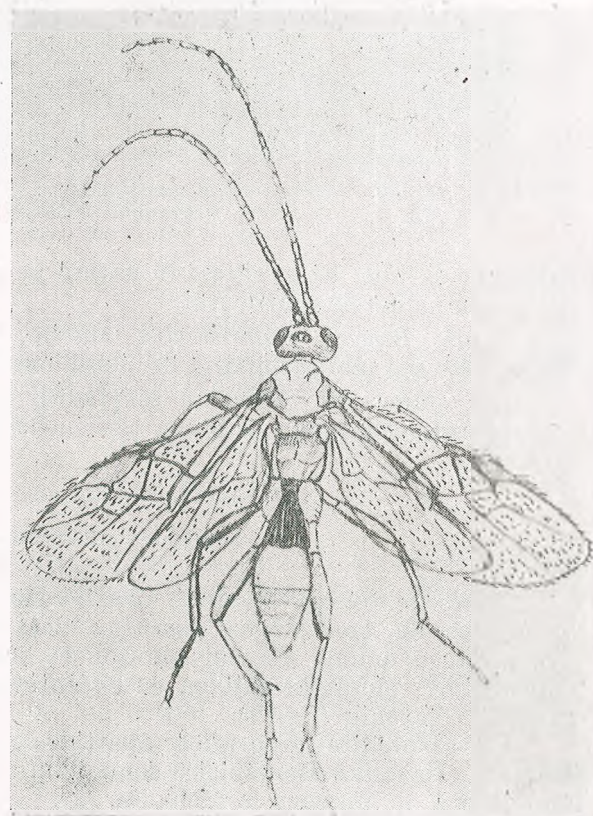


Fig. 9. — *Meteorus unicolor* Wesm.  
♂, aspect general (original).

#### Subfamilia ALYSIINAE

*Alloea contracta* Haliday. Parazitează pupariile dipterului *Agromisa nigripes* Meig. din care am obținut în laborator un ♂ și trei ♀♀, în luna mai. Adulții au corpul scurt și gros, cu ultimul articol tarsal dezvoltat, iar tarierea foarte scurtă (fig. 10). Conformația tarierei este corelată cu modul în care depune oul în gazdă, pupariile având o localizare superficială sub epiderma superioară a frunzelor de stuf. Ceea ce o distinge de celelalte



Fig. 10. — *Alloea contracta* Hal. ♀, aspect general (original).

specii este mărimea enormă a mandibulelor, înarmate cu patru dinți cu care taie peretele pupariilor, în vederea eclozării.

Ca răspândire geografică este o specie europeană; în fauna României o cităm ca nouă.

#### CONCLUZII

În biotopii stuficoli din terenurile inundate din zona situată în amonte de Delta Dunării unde sînt prezente larvele de *Chilo phragmitellus* Hbn., acțiunea acestora este frînată de *Bracon erythrostictus* Marsh. și de *Apanteles ferrugineus* Marsh., caracterizate prin frecvența și abundența



indivizilor. La acestea se adaugă, în procente mai mici, *Heterospilus testaceus* Telenga și *Baryproctus hungaricus* Szepi.

În zonele de stuf de pe plaur plutitor și colmatat unde atacă larvele de *Phragmataecia castanea* L., *Bracon fulvipes* Nees se remarcă prin abundența indivizilor. Celelalte specii *Meteorus unicolor* Wesmael și *Alloea contracta* Haliday se găsesc sporadic.

Larvele acestor paraziți construiesc coconi în interiorul tulpinii de stuf de-a lungul internodiilor. Ei au mărimi, culori și mod de grupare specific, dar în același timp reprezintă și caractere biologice care indică unele aspecte din viața larvei și nimfei și asupra procentului de parazitare.

Biologia acestor specii de braconide o facem cunoscută pentru prima oară în literatură prin precizarea gazdelor în care se dezvoltă. Astfel în larve de *Phragmataecia castanea* L. parazitează *Bracon fulvipes* L., în cele de *Chilo phragmitellus* Hbn. se dezvoltă *Bracon erythrostictus* Marsh., *Apanteles ferrugineus* Marsh., *Baryproctus hungaricus* Szepi., *Heterospilus testaceus* Telenga, în cele de *Archnarnara geminipunctata* Haw., *Meteorus unicolor* Wesmael, iar în pupariile de *Agromisa nigripes* Meig. parazitul *Alloea contracta* Haliday.

Caracterele morfologice reprezentate prin mărimea ultimului articol tarsal la *Baryproctus hungaricus* Szepi. și la *Alloea contracta* Haliday, explică comportamentul adulților care stau agățați puternic de tulpinile de stuf expuse mai mult curenților în momentul când parazitează larvele.

Lungimea tarierei și ornamentația valvelor 1 sînt caractere adaptative utile în perforarea tulpinii de stuf și pătrunderea în profunzime pînă la locul unde se găsește gazda. Excepție face *Alloea contracta* Haliday care are o tarieră extrem de scurtă corelată cu parazitismul ei superficial în pupele de agromizide, localizate pe frunzele de stuf.

Coloritul în nuanțe de galben și roșu al corpului adulților reflectă viața lor, iubitori de locuri deschise, calde, însorite și mai uscate, condiții climatice specifice Deltei Dunării.

Analiza zoogeografică arată îmbinarea elementelor ponto-caspice *Bracon erythrostictus* Marsh., *Heterospilus testaceus* Tel., *Baryproctus hungaricus* Szepi.; central europene, *Apanteles ferrugineus* Marsh., *Meteorus unicolor* Wesmael; europene, *Alloea contracta* Haliday și paleartice, *Bracon fulvipes* Nees, explicată prin poziția Deltei Dunării ca zonă de întretăiere a diferitelor elemente faunistice.

Pentru fauna României speciile *Baryproctus hungaricus* Szepi., *Heterospilus* Tel., *Meteorus unicolor* Wesm., *Apanteles ferrugineus* Marsh. și *Alloea contracta* Hal. sînt semnalate pentru prima oară.

Prin acțiunea desfășurată de braconide alături și de alți entomofagi este menținut echilibrul biocenotic în acest ecosistem, neexistînd o supra-populație de insecte dăunătoare.

(Avizat de prof. R. Codreanu.)

## BRACONIDES PARASITES DES INSECTES NUISIBLES AU ROSEAU DU DELTA DU DANUBE

### RÉSUMÉ

L'action des larves de *Chilo phragmitellus* Hbn., présente dans les biotopes de *Phragmites communis* dans la zone d'amont du Delta du Danube, est empêchée par *Bracon erythrostictus* Marsh. et *Apanteles ferrugineus* Marsh. qui se caractérisent par la fréquence et l'abondance des individus, ainsi que par *Heterospilus testaceus* Telenga et *Baryproctus hungaricus* Szepi.

Dans les régions de roseau d'une île flottante ou colmatée où il attaque les larves de *Phragmataecia castanea* L., *Bracon fulvipes* Nees se caractérise par le grand nombre des individus.

Les autres espèces, *Meteorus unicolor* Wesmael et *Alloea contracta* Haliday se rencontrent sporadiquement.

Nous faisons connue, pour la première fois dans la littérature, la biologie de ces espèces de Braconides, en présentant les hôtes sur lesquels elles se développent.

Ainsi, dans les larves de *Phragmataecia castanea* L. on rencontre le parasite *Bracon fulvipes* L., dans celles de *Chilo phragmitellus* Hbn. se développe *Bracon erythrostictus* Marsh., *Apanteles ferrugineus* Marsh., *Baryproctus hungaricus* Szepi., *Heterospilus testaceus* Tel., dans ceux d'*Archnarnara geminipunctata* Haw. on trouve *Meteorus unicolor* Wesm., et dans les nymphes d'*Agromisa nigripes*, le parasite *Alloea contracta* Hal.

L'analyse zoogéographique révèle la corrélation entre les éléments ponto-caspiques *Bracon erythrostictus* Marsh., *Heterospilus testaceus* Tel., *Baryproctus hungaricus* Szepi., les éléments centraux européennes *Apanteles ferrugineus* Marsh., *Meteorus unicolor* Wesm., les éléments européens *Alloea contracta* Hal. et ceux paléartiques *Bracon fulvipes* L. qui s'explique par la position du Delta du Danube, situé dans une zone d'intersection de différents éléments fauniques.

### BIBLIOGRAPHIE

1. LĂCĂTUȘU M., 1968, Trav. Mus. His. Nat. „Gr. Antipa” 9.
2. — 1972, Trav. Mus. Nat. „Gr. Antipa”, 12.
3. NIXON G. E. J., 1965, Bull. British Mus. (Natural History) Suppl. 2.
4. TELENGA N. A., 1936, Faune de l'U. R. S. S. Insectes Hymenoptères Akad. Nauk., S. S. S. R., Moscova, 5, 2.
5. — 1943, Faune de l'U. R. S. S. Insectes Hymenoptères Akad. Nauk, S. S. S. R., Moscova, 5, 3.
6. — 1952, Faune de l'U. R. S. S. Insectes Hymenoptères Akad. Nauk, S. S. S. R., Moscova, 5, 4.
7. TOBIAS N. V., Trudt besoiuznogo entomologicheskogo obschestva Izd. Akad. Nauk S. S. S. R., Moscova-Leningrad, 48.

Facultatea de biologie  
Laboratorul de entomologie  
București 35, Splaiul Independenței  
nr. 91—95.

Primit în redacție la 22 martie 1973



NOI CONTRIBUȚII LA CUNOAȘTEREA TIPULINELOR  
(DIPTERA-TIPULIDAE) DIN ROMÂNIA

DE

ELEONORA ERHAN

A short description including drawings of the male hypopigium is given for 5 species newly found in the Romanian fauna, of the genera *Nephrotoma* and *Tipula*, as following: *N. quadrifaria quadrifaria*, *T. (Yamatotipula) marginata*, *T. (Satschenkia) benesignata*, *T. (S.) gimmerthali* and *T. (Lunatipula) mellea*.

Up to now 69 species were identified by the author in the Romanian territory.

În nota de față prezentăm descrieri succinte însoțite de desene ale hipopigiului la mascul, pentru cinci specii de diptere *Tipulinae* noi pentru fauna țării. Până în prezent au fost identificate de autor 69 de specii.

*Nephrotoma quadrifaria quadrifaria* Meigen

(fig. 1)

Colorația generală caracteristică tuturor reprezentanților genului *Nephrotoma*, galbenă ocră sau galbenă ternă, cu pleurele mai mult sau mai puțin pătate cu brun închis strălucitor. Dungile laterale ale mezonotului curbate spre exterior. Scutelumul roșcat cu o dungă mediană brună. Se recunoaște ușor prin dunga transversală fumurie din vârful aripilor, care acoperă nervura M-Cu și partea posterioară a nervurii Cu. Celula mediană pedunculată. Segmentele abdominale 1—6 la mascul galbene fără pete brune, la femelă aceste pete există. Segmentul 7 la femelă este întunecat în întregime. Primele două articole ale scapului sînt galbene, celelalte articole ale antenei sînt brune. Caracteristică este structura hipopigiului (fig. 1). Gonostilii sînt lungi și subțiri, vîrfurile lor depășind cu mult



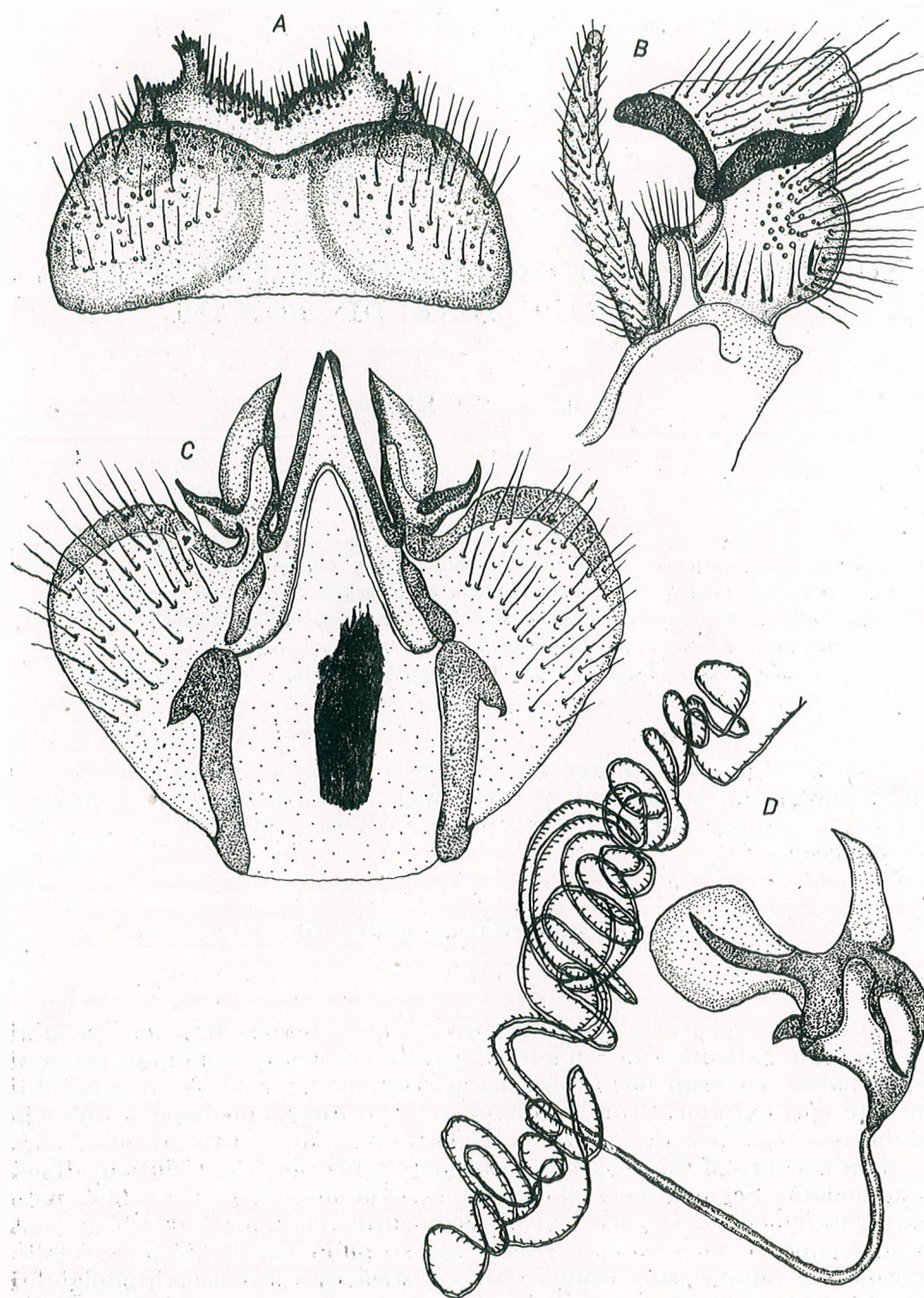


Fig. 1. — *Nephrotoma quadrifaria quadrifaria*. A. Tergit 9; B, Gonostilul și gonopleuritul; C, Edeagusul; D, Vezicula.

marginea distală a tergitului 9. Tergitul 9 are un aspect tipic cu marginea sa anterioară adânc incizată median și puternic denticulată. Gonopleuritele sînt mari, cu o creastă semimembranoasă, cu marginile larg înnegrite. Se remarcă forma deosebită a edeagusului. Femela are tariera cu vârful bont, stilii sînt scurți iar cercii neobișnuit de bonți și de scurți. Lungimea corpului la ambele sexe între 13—15 mm.

*Răspîndire.* Larg răspîndită în Europa.

În România a fost citată de Thalhammer în : „Fauna Regni Hungariae” la Băile Herculane. Materialul nostru a fost capturat în sudul țării în pădurea Hagieni la 30 mai 1964 (leg. I. Fuhn). Este o specie mezofilă putînd fi întîlnită în pădurile de foioase în tot cursul verii.

### *Tipula (Yamatotipula) marginata* Meigen

(fig. 2)

Specie de talie mică, cafenie-gălbui strălucitoare. Toracele cenușiu-cu patru dungi longitudinale brune, bine vizibile. Abdomenul cafeniu galben strălucitor, cu dungi laterale late, negre-brune. Aripile cenușii cu marginea anterioară fumurie intensă, contrastînd puternic cu restul laminei alare. Scapul antenei, uneori și primul articol al flagelului ruginii, celelalte articole brune, cu baza îngroșată și ușor incizată în partea lor mediană. Hipopigiul la mascul este ruginiu galben, scurt (fig. 2). Tergitul 9 are proeminența mediană bifidă înnegrită. Gonostilii mici. Gonopleuritele sînt din două segmente, cel posterior sub forma unei plăci înguste verticale cu vârful îndoit în unghi drept, la locul îndoiturii există o tufă de peri lungi, orientați spre spate. Segmentul anterior alungit în sens anterior, cu vârful arcuit în jos, la marginea superioară cu un smoc de peri lungi.

Femela este asemănătoare cu masculul. Cercii sînt ruginii, valvele ating 2/3 din lungimea cercilor. Lungimea corpului la mascul 12,5 mm; la femelă 15 mm, a aripilor 13 mm.

*Răspîndire.* Se cunosc puține date pînă în prezent, se admite că are o răspîndire destul de largă cuprinzînd aproape toată Europa. Este considerată ca o specie rară; zborul începe în luna mai, putînd continua pînă la sfîrșitul lunii august. Se întîlnește în mlaștini, turbării, cît și în poienile umede dinluncile apelor.

În România au fost capturate 2 exemplare pe grindul Caraorman din Delta Dunării la 27 mai 1972, de pe vegetația de sărătură.

### *Tipula (Savtshenkia) benesignata* Mannheims.

(fig. 3)

Specie de dimensiuni mijlocii, cafenie-gălbui. Scapul ruginiu, flagelul brun-roșcat cu baza articolelor ușor îngroșată. Prescutumul are 4 dungi longitudinale. Abdomenul cafeniu-gălbui strălucitor, colorat uniform fără urme de dungi. Aripile sînt cafenii, neclar marmorate. Caracteristică



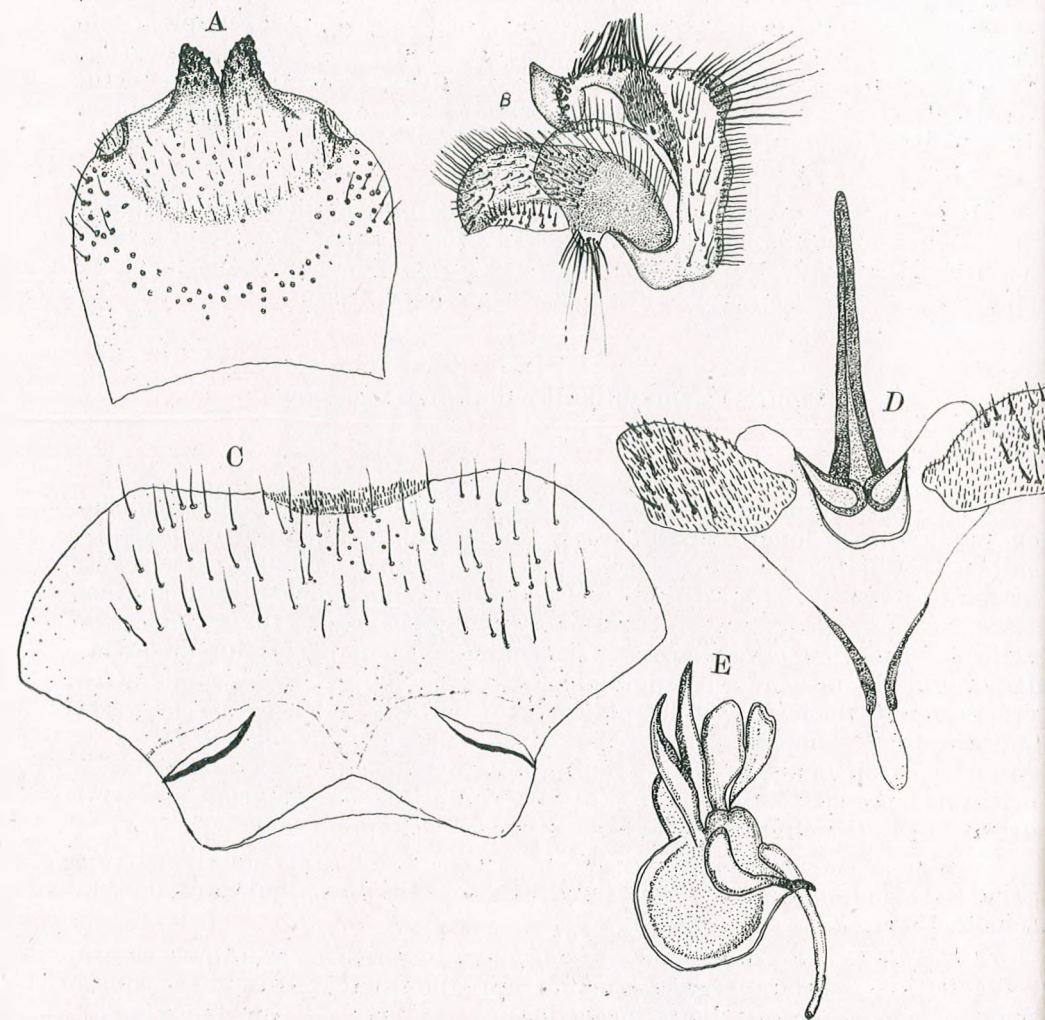


Fig. 2. — *Tipula (Yamatotipula) marginata*. A, Tergitul 9; B, Gonostilul și gonopleuritul; C, Sternitul 8; D, Edeagusul; E, Vezicula.

este structura hipopigiului (fig. 3). Tergitul 9 la marginea anterioară are o incizie largă, muchiile tergitului fiind destul de puternic alungite. Sternitul 8 are un aspect tipic bilobat, cu marginile lobilor cu spini mici, negri, foarte deși. Gonostilii lungi și subțiri. Gonopleuritele au aspectul tipic întregii grupe „*signata*” formate din două segmente, cel posterior având forma unui căuc larg. Edeagusul are un aspect tipic. Femela este asemănătoare cu masculul în ceea ce privește colorația și dimensiunile corpului. Lungimea corpului variază între 15–16 mm, a aripilor este de 16,5 mm.

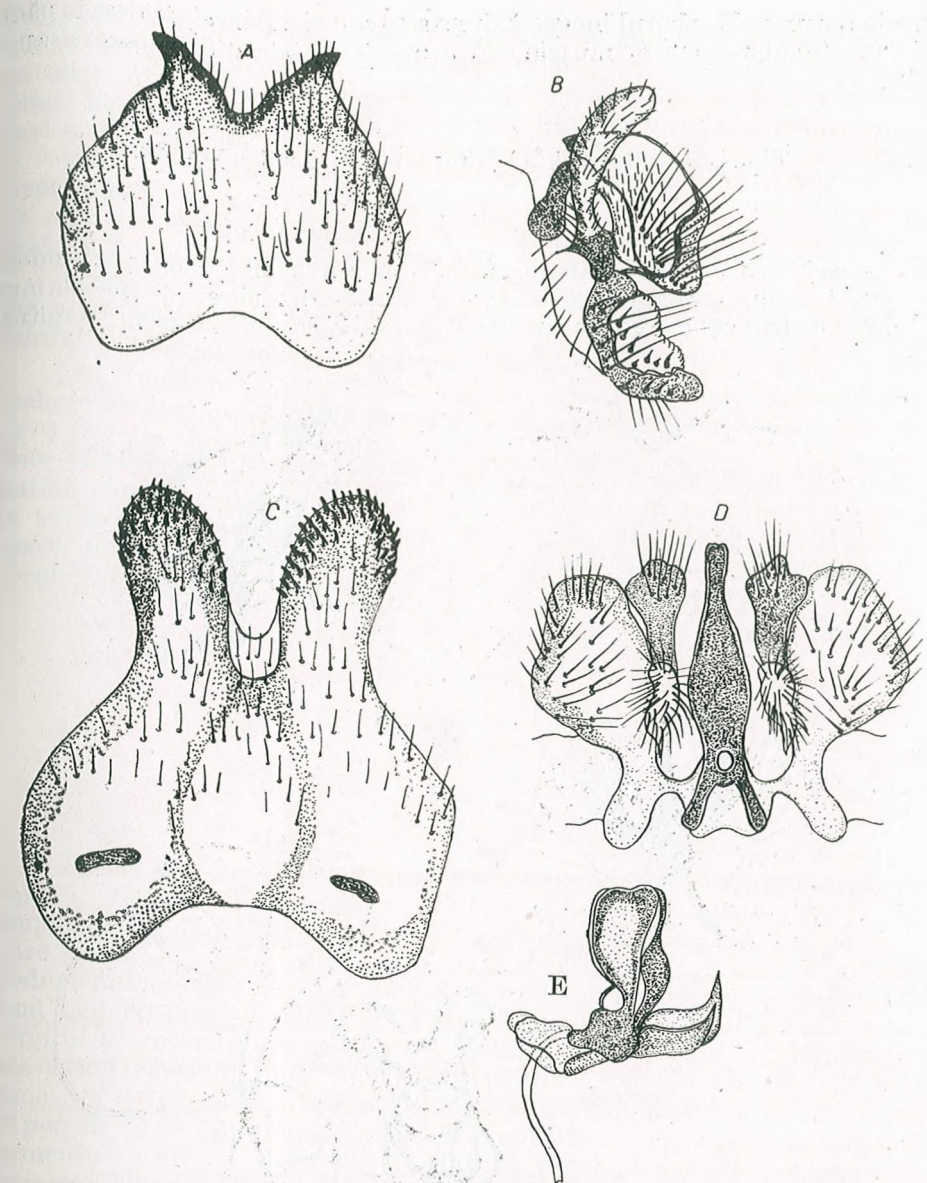


Fig. 3. — *Tipula (Savtshenkia) benesignata*. A, Tergitul 9; B, Gonostilul și gonopleuritul; C, Sternitul 8; D, Edeagusul; E, Vezicula.

**Răspîndire.** Arealul acestei specii nu a fost încă destul studiat, fiind o specie descrisă relativ recent. Este o specie boreoalpină, se întâlnește în zonele muntoase ale Europei Centrale, în centrul și nordul Suediei și Caucaz. În România a fost capturată la o capcană cu lumină la Gura-Zlata (M-ții Retezat) la 800 m altitudine, 1 ♂ la 5 octombrie 1970. Este o



specie autumnală, zborul începe în luna septembrie. Larvele trăiesc în pădurile umede sub pernele de mușchi care acoperă pietrele din izvoare și apele mici.

***Tipula (Savtshenkia) gimmerthali* Lackschewitz.**

(fig. 4)

Specie de talie mică, cafenie gălbuie, cu antene destul de lungi, îndoite spre spate ating aproape baza abdomenului. Se deosebește de speciile înrudite, din cadrul subgenului, prin structura hipopigiului la mascul. Tergitul 9

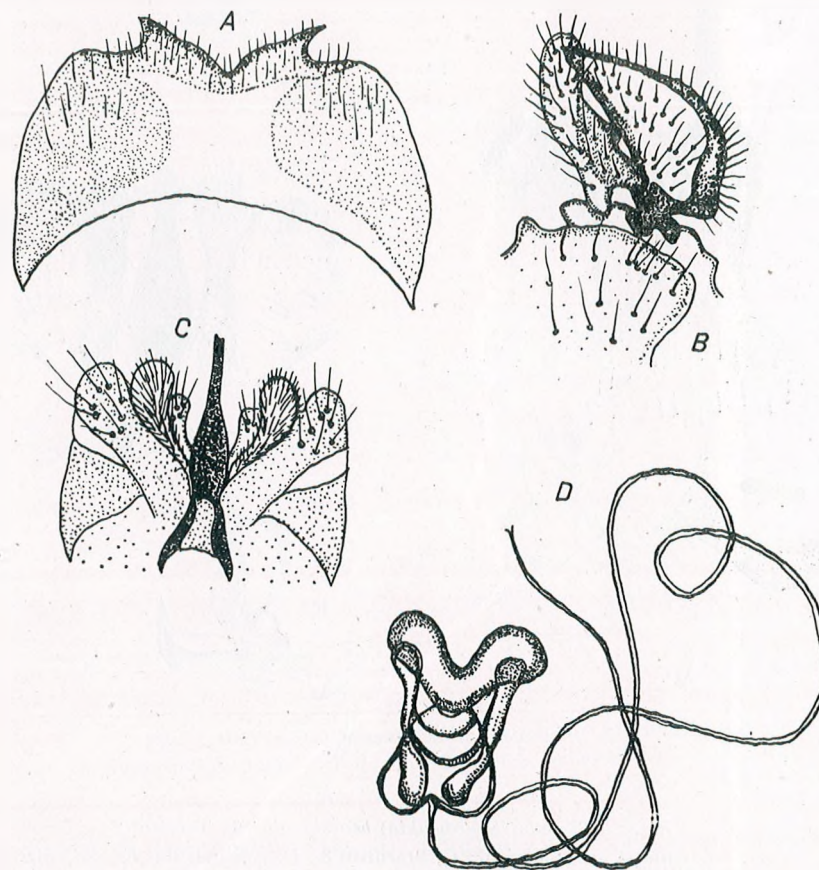


Fig. 4. — *Tipula (Savtshenkia) gimmerthali*. A, Tergitul 9; B, Gonostilul și gonopleuritul; C, Edeagusul; D, Vezicula.

are la marginea sa anterioară o incizie adincă în V, la extremitățile căreia se află câte o proeminență cu vârful în formă de spin, ușor înnegrită. Gonostilii au aspect de pivot, ușor îngroșați la vîrf, la bază fiind prevă-

zuți cu câte un spin mare negru. Gonopleuritele sînt late formate dintr-un singur segment, a cărui margine posterioară este puternic îndoită spre exterior, înnegrită, partea sa anterioară fiind ascuțită, iar uneori vîrfurile este bifid. Femela este colorată la fel ca masculul, are însă antenele și picioarele mai scurte, aripile sînt rudimentare, cu aspect de solzi mici, cu vîrfurile lățite și rotunjite. Oviscaptul are un aspect normal, cercii sînt drepti cu vîrfurile bont. Lungimea corpului la mascul este de 11—12 mm, a aripilor de 13—14 mm. La femelă corpul are 13—16 mm, iar rudimentele de aripi pot măsura 2,5 pînă la 5,5 mm.

**Răspîndire.** Este o specie boreoalpină, larg răspîndită în Scandinavia, din estul Balticii în toată Laponia Sovietică și Tundra Samoiedă, nordul Scoției, Tirolul de Nord, Caucazul de Nord, Carpații Ucrainei.

În România au fost capturate numeroase exemplare masculine și femele în dreptul cabanei Mădărași din Munții Harghitei la 14 octombrie 1970 (leg. L. Botoșăneanu).

Este o specie autumnală, zborul adulților începe la mijlocul lunii august, putînd continua pînă în noiembrie. Se întîlnește în pădurile mlăștinoase, în tufele de *Juncus*, de pe malurile izvoarelor. Masculii zboară ziua în plin soare, femelele se tîrăsc prin iarbă. Se admite că are o răspîndire strict localizată, în focare, unde de obicei este foarte numeroasă.

***Tipula (Lunatipula) mellea* Schummel.**

(fig. 5)

Specie de talie mijlocie, ruginie gălbuie. Antenele au scapul gălbui-ruginiu, flagelul fiind cafeniu. Aripile sînt fumurii caracteristic fiind cîmpul costal de culoare chilimbarie; pterostigma neclară, lunula foarte mare și clară, acoperă celula discoidală, depășind chiar limitele acesteia. Abdomenul unicolor, ruginiu, fără linie mediană brună, segmentele apicale fiind mai întunecate. Hipopigiul este evident îngroșat și ridicat în sus. Tergitul 9 are marginea anterioară incizată caracteristic, unghiurile laterale avînd aspectul unor cornițe. Sternitul 9 cu apendici apicali mari, conici, ce ies aproape orizontal din cavitatea hipopigiului, cu câte o tufă de peri în vîrf. Gonostilii lipsesc? Gonopleuritele au aspect caracteristic, segmentul posterior, puternic chitinizat, proeminează de asemenea din cavitatea hipopigiului. Segmentul median are aspectul unei păsări, cu o creastă mare semimembranoasă. Sternitul 8 în comparație cu celelalte sclerite ale hipopigiului este foarte mare, cu apendici pari conici, relativ mici în comparație cu dimensiunile sternitului, prevăzuți la vîrfuri cu câte trei spini subțiri îndoiiți în cîrlig. Edeagusul are un aspect caracteristic. Femela are antenele mai scurte decît la mascul, apexul abdomenului este mai întunecat. Lunula alară este foarte largă atingînd aproape apexul aripei. Oviscaptul evident scurtat. Cercii scurți cu vîrfurile orientate spre interior. Valvele nu ating mijlocul lungimii cercilor. Lungimea corpului la mascul 16—17 mm, la femelă 17,5—18 mm, a aripilor 16,5—17,5 mm.



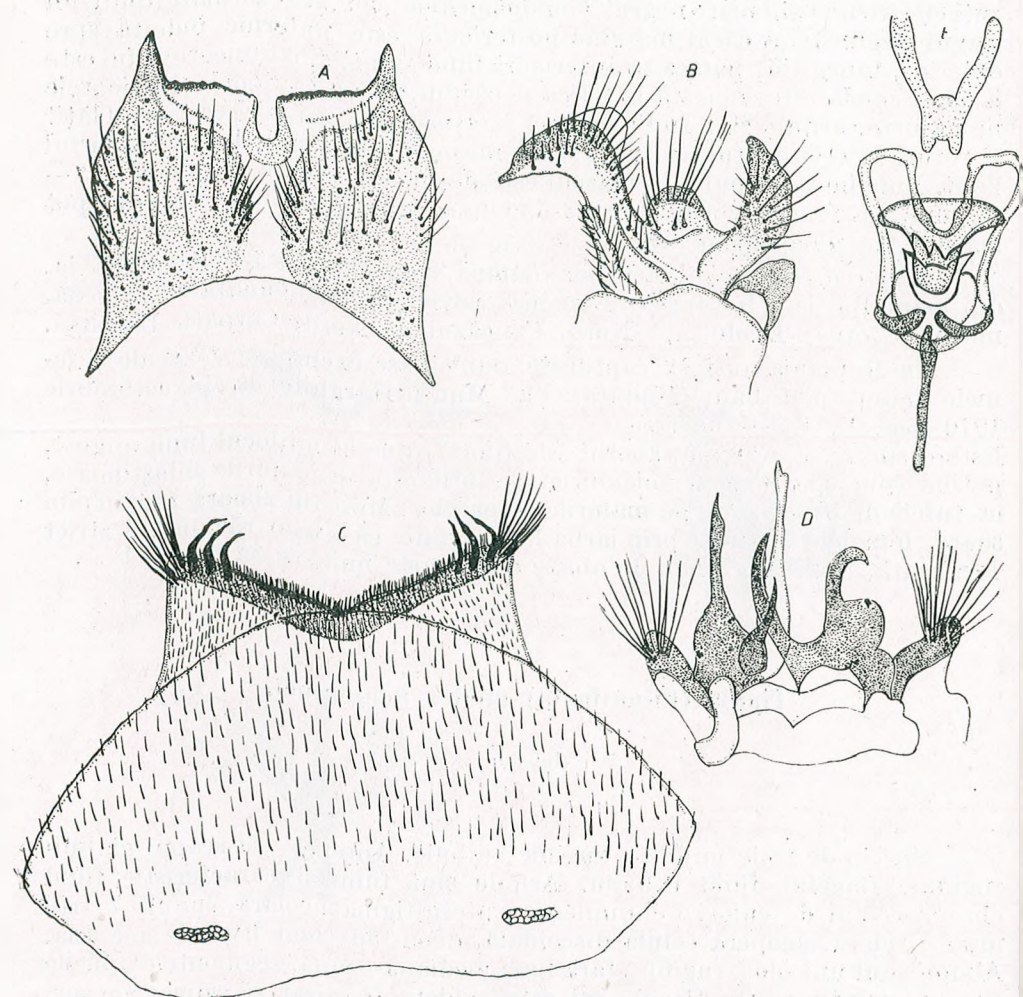


Fig. 5. — *Tipula (Lunatipula) mellea*. A, Tergitul 9; B, Gonostilul și Gonopleuritul; C, Sternitul 8; D, Edeagusul; E, Vezicula.

**Răspîndire.** Arealul acestei specii cuprinde sudul și sud-estul Europei, trecînd peste stepele Ucrainei pînă în zona Balticii.

În România au fost capturate numeroase exemplare în pădurea Caraorman din Delta Dunării. Este o specie vernală, zboară din mai pînă la mijlocul lunii iunie sau chiar iulie. Se întîlnește deasupra vegetației subarboricole din pădurile și plantațiile de foioase din silvostepă, în luncile rîurilor unde poate fi găsită printre ierburile înalte.

(Avizat de prof. R. Codreanu.)

## BIBLIOGRAFIE

1. MANNHEIMS B., 1951, *Die Fliegen der palaarktischen Region* in E. Lindner 167.
2. — 1963, *Stuttgarter Beiträge zur Naturkunde*, 102.
3. SAVTCENKO E., 1957, *Entomologiceskoe obozrenie*, 36, 3.
4. — 1961, 1964, *Fauna SSSR*, Komari-dolgonojki, Moscova-Leningrad, 2, 3; 2, 4.
5. THALHAMMER J., 1899, *Fauna Regni Hungariae*, Budapesta.

Institutul de științe biologice  
Colectivul de faună

Primit la redacție în 23 februarie 1973



CONTRIBUȚII LA CUNOAȘTEREA GENURILOR  
*FORCIPOMYIA* ȘI *DASYHELEA* (DIPTERA  
*CERATOPOGONIDAE*) DIN ROMÂNIA

DE

ANDRIANA DAMIAN-GEORGESCU

The author presents 10 species of *Ceratopogonidae* from the genera *Forcipomyia* and *Dasyhelea*, found for the first time in the Romanian fauna. Short description including drawings of the male hypopigium is given.

***Forcipomyia* (*Euforcipomyia*) *alaeris* Winnertz 1852**

♂ Lungimea aripilor : 0,83 mm ; lățimea : 0,26 mm ; costala : 0,34 mm ; indicele c/1: 0,40.

Hipopigiul (fig. 1a). Al 9-lea sternit scurt nu trece de baza bazistililor ; tergitul 9 depășește în lungime 2/3 din lungimea bazistililor. Aceștia din urmă sînt relativ scurți, stilul scurt și gros, terminat printr-un cioc mic. Edeagusul triunghiular, unghiul posterior trunchiat ; partea bazală a edeagusului puternic chitinizată. Apodeme lungi și înguste, unite pe linie mediană.

*Răspîndire* : U. R. S. S. (R. S. S. Estonă), R. D. Germană, R. F. Germania, Olanda, Belgia, Anglia, Austria, Ungaria.

În România a fost colectată în Delta Dunării (Canal Dranov, Puiuleț).

***Forcipomyia* *moascari* Mcfie 1943**

♂ Lungimea aripilor : 1,14 mm ; lățimea : 0,38 mm ; costala : 0,43 mm ; indicele c/1 : 0,37.

Hipopigiul (fig. 1b). Sternitul 9 scurt nu depășește baza bazistililor ; tergitul 9 se prelungește pînă la începutul treimii posterioare a bazisti-



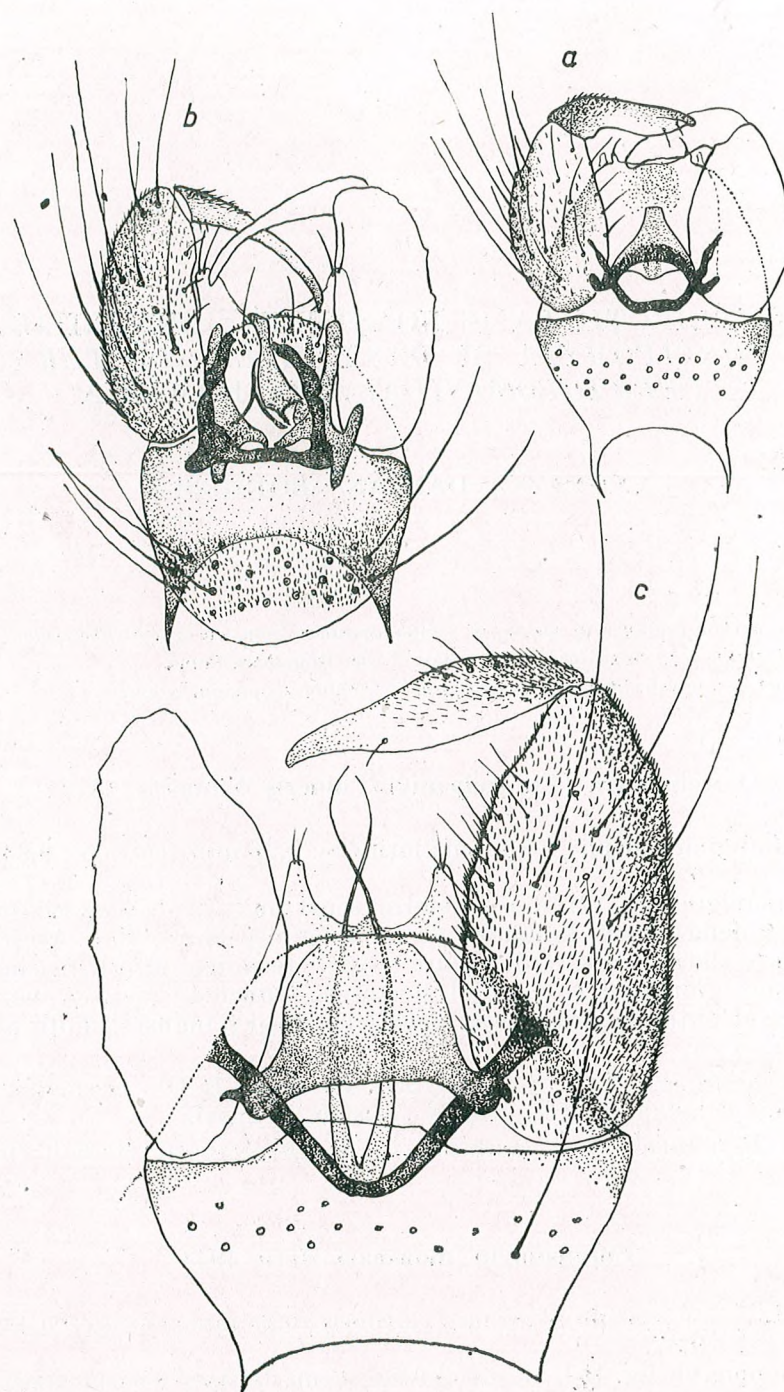


Fig. 1 — Hipopigiul la : a, *Forcipomyia alacris*; b, *Forcipomyia moascari*; c, *Forcipomyia semirustica*.

lului. Bazistili lungi și înguști, stilul subțire și lung, ușor lătit la bază. Edeagusul caracteristic, puternic chitinizat bazal și lateral. Paramere drepte, cu partea bazală în formă de coadă de pește.

*Răspîndire* : Insula Réunion.

În România a fost capturată la o capcană cu lumină la Brăila.

#### *Forcipomyia (Forcipomyia) semirustica* Remm 1968

♂ Lungimea aripii : 1,57 mm ; lățimea : 0,45 mm ; costala : 0,66 mm ; indicele c/1 : 0,40.

Hipopigiul (fig. 1c). Sternitul 9 cu o mică proeminență pe linie mediană, care depășește foarte puțin baza bazipoditului ; tergutul 9 cu partea bazală chitinizată, partea posterioară, hialină. Bazistili puternici, apodemele unite pe linie mediană. Stilii relativ subțiri, bonți la vîrf. Edeagusul triunghiular, unghiul posterior hialin, cele laterale puternic chitinizate. Paramere unite la bază, foarte lungi, subțiri și terminal filiforme.

*Răspîndire* : U.R.S.S. (Crimeea).

Noi am capturat această specie cu o capcană cu lumină la Casa laborator a Academiei R.S.România de la Gura-Zlata (Munții Retezat).

#### *Forcipomyia (Pterobosca) paludis* Mcfie 1943

♂ Lungimea aripii : 1,1 mm ; lățimea : 0,30 mm ; costala : 0,54 mm ; indicele c/1 : 0,49.

Hipopigiul (fig. 2a). Sternitul 9 scurt nu depășește baza bazistililor. Al 9-lea tergite, prelungit mult posterior, ajunge pînă la marginea posterioară a bazistililor. Bazistilii lungi și subțiri, stilii lungi cît bazistilii, ușor umflați la vîrf și terminați printr-un cioc. Paramere în formă de H. Edeagusul format din două părți distincte : partea bazală triunghiulară, chitinizată, iar partea posterioară în formă de coarne este mai slab chitinizată.

*Răspîndire* : Africa, U.R.S.S.

În țară a fost capturată în Delta Dunării (Puiuleț).

#### *Forcipomyia (Forcipomyia) pallida* Winnertz 1852

♂ Lungimea aripii : 1,63 mm ; lățimea : 0,45 mm ; costala : 0,69 mm ; indicele c/1 : 0,42.

Hipopigiul (fig. 2b). Al 9-lea sternit scurt depășește puțin baza bazistililor printr-o proeminență pe linia mediană ; tergutul 9 cu partea bazală chitinizată, partea posterioară cu 2 lobi proeminenți, cu peri ; nu depășește jumătatea lungimii bazistililor. Stilii relativ subțiri, cu virfurile în formă de cioc. Apodeme lungi și subțiri, unite median. Edeagusul cu baza puternic chitinizată. Paramere sudate în porțiunea bazală, părțile libere lungi și foarte înguste.



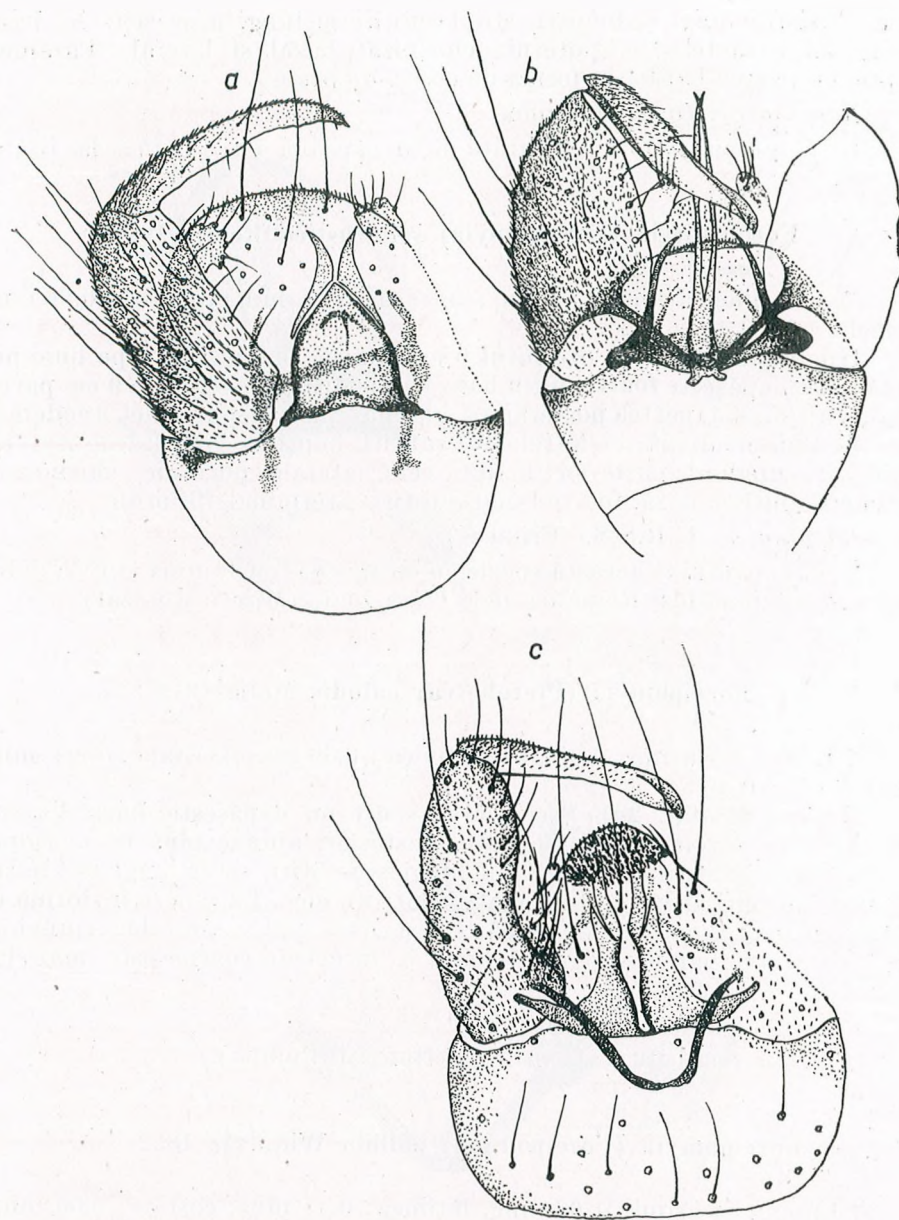


Fig. 2. — Hipopigiul la : a, *Forcipomyia paludis* ; b, *Forcipomyia pallida* ; c, *Forcipomyia velox*.

*Răspîndire* : Norvegia, R. D. Germană, R. F. Germania, Olanda, Belgia, Anglia, Franța, Ungaria, Insulele Canare.

Specia a fost capturată cu o capcană cu lumină la Gura-Zlata (Munții Retezat). A mai fost citată și la Ghilcoș.

### *Forcipomyia (Lasiohelea) velox* Winnertz 1852

♂ Lungimea aripii : 1,04 mm ; lățimea : 0,32 mm ; costala : 0,52 mm ; indicele c/1 : 0,50.

Hipopigiul (fig. 2c). Sternitul 9 nu depășește baza bazistililor ; al 9-lea tergite se prelungește aproximativ pînă la 2/3 din lungimea bazistilului. Apodeme lungi, subțiri, unite pe linie mediană. Stilii subțiri pe toată lungimea, cu virful caracteristic, ușor lățit, ca un cioc de pasăre. Edeagus segmentat longitudinal în două părți simetrice.

*Răspîndire* : U.R.S.S. (R.S.S. Estonă), R. D. Germană, R.F. Germania, Olanda, Belgia, Franța, Austria, Ungaria, Bulgaria.

În România a fost colectată cu un roi de *Chironomidae* la Caransebeș.

### *Dasyhelea (Dasyhelea) baltica* Remm 1966

♂ Lungimea aripii : 1,58 mm ; lățimea : 0,41 mm ; costala : 0,52 mm ; indicele c/1 : 0,32.

Hipopigiul (fig. 3a). Sternitul 9 scurt nu depășește baza bazistililor. Tergitul 9 puțin mai lung decît bazistilii, cu doi apendici digitiformi, lungi, în unghiurile postero-laterale ; marginea internă a bazistililor puternic chitinizată și cu un mic apendice uncinat. Stil scurt, bont, egal în grosime pe toată lungimea. Edeagusul cu o parte bazală puternic chitinizată și două lame îndreptate posterior. Aripile laterale ale paramerelor simetrice, piesa mediană impară, mult mai subțire.

*Răspîndire* : U.R.S.S. (R.S.S. Estonă).

În țară specia a fost colectată în orezăriile de la Bertești.

### *Dasyhelea (Pseudoculicoides) bifurcata* Witth 1952

♂ Lungimea aripii : 0,90 mm ; lățimea : 0,41 mm ; costala : 0,29 mm ; indicele c/1 : 0,32.

Hipopigiul (fig. 3b). Sternitul 9 cu o proeminență pe linie mediană ; tergitul 9 ajunge aproape la marginea posterioară a bazistililor și prezintă două proeminențe conice în unghiurile postero-laterale. Bazistilii cu marginea internă puternic chitinizată, stilii lungi, ușor arcuiți, subțiați ușor spre virf. Edeagusul cu o parte bazală și două lame îndreptate posterior, puternic chitinizate și o parte mediană hialină. Aripile laterale ale paramerelor asimetrice, piesa mediană impară este în prelungirea uneia din aripile laterale.

*Răspîndire* : California.

Specia a fost colectată de noi seara la lumină în Mangalia.



**Dasyhelea (Pseudoculicoides) flavoscutellata** Zetterstedt 1850

♂ Lungimea aripii : 1,23 mm ; lăţimea : 0,54 mm ; costala : 0,38 mm ; indicele  $c/1$  : 0,31.

Hipopigiul (fig. 3c). Sternitul 9 proeminează pe linie mediană sub forma unui mic lob ; tergitul 9 lung cît bazistilii şi cu 2 lobi digitiformi în unghiurile latero-posterioare. Bazistilul scurt, gros, şi cu o proeminenţă pe marginea internă. Stilul lung cît şi bazistilul, uşor curbat la vîrf, baza

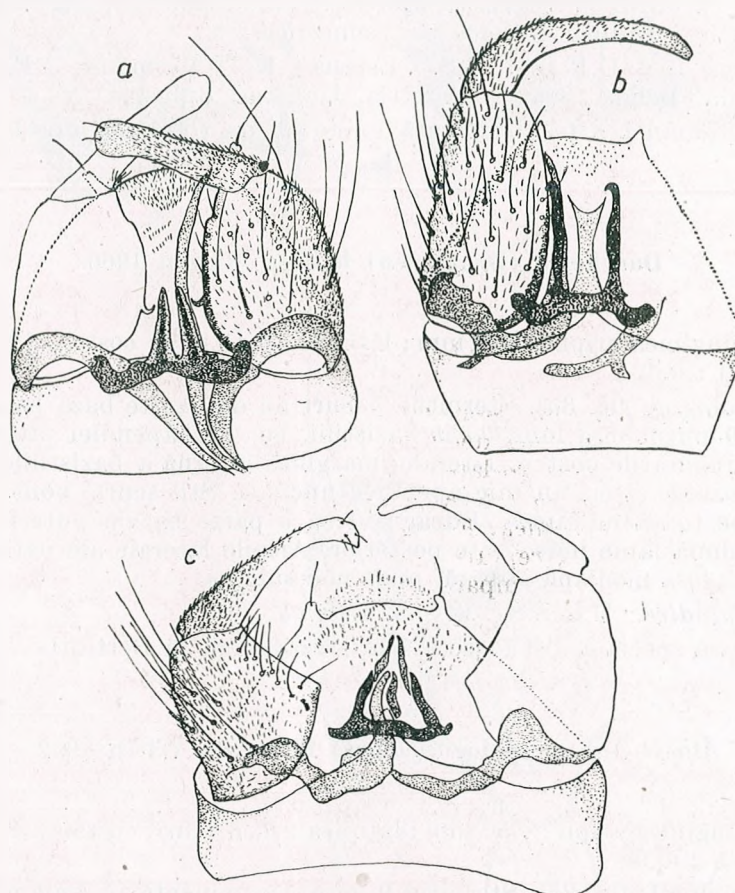


Fig. 3. — Hipopigiul la : a, *Dasyhelea baltica* ; b, *Dasyhelea bifurcata* ; c, *Dasyhelea flavoscutellata*.

lată. Edeagusul triunghiular, partea bazală şi părţile laterale puternic chitinizate. Părţile laterale se prelungesc cu două lame mai puţin chitinizate, care închid triunghiul în partea posterioară. Aripile laterale ale paramerelor asimetrice, piesa mediană impară este foarte scurtă şi este în continuarea uneia din aripi.

În literatura de specialitate sînt semnalate unele variaţii în ceea ce priveşte structura hipopigiului şi aceasta se referă în special la edeagus.

**Răspîndire :** U.R.S.S., Islanda, Insulele Madera şi Canare, Anglia, Franţa, Belgia, Spania, R. D. Germană, R. F. Germania, Austria, Ungaria, Insula Creta, Norvegia, Japonia, Asia Mică.

În România specia a fost colectată într-un roi între localităţile Balş şi Slatina.

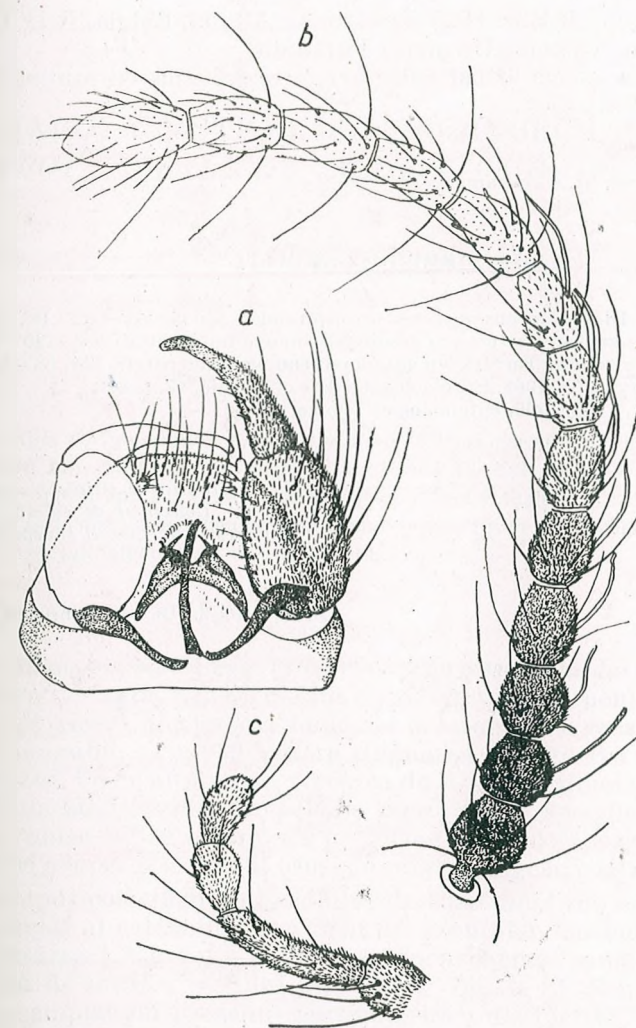


Fig. 4. — *Dasyhelea aestiva* — a, hipopigiul ; b, antena la ♀ ; c, palp la ♀.

**Dasyhelea (Dicryptoscena) aestiva** Winnertz 1852

♂ Lungimea aripii : 1,65 mm ; lăţimea : 0,62 mm ; costala : 0,68 mm ; indicele  $c/1$  : 0,40.



Hipopigiul (fig. 4a). Sternitul 9 cu un lob larg care proeminează pe linie mediană; tergutul 9 ajunge pînă la marginea posterioară a bazistililor, care sînt foarte păroși. Stilul ușor curbat subțiat treptat spre vîrf, acoperit aproape în întregime cu perișori. Edeagusul puternic chitinizat. Aripile laterale ale paramerelor simetrice, piesa mediană impară scurtă și subțire.

*Răspîndire*: U.R.S.S. (R.S.S. Estonă), Anglia, Belgia, R.D. Germană, R. F. Germania, Austria, Ungaria, Finlanda.

În România specia a fost colectată la o capcană cu lumină la Sinaia și prin cosit la Babadag.

(Avizat de prof. R. Codreanu.)

#### BIBLIOGRAFIE

1. REMM H., 1961, Ejegodnic obšestva estestvoispitatelen pri an est S. S. R., 54, 171, 186
2. — 1962, Ucenie zapiski Tartuskovo gosudarstvenno universiteti, 120, 120—121.
3. — 1966, Ucenie zapiski Tartuskovo gosudarstvenno universiteti, 180, 58—59.
4. REMM H., JOGOLEV D. T., 1968, Entomologhiceskoe obozrenie, 47, 4, 828.
5. ZILAHÍ-SEBESS G., 1940, Folia entomologica Hungarica, 5, 1—4.

Institutul de științe biologice  
Colectivul de faună  
București 17, Splaiul Independenței  
nr. 296

Primit în redacție la 23 februarie 1973

## O ANOMALIE A SISTEMULUI NEUROSECRETOR CAUDAL LA *SCOPHTHALMUS MAEOTICUS* (PALLAS 1831)

DE

DAGMAR LINGNER

The author analyses a male specimen of *Scopthalmus maeoticus* (Pallas 1831), captured on June 23, 1972, near the Constanța port. The difference between its urop-hysary system and the typical one found in 47 individuals is of a morphological nature and consists in a double neurohemal organ. From a histological or cytological angle, differences are not significant.

*Scopthalmus maeoticus* (*Pleuronectiformes*, *Bothidae*), specie răspîndită în Marea Neagră, constituie un obiect interesant pentru studii biologice și histologice. Cunoașterea biologiei acestei specii prezintă interes economic considerabil, avînd în vedere stagnarea cantitativă a pescuitului ei din ultimii ani. Pe de altă parte, trecerea de la planul simetric de organizare corespunzător stadiului larvar pelagic la asimetria specifică exemplarelor adulte bentonice ridică o serie de probleme privind repercusiunile acestei transformări asupra sistemului osos, circulator, digestiv și nervos.

În timpul colectării materialului destinat analizei sistemului neurosecretor caudal al calcanului, s-a găsit un exemplar mascul de 35 cm lungime ce cîntărea 1,870 kg, a cărui organ neurohemal caudal avea o formă diferită față de urofiza restului indivizilor (fig. 1, 2). Morfologia externă a acestui exemplar nu prezenta particularități distincte. La prelucrarea materialului valorificat în lucrarea: Sistemul neurosecretor caudal la *Scopthalmus maeoticus* (12) s-a evidențiat faptul că specia cercetată nu prezintă dimorfism sexual în privința alcătuirii sistemului neurosecretor urofizar. Deoarece la restul indivizilor analizați corespunzători ca mărime și capturați în aceleași condiții și anotimp nu s-au observat urofize duble, se exclude posibilitatea unei dedublări sezoniere a acestui organ.



Nomenclatura folosită în lucrare este cea introdusă de U. Holmgren în 1959 și precizată de către W. Bargmann și B. Scharrer în 1969. În lucrările indicate în bibliografie se expune istoricul studiului diferitelor sisteme urofizare.

#### MATERIAL ȘI METODĂ

Exemplarul de *Scophthalmus maeoticus*, a cărui sistem neurosecretor caudal cu organul neurohemal deosebit face obiectul studiului prezent, a fost capturat viu la 23.VI.1971 cu ajutorul brigăzii de pescari de la C.A.P. Agigea în dreptul portului Constanța. După îndepărtarea musculaturii epi- și hipoaxonice, coloana vertebrală caudală a fost introdusă în fixator Bouin. Timpul scurs de la capturare până la fixare nu a depășit 9'. În cursul prelucrării ulterioare a materialului, măduva spinării a fost izolată din canalul central. Observându-se diferența clară a formei organului neurohemal față de cea a restului indivizilor, s-a acordat o atenție deosebită prelucrării lui ulterioare. Totuși, în faza includerii în parafină în timpul orientării materialului, măduva spinării dintre cei doi noduli glandulari a fost parțial fragmentată. Includerea în parafină și secționarea sagitală a materialului s-a făcut conform tehnicii ROMEIS, grosimea secțiunilor fiind de 3  $\mu$ m. Colorare: Cromalaunhematoxilina-floxină (GOMORI — BARGMANN) și Tricrom (GOMORI).

Ca material comparativ „martor” s-a folosit un lot de pești format din 47 de indivizi aparținând ambelor sexe, colectați și prelucrați în anii 1971 și 1972. Lungimea lor varia între 17 și 60 de cm. Tehnica prelucrării histologice a fost identică cu cea descrisă mai sus. Detaliile considerate a fi semnificative au fost reținute fotografic cu ajutorul microscopului MC<sub>1</sub> pe peliculă ORWO 15 DIN.

#### STRUCTURA SISTEMULUI NEUROSECRETOR CAUDAL

Sistemul neurosecretor caudal al exemplarului de *Scophthalmus maeoticus* cercetat se compune din celule neurosecretore Dahlgren, calea de conducere a substanțelor secretate și un organ neurohemal, urofiza.

Comparând dispunerea spațială a celulelor neurosecretore cu cea observată la „lotul martor”, nu se remarcă diferențe esențiale. În linii mari, celulele Dahlgren se grupează în două coloane dispuse paralel cu axa longitudinală a măduvei, de o parte și de alta a canalului central. Densitatea celulelor Dahlgren din regiunea ultimelor șapte vertebre caudale nu este uniformă, remarcându-se aglomerări în dreptul ultimei și antepenultimei vertebre (fig. 4,5). Spre deosebire de cele constatate la exemplarele lotului martor, nu au putut fi observate celule Dahlgren în interiorul țesutului urofizar, ci doar în măduva spinării situată dorsal glandei (fig. 3, 5a, b). În filumul terminal a cărui diametru relativ este neobișnuit de mare, au fost puse în evidență celule neurosecretore ce-și trimit prelungirile lor rostral, spre urofiză (fig. 5c).

Forma generală a măduvei spinării din regiunea caudală nu prezintă particularități deosebite; se constată o adaptare a ei la relieful vertebrelor și o descreștere continuă a ariei secțiunii transversale în direcție caudală. În interiorul măduvei se observă vase sangvine a căror traiect paralel cu axul longitudinal se poate urmări până la rețeaua de vase capilare ce irigă urofiza (fig. 7). Firul Reissner, puternic hematoxilinofil, a fost evidențiat

până la capătul filumului terminal (fig. 6). Spiralarea firului, observată la alte specii, lipsește.

Organul neurohemal, situat într-o excavație din ultimul corp vertebral, se prezintă sub aspectul a două umflături noduloase consecutive asemănătoare ca mărime și formă, a căror bază lată este conerescută pe toată întinderea ei cu partea ventrală a măduvei spinării (fig. 3). Deși par a fi net distincte, analiza histologică a secțiunilor sagitale efectuate demonstrează continuitatea țesutului glandular între cei doi noduli (fig. 3). Secțiunile executate în apropierea planului median demonstrează o structură lobată a nodulului caudal (fig. 3a). Dimensiunile acestuia sînt de 1,6  $\times$  0,9 mm, primul nodul măsurînd aproximativ 1,4  $\times$  1 mm. La intrarea măduvei în urofiză, diametrul ei este de aproximativ 0,21 mm, între cele două glande aparent 0,3 mm din care 0,15 mm revin țesutului urofizar, iar la începutul filumului terminal ea măsoară 0,07 mm.

Prelungirile celulelor neurosecretore răspîndite în măduva spinării rostrală urofizei, ca și cele ale celulelor situate în măduva dorsală primului nodul, se termină în cortexul acestuia. Cel de-al doilea nodul primește fibrele conducătoare de neurosecție ce provin de la celulele Dahlgren situate în filumul terminal și în măduva dorsală lui. Traiectul fibrelor celulelor neurosecretore, ce constituie calea propagării neurosecției de la locul de producere a materialului neurosecretat spre organul de stocare-eliberare, poate fi urmărit în secțiunile sagitale.

După cum demonstrează ultramicroscopia aplicată în ultimul timp în studiul diferitelor sisteme neurosecretore, locul de elaborare a neurohormonilor este pericarionul celulelor Dahlgren. Aceste celule, răspîndite în partea caudală a măduvei, pot avea configurații extrem de variate. În secțiunile sagitale efectuate se remarcă o preponderență a celulelor uni- și bipolare cu conuri de emergență bine dezvoltate (fig. 7, 11a, b). Forma și dimensiunile lor nu permit constatarea unor deosebiri importante în comparație cu exemplarele martor. Valoarea medie a dimensiunii corpului celular este de 40  $\times$  25  $\mu$ m, remarcîndu-se și la acest individ localizarea celulelor neurosecretore maxime în partea rostrală a sistemului.

Citoplasma celulelor neurosecretore nu se colorează uniform; în pericarion și în umflăturile terminale ale prelungirilor conducătoare de neurosecție, reacția tinctorială este extrem de pronunțată (fig. 11, 14a, b). Deși nu au fost evidențiate granule tipice de neurosecție și nici fibre dilatate de acestea în formă de „șirag de mărgel”, s-au observat ocazional structuri asemănătoare corpurilor Hering în imediata vecinătate a vaselor sangvine în regiunea primului nodul urofizar (fig. 12).

Nucleul majorității celulelor neurosecretore are forme rotunjite (fig. 5b, c). Spre deosebire de alte specii cercetate, polimorfismul nuclear este redus, aspectul aplatizat sau în formă de cupă (redat în fig. 8 și 9) întîlnindu-se rar. În general, nucleul este situat fie central, la celulele ovoid-sferice și bipolare (fig. 10, 11a, a, b), fie la un capăt, la celulele monopolare (fig. 7, 8). Îndeosebi la acestea se remarcă o amplasare la capătul opus conului de emergență. Unele celule au un nucleu extrem de voluminos; citoplasma în acest caz apare ca un inel întunecat ce-l înconjoară într-un strat subțire (fig. 10). În interiorul nucleului se observă un singur



nucleol puternic floxinofil (fig. 8, 9, 10). Se pare că există o corelație între polimorfismul nuclear și numărul nucleolilor existenți; nucleolelor puternic lobate observate la alte specii (de ex. *Trachurus m. ponticus*) corespund unui număr mare de nucleoli. Vacuolele și incluziunile întâlnite la indivizii lotului martor nu sînt tipice pentru exemplarul studiat.

Urofiza, organul de stocare-eliberare a neurohormonilor, se deosebește de organul neurohemal al lotului martor prin forma ei binodulară (fig. 1,3). În structura ei se remarcă „cortexul” format din umflăturile terminale ale prelungirilor celulelor Dahlgren în care neurosecreția se acumulează. Reacția tinctorială a acestei zone este puternic hematoxilofilă. Spre deosebire de alte specii cercetate, la *Scophthalmus maeoticus* cortexul înconjură vasele sangvine ce alcătuiesc o rețea densă în interiorul urofizei (fig. 13, 14a, b). Această organizare a zonelor neurohemale active în imediata vecinătate a unor vase sangvine cu diametrul relativ mare a fost observată și la urofiza exemplarelor lotului martor.

Analizînd un număr mare de specii, H a m a n a K o j i (9) a adus o contribuție valoroasă la inventarierea sistematică a particularităților morfologice ale urofizei spinale caudale. Bibliografia acestei probleme a fost completată de numeroși alți autori, putîndu-se formula azi unele principii generale de ordin deductiv. Se pare că urofiza a apărut în decursul dezvoltării filogenetice deoarece asigură o mai mare eficiență sistemului de celule neurosecretoare Dahlgren. De asemenea, se poate considera că speciile care au urofiza bine dezvoltată sînt în primul rînd acelea ce se caracterizează printr-o comportare activă, realizînd performanțe deosebite în ceea ce privește atît viteza de deplasare, cît și durata menținerii efortului (fam. *Scombridae* și *Thunnidae*). Specii de pești ca *Hippocampus* sau *Syngnathus* prezintă o dezvoltare slabă a sistemului neurosecretor amintit. Ținînd cont de schimbarea treptată a comportamentului specifică pentru *Scophthalmus maeoticus* în funcție de vîrstă, mărime și condițiile de mediu în care trăiește, nu este exclus ca anomalia constatată să fie legată de necesitatea organismului de a se adapta eforturilor mai mari corespunzătoare unor anumite etape din dezvoltarea individuală.

#### CONCLUZII

1. Organul neurohemal atipic al exemplarului de *Scophthalmus maeoticus* cercetat este alcătuit din doi noduli așezați unul după altul de-a lungul axului longitudinal în partea ventrală a măduvei spinării caudale.

2. Histologic și citologic, deosebirile dintre sistemul neurosecretor tipic pentru *Scophthalmus maeoticus* și cel analizat în lucrarea de față sînt nesemnificative.

(Avizat de M. Ionescu-Varo.)

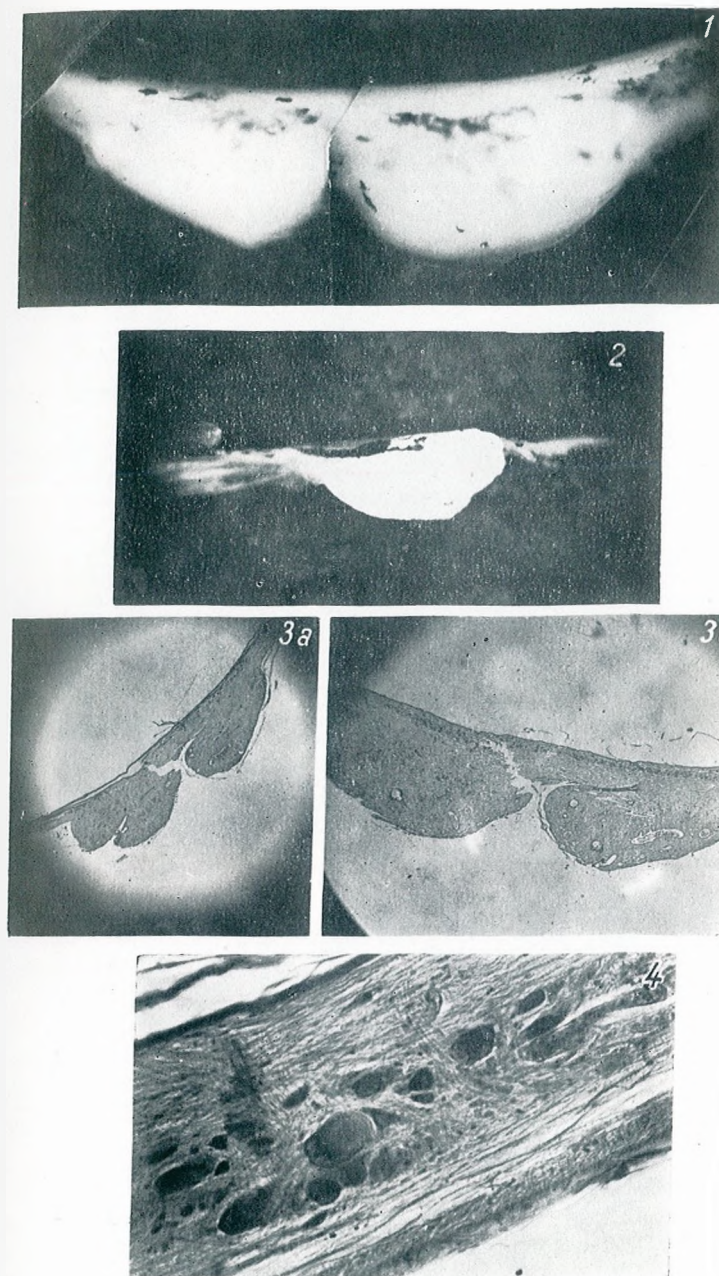


Fig. 1. — Aspectul morfologic general al unei urofize atipice de *Scophthalmus maeoticus*. (ob. 10, fără oc. foto).

Fig. 2 — Urofiză tipică de *Scophthalmus maeoticus*. (ob. 10, fără oc. f).

Fig. 3a, b — Secțiuni sagitale prin urofiză atipică de *Scophthalmus maeoticus*. a — plan median, b — lateral planului median. (ob. a — ob. 3, b — ob. 6, fără oc. foto).

Fig. 4 — Secțiune sagitală prin măduva caudală Tricrom (ob. 20, oc. f. 21, 5).



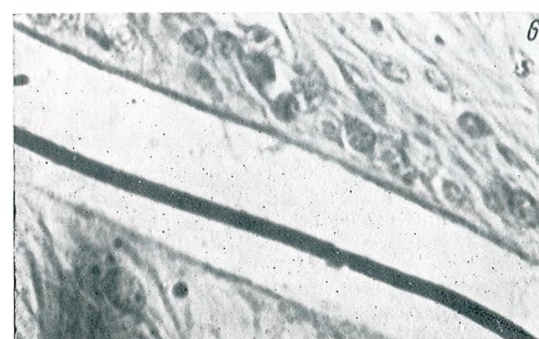
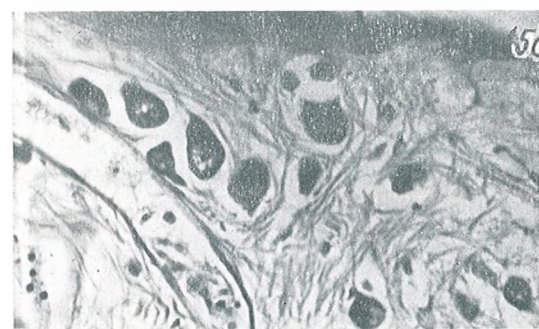
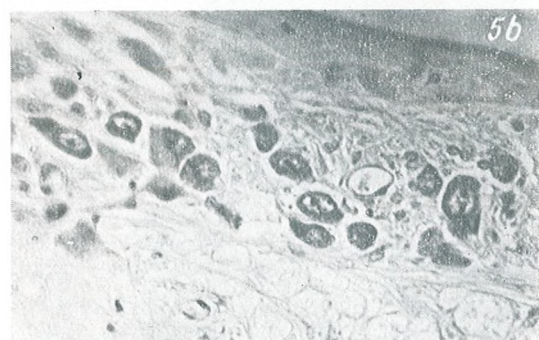


Fig. 5a, b, c — Grupări de celule neurosecretore din regiunea primului nodul urofizar (a), celui de-al doilea nodul (b) și din dreptul filumului terminal (c) (Tricrom, ob. 40, oc. f. 21,5).

Fig. 6. — Firul Reissner din canalul ependimar (Tricrom, ob. 90, oc. f. 21,5).

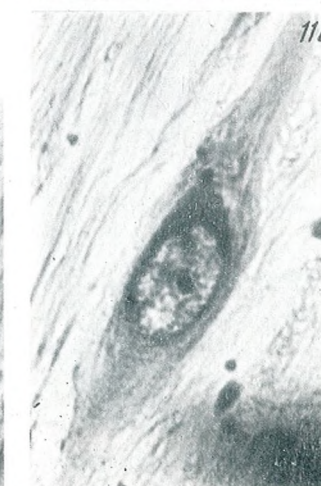
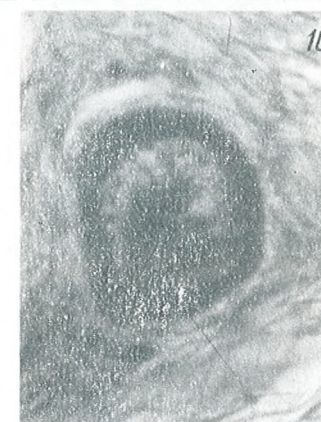
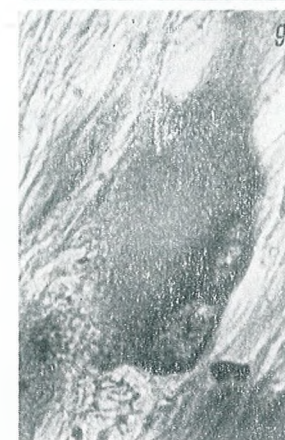
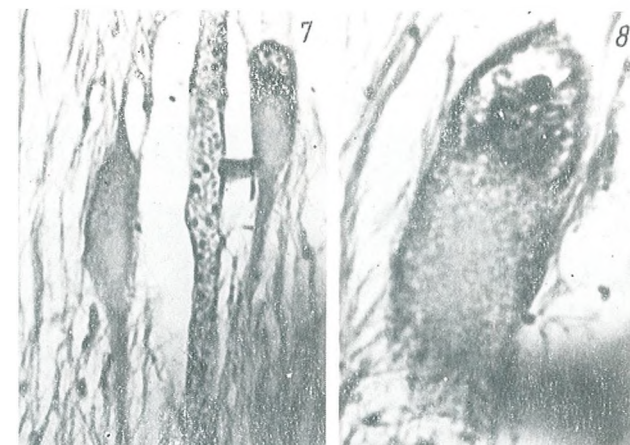


Fig. 7. — Vas sanguin orientat longitudinal în apropierea celule-neurosecretore (Tricrom, ob. 40, oc. f. 21,5).

Fig. 8. — Celulă Dahlgren cu nucleu în formă de cupă (Tricrom, ob. 90, oc. f. 21,5).

Fig. 9. — Celulă Dahlgren cu nucleu aplatizat (Tricrom, ob. 90, oc. f. 21,5).

Fig. 10. — Celulă neurosecretore cu nucleu uriaș, sferoid. (Tricrom, ob. 90, oc. f. 21,5).

Fig. 11, a, b — Celule Dahlgren bipolare (Tricrom, ob. 90, oc. f. 21,5).



# EINE ANOMALIE DES KAUDALEN NEUROSEKRETORISCHEN SYSTEMS VON *SCOPHTALMUS MAEOTICUS* (PALLAS 1831)

## ZUSAMMENFASSUNG

In unserer Arbeit wird ein männliches Exemplar oben erwähnter Art, welches am 23.VI.1972 vor Constanța gefangen wurde, untersucht. Der Unterschied zu dem normalen neurosekretorischen System ist hauptsächlich morphologischer Natur und besteht in einer doppelten Ausbildung der Urophyse. Histologisch und cytologisch lassen sich keine bedeutenden Abweichungen von dem in der Literatur beschriebenen typischen kaudalen neurosekretorischen System nachweisen.

## BIBLIOGRAFIE

1. BARGMANN W., 1963, Die Therap. d. Monats., 198—212.
2. BJORN A., FRIDBERG G., 1963, Z. f. Zellf., 59, 289—308.
3. DICULESCU I., ONICESCU D., RÎMNICEANU C., 1970, *Histologia*, Edit. didactică și pedagogică, București.
4. ENAMI M., 1956, Proc., Jap. Acad., 32, 10, 345—352.
5. FOLLENIUS E., 1963, Gen. and comp. Endocr., 3, 112—120.
6. FRIDBERG G., 1962, Acta Zool., 43, 1—77.
7. — 1963, *Morphological Studies on the Caudal Neurosecretory System in Teleosts and Elasmobranchs*, Stockholm.
8. FRIDBERG G., HOWARD A. BERN., 1968, Biol. Rev., 43, 175—199.
9. HAMANA K., 1962, J. Kyoto Pref. Univ. Med., 71, 478—496.
10. KORN H., 1956, Z. f. Zellf., 52, 49—59.
11. KOBAYASHI H., OOTA Y., 1964, Gunm. Symp. Endocr., 1, 63—79.
12. LINGNER D., 1973, Rev. roum. biol. Série de Zoologie, 18, 5.
13. ROMEIS B., 1948, *Mikroskopische Technik*, Ed. Oldenbourg, München.
14. SANO Y., 1958, Verh. der Anat. Gesell., 182—188.
15. — 1959, Gunm. J. Med. Sc., 8, 3, 219—222.
16. SANO Y., KAWAMOTO M., HAMANA K., 1961, Proc. Sec. A. Gen. Meeting, 22, 60—64.
17. SANO Y., MASHIMO T., 1965, Okajimas Folia Anat., J., 40, 565—573.
18. SANO Y., IIDA T., TAKEMOTO S., 1966, Z. f. Zellf., 75, 328.
19. SCHARER B., 1969, J. Neuro Visc. Rel., 9, 1—20.
20. — 1956, Neurosecretion.
21. STEOPOE I., 1967, *Citologie, Histologie, Embriologie*, București. Ed. didactică și pedagogică.
22. STERBA G., LUPPA H., SCHUHMACHER U., 1965, Endokr., 48, 25—39.

Stațiunea zoologică  
Sinaia, str. Cumpătul nr. 3

Primit în redacție la 9 martie 1973

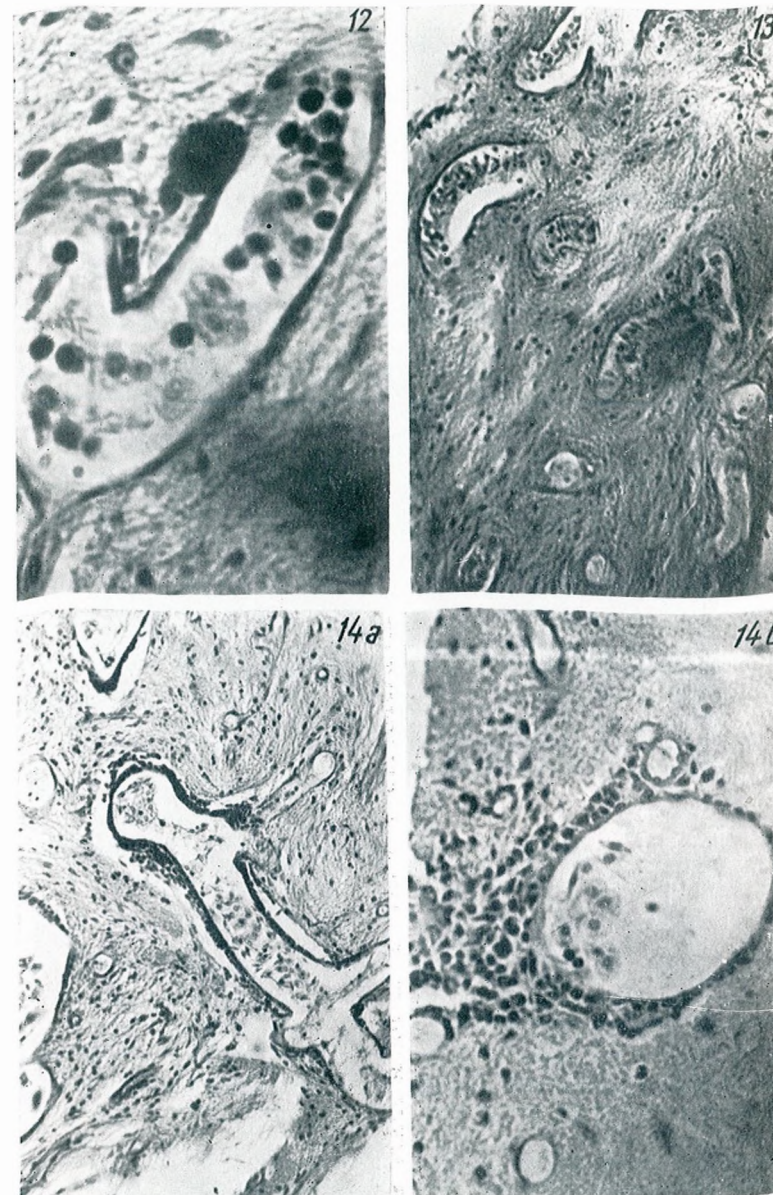


Fig. 12. — Corp Hering în apropierea unui vas sanguin (Tricrom, ob. 90, oc. f. 21,5).

Fig. 13. — Secțiune sagitală prin țesut urofizar (Tricrom, ob. 20, oc. f. 21,5).

Fig. 14a, b — Secțiuni prin vase sanguine urofizare. Se evidențiază zona terminală a prelungirilor conducătoare de neurosecreție. a—longitudinal, b—transversal (Tricrom, a—ob. 20 b—ob.40, oc. f.21,5).



MODIFICĂRI SEZONIERE ÎN ȚESUTUL CROMAFIN  
DIN GLANDA SUPRARENALĂ LA *PHALACROCORAX*  
*CARBO* L.

DE

ANCA PETRESCU-RAIANU

Most of the adrenal chromaffin tissue in *Phalacrocorax carbo* is located in the central part of the gland. The chromaffin islets distribution does not change during a year. In early spring (March), the chromaffin islets are smaller in size than in other seasons while a great number of them show degenerative areas. There are two types of chromaffin cells (light and dark), the predominance of which changes during a year. Dark cells are preponderant in March and lights ones in October. The diameter of chromaffin cells nuclei shows seasonal variations, the lowest values being recorded in March, the highest ones in May. The highest occurrence of pycnotic nuclei was found in spring (March).

Modificările sezoniere ale celulelor cromafine din glanda suprarenală la vertebrate reprezintă o problemă controversată. Astfel, P a n i g e l (15), Z a l e s k y (22) și L a k s m a n (10) nu au reușit să constate variații sezoniere ale țesutului cromafin suprarenal la *Zooteca vivipara*, *Spermophilus* și respectiv cinci specii de anure. Pe de altă parte, numeroși cercetători (2), (6), (13), (19), (20), (21) constată modificări sezoniere, morfologice și funcționale la diferite specii hibernante, modificări legate de perioada de hibernare. De asemenea, J o h n și G e o r g e (8) au evidențiat la *Sturnus roseus* modificări ale cantității de adrenalină în jurul perioadei de migrație.

De aceea am socotit oportună urmărirea țesutului cromafin din glanda suprarenală de la *Phalacrocorax carbo*, în diferite perioade ale anului, pentru a vedea dacă se înregistrează unele modificări morfofuncționale sezoniere, și dacă aceste modificări pot fi puse în legătură cu unele faze ale ciclului sexual.



## MATERIALUL ȘI METODELE DE LUCRU

Glandele suprarenale de la *Phalacrocorax carbo* au fost prelevate de la indivizi adulți, capturați în diferite perioade ale anului în Delta Dunării, conform tabelului nr. 1. Între lunile anului alese de noi și ciclul sexual al speciei *Phalacrocorax carbo* există o concordanță, deoarece în luna martie păsările se găsesc în plină perioadă de împerechere, în luna mai are loc depunerea ouălor și clocitul, iar octombrie este o lună de repaus sexual.

Glandele au fost fixate în lichidele: Bouin-Hollande, Carnoy, Susa și Helly și incluse în parafină. Secțiunile au fost colorate cu hemalaun-eozină și tricrom Azan. Printre alte aspecte urmărite, au fost măsurate cîte 300 nuclei ai celulelor cromafine pentru fiecare exemplar, cu ajutorul micrometrului ocular.

Tabelul nr. 1

Numărul de păsări sacrificate

Perioada	Numărul de masculi	Numărul de femele
Martie	4	6
Mai	8	10
Octombrie	5	7

## REZULTATELE OBTINUTE

Celulele cromafine din glandele suprarenale la *Phalacrocorax carbo* sînt dispuse (ca de altfel la toate păsările) în grupuri de diferite mărimi, răspîndite dezordonat printre cordoanele interrenale, fiind separate de acestea printr-un strat fin de țesut conjunctiv.

Partea centrală a glandei este aceea care conține grupurile cromafine cele mai voluminoase, cu aspect de insule. În zona periferică a glandei, imediat sub capsulă, insulele cromafine sînt foarte mici și rare, uneori formate din 2—3 celule. Puțin mai adînc, în zona subperiferică aceste insule sînt de cele mai multe ori alungite, cu aspect de fișii care coboară spre centrul glandei printre cordoanele interrenale (fig. 1). Această dispoziție a insulelor în glandă nu se modifică în tot cursul anului. În ceea ce privește însă dimensiunile insulelor, la exemplarele capturate în luna martie se observă o reducere netă a lor.

Majoritatea celulelor care alcătuiesc insulele cromafine au o formă poliedrică. Există însă printre celulele poliedrice și unele celule mai mult sau mai puțin alungite. Frecvența celulelor alungite, care pot ajunge chiar fusiforme, este variabilă în funcție de perioada anului. Astfel, ele se întîlnesc cel mai rar în luna mai, și mult mai des în luna martie (fig. 2).

Celulele cromafine sînt grupate în cadrul aceleiași insule în mici grupuri de 3—12 celule separate de grupurile vecine prin țesut conjunctiv și spații vasculare.

În cuprinsul aceleiași insule se găsesc două tipuri de celule cromafine: unele clare, luminoase, de dimensiuni mai mari; altele întunecate, bazofile, de dimensiuni mai mici și localizate cu precădere la periferia insulelor (fig. 3 și 4). Proportia în care se găsesc cele două tipuri de celule variază. În luna martie predomină celulele întunecate, bazofile. Deoarece se găsesc în număr mai mare decît celulele clare, dispoziția lor la periferia insulelor

PLANȘA I

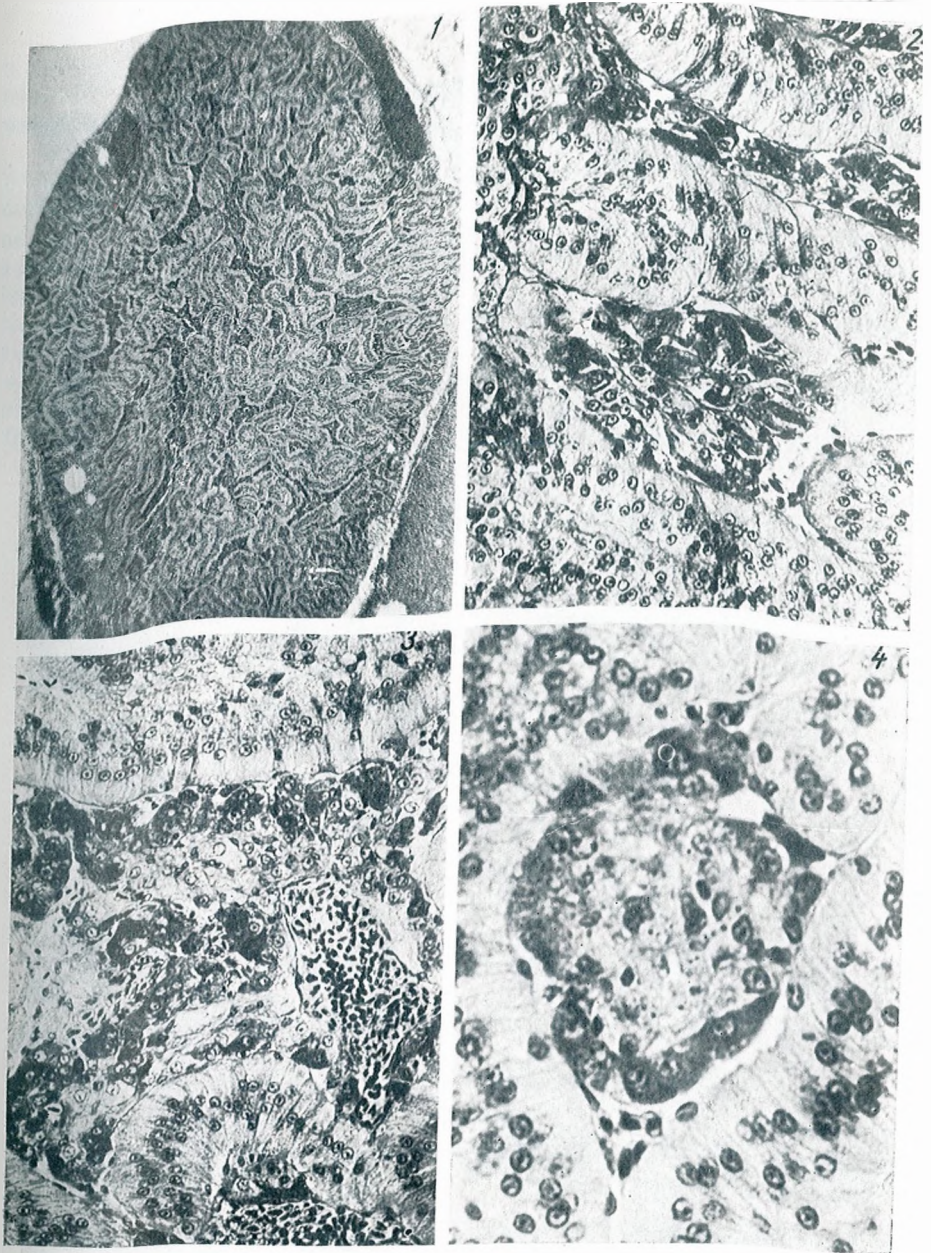


Fig. 1. — Secțiune prin glanda suprarenală la *Phalacrocorax carbo* înfățișînd dispoziția insulelor cromafine în cuprinsul glandei.

Fig. 2. — Secțiune prin glandă suprarenală prelevată în luna martie. În cele două insule cromafine majoritatea celulelor sînt alungite și întunecate.

Fig. 3. — Secțiune prin glanda suprarenală prelevată în luna mai. Celulele sînt poliedrice, iar numărul celulelor întunecate și clare este aproximativ egal.

Fig. 4. — Secțiune prin glanda suprarenală prelevată în luna octombrie. Celulele sînt poliedrice, iar numărul celulelor întunecate este mai mic decît cel al celulelor clare.



## PLAȘA II

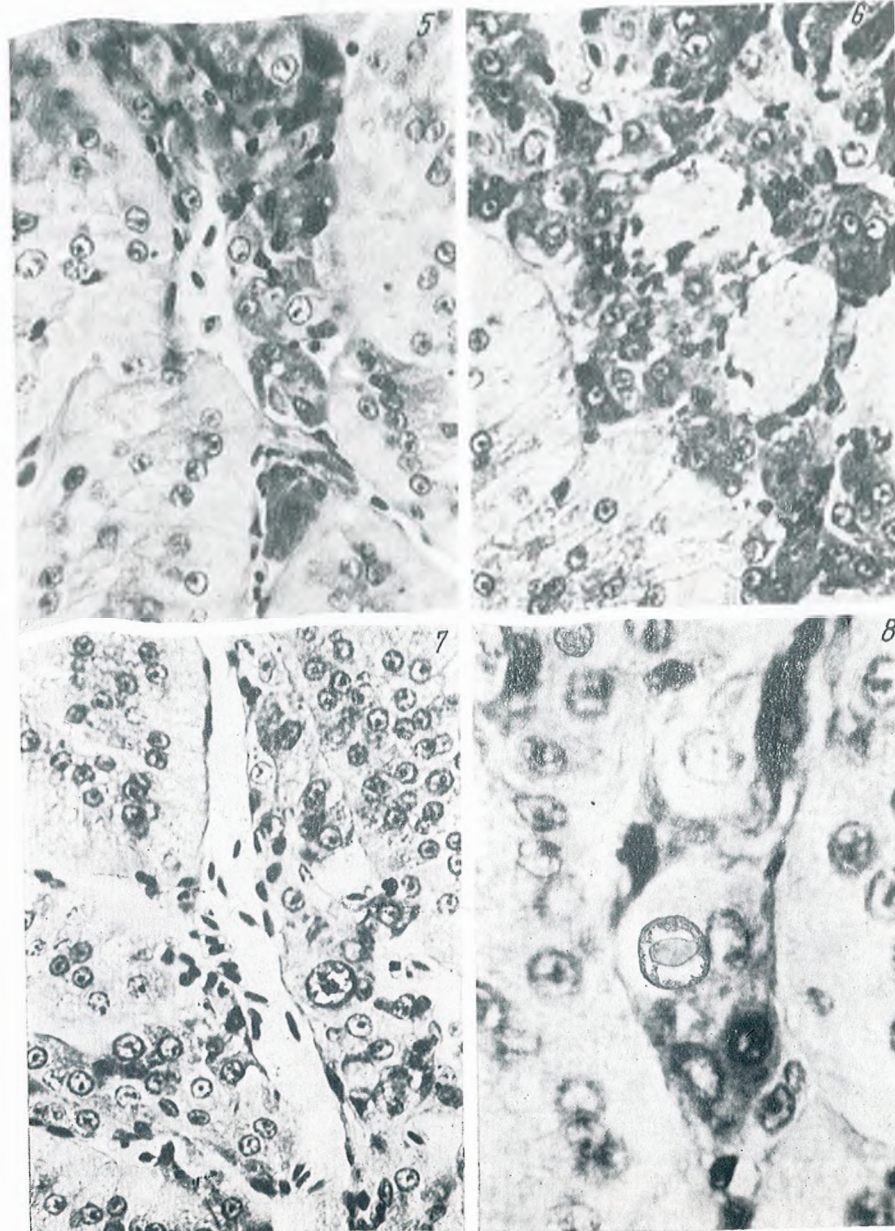


Fig. 5. — Insulă cromafină dintr-o glandă prelevată în luna martie. Se observă numeroși nuclei picnotici.

Fig. 6. — Insulă cromafină dintr-o glandă prelevată în luna martie. Se observă semne de degenerare ale celulelor.

Fig. 7. — Nucleu gigant al unei celule cromafine dintr-o glandă prelevată în luna octombrie.

Fig. 8. — Formațiune acidofilă într-un nucleu de celulă cromafină.

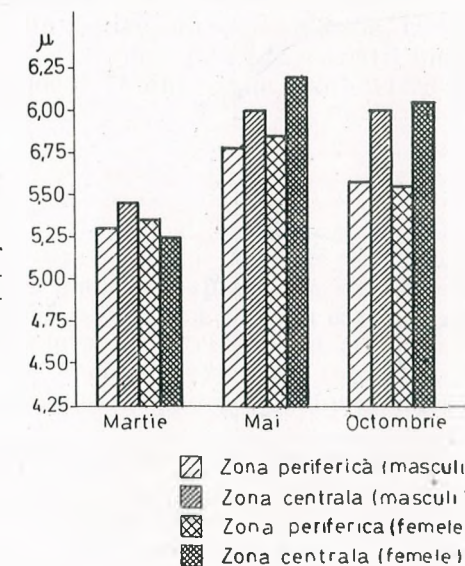
nu mai este evidentă (fig. 2). În luna mai cele două tipuri de celule sînt în număr aproximativ egal (fig. 3), pentru ca în octombrie celulele clare să fie numeric preponderente (fig. 4).

În timpul toamnei, cei mai mulți nuclei ai celulelor cromafine sînt sferici, veziculoși, puțin cromatici și prezintă de regulă un singur nucleol. Forma nucleilor variază în funcție de anotimp. Astfel în luna martie, nucleii sînt ovali sau chiar alungiți. De asemenea, în acest interval de timp au fost întîlniți numeroși nuclei incizați, colțuroși, sau în diferite stadii de pinoză (fig. 5 și 6). Proportia lor s-a ridicat la unele exemplare la 25—30% din totalul nucleilor examinați, fiind mai frecvenți în insulele cromafine situate în partea centrală a glandei. În luna mai numărul nucleilor picnotici este mai mic decît în martie, iar în octombrie numărul lor scade simțitor, înregistrînd proporții de numai 2—5%. Prezența nucleilor în diferite stadii de pinoză, precum și o degenerare mergînd pînă la meta-

Tabelul nr. 2

Mediile diametrului nucleilor în funcție de sex, zonă și anotimp

Luna	MASCULI		FEMELE	
	zonă periferică	zonă centrală	zonă periferică	zonă centrală
Martie	$5.28 \pm 0.06$	$5.44 \pm 0.23$	$5.35 \pm 0.28$	$5.23 \pm 0.05$
Mai	$5.78 \pm 0.31$	$6.00 \pm 0.28$	$5.84 \pm 0.14$	$6.20 \pm 0.15$
Octombrie	$5.58 \pm 0.08$	$6.01 \pm 0.17$	$5.58 \pm 0.19$	$6.03 \pm 0.25$

Fig. 9. — Dimensiunile nucleilor celulelor cromafine în funcție de sex, zonă și anotimp în glandele suprarenale la *Phalacrocorax carbo*.

plazia celulelor sînt caracteristice pentru insulele cromafine din suprarenalele prelevate în luna martie (fig. 6).

Dimensiunile nucleilor au fost folosite ca un indice al activității celulelor (tabelul nr. 2 și fig. 9). Se remarcă luna martie ca fiind caracte-



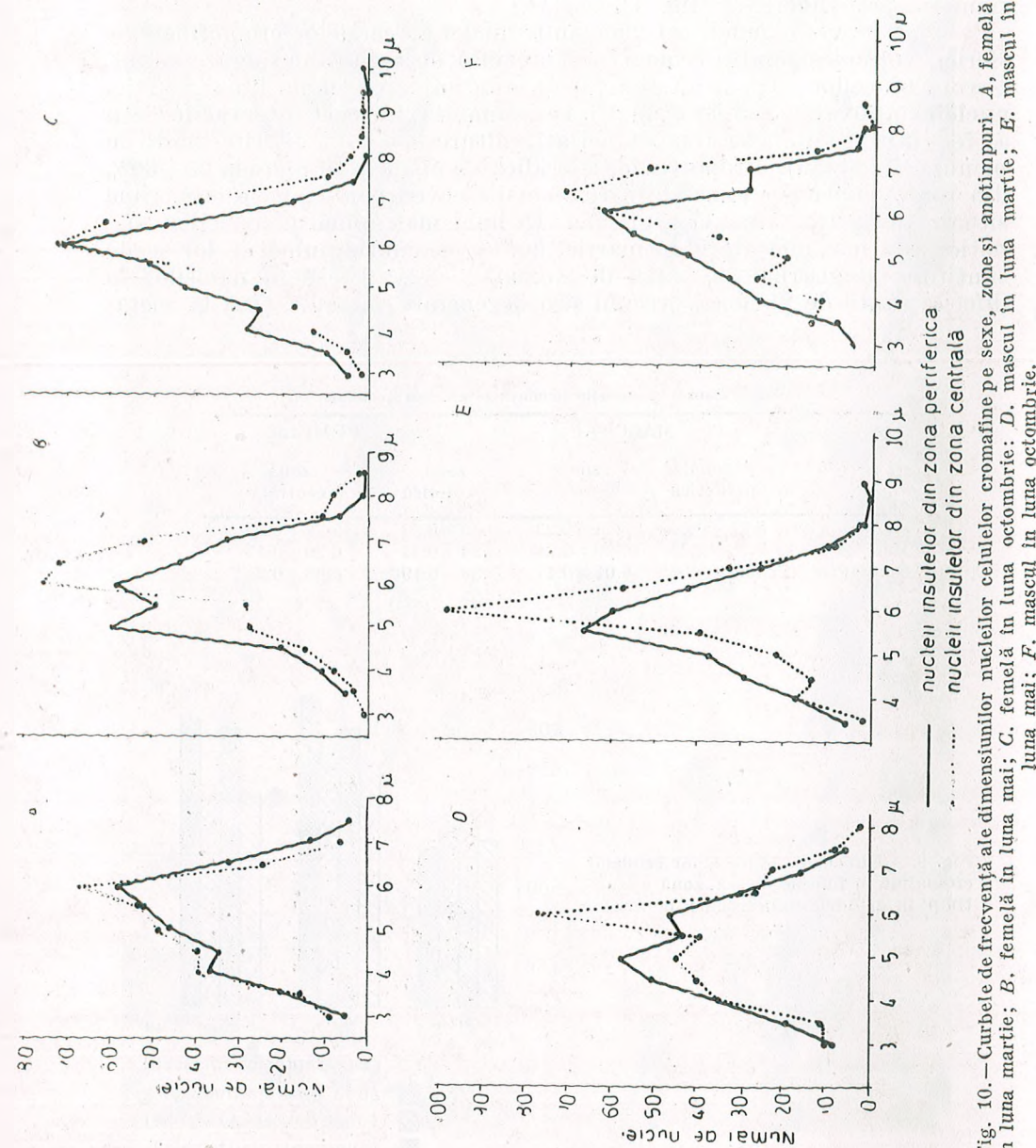


Fig. 10. — Curbele de frecvență ale dimensiunilor nucleilor cromafine pe sexe, zone și anotimpuri. A, femele în luna martie; B, femele în luna mai; C, femele în luna octombrie; D, mascul în luna martie; E, mascul în luna mai; F, mascul în luna octombrie.

rizată de valorile cele mai mici pentru nucleii celulelor cromafine din toată glanda. Media cea mai mare a nucleilor celulelor cromafine a fost înregistrată în luna mai la ambele sexe, indiferent de zona glandei. Deși în luna octombrie, valoarea medie pentru diametrul nucleilor a fost mai mică decât cea caracteristică pentru luna mai (tabelul nr. 2 și fig. 9), în toamnă au fost întâlniți adesea nucleii mult mai mari decât media, ajungând uneori giganti. Cu toate că variațiile de dimensiuni ale nucleilor sînt întâlnite la celulele cromafine în tot timpul anului, menționăm că valori foarte mari au fost întâlnite numai în toamnă (diametre de 9–10  $\mu$ ) (fig. 7). Din analiza curbelor de frecvență din figura 10 se poate vedea că în timp ce la femele în tot cursul anului curbele obținute pentru nucleii din zona periferică se suprapun cu cele ale nucleilor din zona centrală și că își modifică puțin profilul în tot cursul anului, la masculi nucleii din cele două zone par a fi deosebiți.

Poziția nucleilor în celule este o altă trăsătură caracteristică pentru diferitele perioade analizate de noi. Astfel, în timpul toamnei marea majoritate a nucleilor au o poziție centrală, spre deosebire de perioada de primăvară (mai ales luna martie), în timpul căreia se întâlnesc destul de frecvent nucleii deplasați spre polul celulelor îndreptat spre centrul grupului de celule cromafine.

În toate perioadele analizate, am întâlnit niște formațiuni intranucleare, acidofile, cu mare afinitate pentru eozină. Ele pot fi una sau mai multe în același nucleu, de dimensiuni variabile și par a sta într-o vacuolă perfect clară, care împinge nucleolul și cromatina la periferia nucleului. Uneori pot apare deformări ale nucleului datorate presiunii exercitate de vacuolă asupra celorlalți constituenți celulari (fig. 8). Rar au fost văzute astfel de picături în momentul ieșirii din nucleu sau în citoplasmă, în vecinătatea nucleului. Frecvența acestor formațiuni prezintă variații individuale care nu au putut fi legate de perioada anului sau de sexul indivizilor.

#### DISCUȚII

Glandele suprarenale ale diferitelor specii de păsări se deosebesc prin cantitatea de țesut cromafin pe care o posedă. Hartman și colab. (5) arată că dispoziția acestui țesut în glandele suprarenale ale păsărilor depinde de cantitatea lui. Într-o lucrare anterioară (16), în care am analizat modificările raportului dintre țesuturile interrenal și cromafin în cursul ciclului anual, am arătat că la *Phalacrocorax carbo* cantitatea de țesut cromafin este mică variind între 9 și 25% din volumul glandei, în funcție de fazele ciclului sexual.

Sînt cunoscute variațiile cantitative ale țesutului interrenal în cursul ciclului anual. Hohn la *Anas platyrhynchos* (7), Hall la *Platycercus eximius* (4), Fromme-Bouman la *Turdus merula* (1), Lorenzen și Farner la *Zonotrichia leucophrys gambelii* (12), și Petrescu-Raia la *Phalacrocorax carbo* (16) au arătat că există o creștere semnificativă a cantității de țesut interrenal în timpul perioadei de reproducere. Se consideră însă că modificarea raportului dintre țesutul interrenal și cel cromafin se face exclusiv pe seama hipertrofiei cordoanelor interrenale. Din studiile întreprinse de noi în această lucrare,



ținând seama de dimensiunile insulelor cromafine și aspectul celulelor care le compun în cursul fazelor analizate de noi, putem afirma că procentele mici de volum pe care le ocupă țesutul cromafin în timpul lunii martie nu se datoresc numai creșterii volumului cordoanelor interrenale, ci și unei reduceri a insulelor cromafine. Dimensiunile mai mici ale insulelor, numeroasele aspecte de degenerare pe care le prezintă în cursul lunii martie insulele cromafine din suprarenala cormoranului, incidența celulelor cu nuclei colțuroși sau picnotici, prezența celulelor metaplaziate care nu mai au caracterele morfologice ale celulelor cromafine sînt indicii care ne îndreptătesc să afirmăm că în această perioadă are loc o degenerare parțială a insulelor cromafine și că modificările de volum ale celor două țesuturi componente ale suprarenalei se fac nu numai pe seama hipertrofiei cordoanelor interrenale, dar și pe seama reducerii țesutului cromafin.

Modificări de volum ale țesutului cromafin au fost mai rar semnalate în literatură. Müller (14) descrie o creștere a cantității de țesut cromafin odată cu vârsta la porumbel și găină. Mai des au fost semnalate modificări morfofuncționale ale celulelor cromafine în cursul ciclului anual (11), (13), (19) și modificări ale cantității de catecolamine (8), (17), (18), (21).

Este interesant de discutat semnificația funcțională a celor două aspecte morfologice ale celulelor cromafine descrise de noi la *Phalacrocorax carbo*. Gabe și Rancurel (3) găsesc în zona periferică din suprarenală la *Crocodylus niloticus* celule întunecate pe care le consideră conținând adrenalină. Insulele din zona centrală sînt formate din celule clare (conținând noradrenalină) și numai ocazional întîlnindu-se celule întunecate. De asemenea, Kondics (9) descrie la șoarece două tipuri de celule cromafine: unele întunecate, negative la reacția cu iodat de potasiu, deci depozitare de adrenalină și altele clare care dau reacție pozitivă la tratare cu iodat. Întrucît nu există posibilitatea unui control absolut sigur pentru identificarea celulelor întunecate ca celule iodat-negative și a celulelor clare ca iodat-pozitive nu putem fi siguri de corespondența acestor două tipuri de celule. Din studiile noastre la *Phalacrocorax carbo* credem că este oportun să considerăm celulele întunecate, bazofile, mai curînd ca un stadiu de activitate intensă de sinteză, iar celulele clare ca un stadiu de repaus. În timpul lunii martie, cînd insulele cromafine ocupă un volum mai restrîns, celulele bazofile sînt mai numeroase, ceea ce ar putea fi interpretat ca o intensificare compensatoare a sintezei de catecolamine pentru a face față necesităților organismului în condițiile unui volum mai mic al țesutului cromafin. Așa s-ar putea explica și existența nucleilor picnotici, ca rezultat dintr-o epuizare a celulelor, în urma unei intensificări a activității lor.

Un alt aspect care se impune discuției este existența unei diferențieri morfologice și funcționale a celulelor cromafine situate în zona periferică a glandei față de cele situate mai central. Este adevărat că în suprarenalele prelevate de la păsările capturate în lunile mai și octombrie diferențele între diametrul nucleilor din cele două zone sînt semnificative. Totuși, deoarece nu am găsit și alte deosebiri considerate ca indicatoare ale unei diferențieri, nu putem socoti celulele cromafine din cele două zone ca fiind deosebite funcțional.

## CONCLUZII

1. Cea mai mare parte a țesutului cromafin la *Phalacrocorax carbo* este situată în partea centrală a glandei suprarenale. În cursul anului se modifică numai dimensiunile insulelor cromafine, nu și dispoziția lor în glandă.

2. Primăvara timpuriu (martie) insulele cromafine se caracterizează prin dimensiuni reduse și apariția unor focare de degenerare.

3. În tot cursul anului există două tipuri de celule cromafine corespunzătoare la două stadii funcționale, dar preponderența lor variază în funcție de perioadă. Celulele întunecate, bazofile, predomină în luna martie, iar cele clare în luna octombrie.

4. Cele mai mici valori medii ale diametrului nucleilor au fost înregistrate în martie, iar cele mai mari în mai. De asemenea, în martie a fost remarcat cel mai mare număr de nuclei picnotici.

5. Diferențele între sexe nu au fost semnificative.

(Avizat de prof. G. T. Dornescu și M. Ionescu-Varo.)

SEASONAL CHANGES OF CHROMAFFIN TISSUE  
IN THE ADRENAL GLAND OF PHALACROCORAX CARBO L

## SUMMARY

The adrenal glands were examined in adult individuals of *Phalacrocorax carbo* (males and females), captured in March, May and October. Most of chromaffin tissue is located in the central part of the gland as big islets. In the subcapsular zone, chromaffin islets are small and not frequent. Most cells are polyhedric in shape. However, elongated cells also occur with variable frequency during a year. Their highest frequency was recorded in March.

Chromaffin cells are of two morphological aspects: the first type consists in light cells, larger in size, the second in dark, basophilic cells, smaller in size and located mainly in the outer part or the islets. The relative proportion of the two types of cells changes during a year. In March the dark cells are preponderant; in May the two types of cells are equally frequent while in October the light cells are preponderant. According to the above results, the two types of cells appear as two distinct functional stages of the secretory process; the dark cells seem to correspond to a stage of intensive activity of synthesis, the light ones to a stage of storage.

During the reproductive period, a significant increase in the interrenal tissue amount was reported [1], [4], [7], [12], [16], resulting in changes in the relative proportions of interrenal and chromaffin tissues. Our studies dealing with chromaffin islets size and with the appearance of their cells during the annual cycle allow the conclusion of the low relative occurrence of chromaffin cells in March as due not only to a hypertrophy



of interrenal cords but to a reduction of chromaffin islets, too. The smaller size of chromaffin islets, the frequent cases of degeneration found in March (corresponding to the mating period), the incidence of cells with pycnotic or angular nuclei, as well as the occurrence of metaplastic cells which lack the features of the chromaffin cells should be taken into account as indicating a partial degeneration of chromaffin islets, during this period, and as suggesting that the volume changes of the two tissues in the adrenal gland are not exclusively a result of interrenal cords hypertrophy, but also a reduction of the chromaffin tissue.

## BIBLIOGRAFIE

1. FROMME-BOUMAN H. — 1962, *Die Vogelwarte*, **21**, 3, 188.
2. GABE M., AGID R., MARTOJA M., SAINT — GIRONES M. C., SAINT — GIRONES H., 1964, *Arch. Biol.*, **75**, 1—87.
3. GABE M., RANCUREL P., 1964, *Arch. Anat. Micr. Morph. Exp.*, **53**, 3, 225—240;
4. HALL B. K., 1968, *Aust. J. Zool.*, **16**, 4, 609—617.
5. HARTMAN F. A., KNOUFF R. A., MCNUTT A. W., CARVER J. E., 1947, *Anat. Rec.*, **97**, 211—221.
6. HOFFMAN R. A., HESTER R. J., 1965, *Nature*, **207**, 656—657.
7. HÖHN E. O., 1961 *Biology and Comparative Physiology of Birds*, Ed. A. J. Marshall, Acad. Press, New York, **2**, 87—114.
8. JOHN T. M., GEORGE J. C., 1968, *Pavo Indian J. Ornithol.*, **5**, 1—2, 47—51.
9. KONDICS L., 1962, *Acta Biol. Acad. Sci. Hung.*, **13**, 3, 265—271.
10. LAKSMAN A. B., 1964, *Endocrinol. Jap.*, **11**, 3, 169—176.
11. LJUNGGREN L., 1969, *Viltrevy*, **6**, 2, 42—126.
12. LORENZEN L. C., FARNER D. S., 1964, *Gen. Comp. Endocrinol.*, **4**, 3, 253—263.
13. MARTOJA M., DUGUY R., SAINT — GIRONES H., 1961, *Arch. Anat. Micr. Morph. Exp.*, **50**, 2, 233—249.
14. MÜLLER J., 1929, *Z. Mikrosk. Anat. Forsch.*, **17**, 303—352.
15. PANIGEL M., 1956, *Ann. Sci. Nat. Zool.*, **18**, 569—668.
16. PETRESCU-RAIANU A., 1971, *Rev. Roum. Biol., sér., Zool.*, **16**, 6, 375—381.
17. PETROVIC V. M., DAVIDOVIC V., 1963, *C. R. Soc. Biol.*, **157**, 1175—1177.
18. PETROVIC V. M., DAVIDOVIC V., 1965, *J. Physiol. (Paris)*, **57**, 678—679.
19. SAINT-GIRONES H., 1963, *Arch. Anat. Micr. Morph. Exp.*, **52**, 1—51.
20. SAINT-GIRONES H., 1964, *Arch. Biol.*, **75**, 1—87.
21. UUSPÄÄ V. J., 1963, *Ann. Med. Exp. Fenn.*, **41**, 349—354.
22. ZALESKY M., 1934, *Anat., Rec.*, **60**, 291—321.

*Institutul de științe biologice  
Departamentul de biologie celulară  
București 17, Splaiul Independenței nr. 296*

Primit în redacție la 26 februarie 1973

MODIFICĂRI METABOLICE ÎN TIMUS ÎN URMA  
PARATIROIDECTOMIEI LA ȘOBOLANUL ALB

DE

Academician EUGEN A. PORA și P. ORBAI

Parathyroidectomy in white rats caused an involution of the thymus, consisting in the decrease of the wet weight, total nucleic acid content and of <sup>32</sup>P incorporation. The results are discussed in the terms of the interrelations existing between the thymus and the parathyroids.

Relațiile timusului cu glandele sexuale, cu suprarenalele, cu pancreasul endocrin și chiar cu tiroida sînt în general mai bine cunoscute (1), (2), (6), (7), (10), (11). Timusul s-a dovedit a fi un inel de mare importanță în legăturile sale cu sistemul limfatic (11), iar pe de altă parte cu întreaga sferă endocrină (6). În acest sens prezentăm cîteva din rezultatele ce dovedesc relațiile timusului cu paratiroidalele.

Data fiind originea comună a timusului, tiroidei și paratiroidelor, este logic să ne așteptăm la anumite corelații funcționale. Există cercetări care arată că parathormonul ar stimula procesul de diviziune și proliferare a timocitelor (4), (13), iar lipsa lui ar inhiba dezvoltarea acestora (5).

## MATERIALE ȘI METODE DE LUCRU

Experiențele s-au făcut pe șobolani albi masculi în greutate de circa  $100 \pm 5$  g care la vîrsta de 30 de zile aveau o activitate timică maximă (6). Animalele au fost menținute în condiții asemănătoare de viață și hrănite cu peleturi preparate în laborator ce conțineau principii nutritive complete. Paratiroidectomia bilaterală s-a făcut prin cauterizare sub binocular pe animale ușor anesteziate cu eter. Controlul operației s-a făcut prin dozarea calcemiei la sacrificare și prin examinarea atentă a regiunii de intervenție. Au fost considerate ca bine operate animalele a căror calcemie era sub 7 mg%. Celelalte animale s-au eliminat considerînd că au avut parati-



roide accesorii sau că nu au fost extirpate complet cele două paratiroide. La animalele martor s-a făcut o operație falsă, fără a afecta tiroida sau paratiroida. Sacrificarea s-a făcut după 7, 21 și 35 de zile de la operație; fiecare lot avea în medie 7 animale. Cu 24 de ore înainte de sacrificarea animalelor li s-a injectat 5  $\mu$  Ci per individ dintr-o soluție de  $P^{32} O_4 NaH_2$  i.v. în 0,5 ml.

Probele de timus au fost hidrolizate cu KOH n, iar numărarea impulsurilor s-a citit la o instalație B<sub>2</sub>. Dozarea calciului s-a făcut flamm-fotometric, iar a acizilor nucleici prin metoda spectrofotometrică a lui Spirin (9).

#### DISCUȚIA REZULTATELOR

În tabelul nr. 1 se dau rezultatele medii, iar în figura 1 sînt reprezentate variațiile procentuale, comparativ cu martorul, a deosebirilor obținute. Din analiza lor rezultă că paratiroidectomia la șobolan nu constituie numai un stress (la martorul operat nu se produc decît foarte ușoare și nesemnificative modificări), ci o intervenție care tulbură un echilibru funcțional endocrin. Scăderea ponderală a timusului (cu aproape 48% timp de 5 săptămîni), scăderea înglobării  $P^{32}$  și a acizilor nucleici în medie cu 25% timp de 5 săptămîni) și confirmarea lipsei paratiroidelor în acest timp

Tabelul nr. 1

Valerile indicilor analizați în timus (martor) după paratiroidectomie (operat). Toate valorile obținute sînt statistice semnificative ( $p < 0,001$ ) față de martor

Nr. de zile după operație		7		21		25	
lotul		martor	operat	martor	operat	martor	operat
Calcemia mg/100	media (7 ind.)	10,2	5,8	10,0	6,1	9,8	5,9
	$\pm$ E. S.	0,2	0,3	0,2	0,1	0,3	0,2
	dif./mart. %		-43,1		-39,0		-40,0
Greut. timus mg	media (7 ind.)	163	85	198	104	235	121
	$\pm$ E. S.	4,5	4,6	4,5	2,0	5,0	1,6
	dif./mart. %		-47,8		-47,7		-48,5
Acizi nucleici mg/100	media (7 ind.)	28,1	21,0	28,1	20,1	27,4	20,3
	$\pm$ E. S.	0,1	0,7	0,6	0,7	0,7	0,9
	dif./mart. %		-25,2		-28,4		-25,2
Încorp. $P^{32}$ imp/100 g și min	media (7 ind.)	936	674	943	630	916	641
	$\pm$ E. S.	41	24	35	17	38	26
	dif. /mart. %		-29,0		-27,8		-30,0

( $p < 0,001$ )

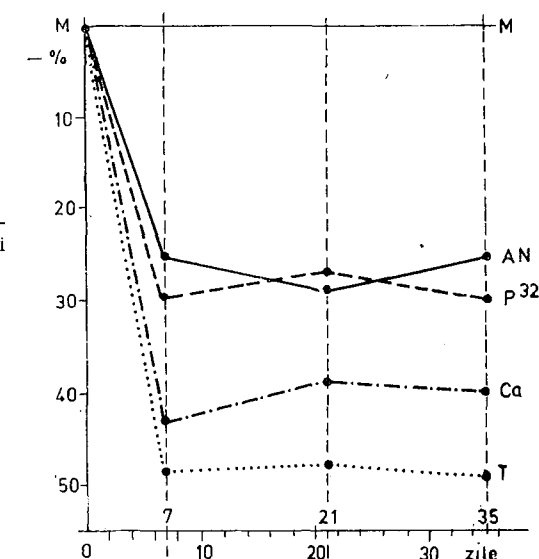
prin scăderea calcemiei cu circa 40% din valoarea normală (fig. 1) sînt fenomene care arată că echilibrul funcțional al timusului depinde de o activitate normală a paratiroidelor.

Aceste rezultate sînt în bună parte asemănătoare cu fenomenele de involuție accidentală a timusului obținute sub influența unor doze de

hidrocortizon care de asemenea produc micșorarea cantității de acizi nucleici, a fixării  $P^{32}$  și prin aceasta a activității energetice a celulelor timice (10). Chiar dacă aceste efecte sînt asemănătoare, corticosteroizii provoacă o atrofie a timusului, diferită ca intensitate de cea determinată de lipsa parathormonului. Rezultatele noastre concordă și cu cele obținute de P e r r i s și colab. (5), care constată o scădere marcantă a

Fig. 1. — Modificări metabolice în timusul șobolanilor paratiroidectomiizați (în procente față de martor M).

T — Greutatea timusului,  
AN — Acizi nucleici,  
 $P^{32}$  — Încorporarea  $P^{32}$   
Ca — Calcemia.



timocitelor și a greutatei timusului în urma ablației tiroidei și paratiroidelor.

Aceasta ar putea însemna că raportul dintre timus și paratiroide este mai dependent decît între timus și alte glande. Originea comună a celor 2 glande justifică o astfel de ipoteză. Rămîne de lămurit calea prin care paratiroidele influențează timusul.

În concluzie se poate spune că între timus și paratiroide există o relație strînsă, iar lipsa paratiroidelor determină o atrofie puternică a timusului și o scădere accentuată a acizilor nucleici și a înglobării fosforului radioactiv.

(Avizat de prof. E. A. Pora.)

#### METABOLIC CHANGES IN THYMUS FOLLOWING PARATHYROIDECTOMY IN WHITE RATS

##### SUMMARY

White rats, weighing  $100 \pm 5$  g, were parathyroidectomized by cautery. At intervals of 7, 21 and 35 days after parathyroidectomy a decrease (by 48%) of the wet weight of the thymus and of its total nucleic



acid content (by 25 %) was found. The incorporation of  $^{32}\text{P}$  was also lowered (by 28 %). These involutive modifications show that the functional equilibrium of the thymus is dependent upon the parathyroids. These results are interpreted as suggesting that close interrelations exist between the thymus and the parathyroids which are common in their embryonic origin.

## BIBLIOGRAFIE

1. ABRAHAM A., PORA A. E., TOMA V., 1963, J. Physiol. (Paris), **53**, 241.
2. COMȘA J., 1959, *Physiologie et Physiopathologie du Timus*, Ed. Doin, Paris.
3. KENNY A. D., 1971, Endocrinology, **70**, 715.
4. MAC MANUS J. F., WHITEFIELD J. F., 1969, Exptl. Cell. Res., **58**, 188.
5. PERRIS A. D., WEISS L. A., WHITEFIELD J. F., 1970, J. Cell. Physiol., **76**, 141—150.
6. PORA A. E., TOMA V., 1969, Ann. d'endocrin. **30**, 4, 519—531.
7. — 1961, Studia Univ. Cluj S. biol., **2**, 235.
8. SHIBATA K., 1953, Gunma, J. Med., **2**, 273.
9. SPIRIN A. S., 1958, Biochimia, **25**, 5, 656—662.
10. TOMA V., PORA A. E., ABRAHAM A., 1971, Rev. roum. biol., s. Zool., **16**, 3, 185—188.
11. TOMA V., KIS Z., PORA A. E., 1965, Rev. roum., biol., s. Zool., **10**, 1, 53.
12. TÖRÖ I., AROS B., 1958, Acta Morphol. Hung., **8**, 151.
13. WHITEFIELD J. F., MACMANUS J. P., YOUNDALE T., FRANKS F. J., 1971, J. Cell. Physiol, **78**, 355—368.

Universitatea „Babeș-Bolyai”,  
Catedra de fiziologie animală  
Cluj, str. Clinicilor nr. 5—7

Primit în redacție la 14 martie 1973

## CONCENTRAȚIA UNOR COMPONENTE SANGUINE LA VACI CU PRODUCȚIA DE LAPTE DIFERITĂ

DE

N. STĂNCIOIU

The number of erythrocytes and leukocytes, the quantity of Hb, proteins and serum protein fractions, serum free amino acids, as well as mineral salts (Na, K, Cl, Ca) were determined in the blood of 60 cows of Brown breed having a different milk production; a diminution of the investigated components concentration was found in the cows with a larger milk production, in comparison with those having a smaller one.

Numeroase cercetări dovedesc modificarea concentrației componentelor sîngelui la animale în funcție de specie, sex, vîrstă și stare fiziologică (1), (4), (15), (16), (17). Printre acestea un loc însemnat îl ocupă cele referitoare la variația proteinemiei și a fracțiunilor proteice serice (2), (6), (8). Pe de altă parte, se cunoaște de asemenea că compoziția și proprietățile fizico-chimice ale sîngelui sînt influențate de condițiile mediului în care animalul trăiește (alimentație, întreținere, climă, felul și gradul de exploatare etc.) (12). Astfel la animalele care au primit în rație, mai mult timp, nutrețuri însilozate, analiza sîngelui a arătat o creștere a numărului de globule roșii și albe, a dimensiunii eritrocitelor, a cantității de Hb și o micșorare a rezervei alcaline (14).

Modificarea concentrației unor componente ale sîngelui în funcție de producția de lapte și corelarea cantitativă a componentelor sanguine cu cei ai laptelui au fost mai puțin studiate la bovine, cu toate că aceasta ar putea constitui un criteriu de selecție pentru ameliorarea raselor de animale. Pentru cîteva componente, cum ar fi proteinele, s-au făcut unele cercetări din care reiese variația concentrației lor în sînge pe toată perioada lactației (5), (7), (9), (13). Cercetări mai recente stabilesc o corelație cantitativă și calitativă între proteinele din sînge, lapte și zer (3).



În prezenta lucrare ne propunem să arătăm concentrația unor componente sanguine la vaci cu producția de lapte diferită.

#### MATERIAL ȘI METODĂ

Cercetările au fost efectuate pe un număr de 60 de vaci de rasă Brună, în vîrstă de 4–6 ani, cu greutatea corporală de 500–600 kg, furajate și întreținute în aceleași condiții de fermă (I.C.C.P.T. Fundulea). Animalele se găseau în luna a doua după fătare, negestante și erau clinic sănătoase. Animalele au fost împărțite în două grupe care se deosebeau numai prin producția zilnică de lapte. Media producției zilnice de lapte era de 14,02 litri, cu limite 12,50–17,80 l, la vacile din grupa I și de 8,07 litri, cu limite 7,20–13,50 l, la cele din grupa a II-a. De la animalele de experiență se recolta sînge din vena jugulară și apoi se determinau cantitativ următoarele componente: globulele roșii și albe (leucograma), hemoglobina, proteina totală și fracțiunile proteice serice, aminoacizii liberi și unele săruri minerale (Na, K, Cl, Ca). Numărul de globule roșii și albe s-a determinat cu hemocitometrul Bürker; cantitatea de hemoglobină cu hemoglobinometrul Gowers-Sahli; formula leucocitară după metoda May-Grünwald-Giemsa; cantitatea proteinelor totale după metoda Lowry cu reactiv Folin după tehnica lui Miller (11), iar fracțiunile proteice prin electroforeză în gel de agar. Concentrația aminoacizilor liberi din ser s-a determinat prin cromatografie ascendentă pe hîrtie, eluare și citire la spectrocrometru. Sărurile minerale au fost determinate prin metoda flamfotometrică.

#### REZULTATE ȘI DISCUȚII

În tabelul nr. 1 sînt redade rezultatele privind numărul de globule roșii, albe și cantitatea de Hb. Din tabel reiese că la vacile cu producția de lapte mai mare, numărul eritrocitelor era mai mic decît la cele cu producția de lapte scăzută. Aceeași corelație se poate observa și în ceea ce privește cantitatea de Hb. Din formula leucocitară (tabelul nr. 1) se poate constata o creștere semnificativă a procentului de neutrofile la vacile din grupa I față de cele din grupa a II-a și o scădere tot atît de evidentă a numărului de eozinofile. La celelalte categorii de celule nu se observă diferențe semnificative.

În tabelul nr. 2 sînt prezentate date referitoare la proteinemie și dinamica fracțiunilor proteice serice. Din același tabel se poate constata că nivelul proteinelor din sîngele celor două grupe de vaci nu diferă. Diferă însă procentul de albumine și globuline; la vacile cu producția de lapte mai mare se găsea în sînge mai multă albumină decît globuline, iar la cele cu producția mai mică de lapte raportul cantitativ al acestor componente este inversat. Comparînd procentul fracțiunilor globulinice la cele două grupe de animale, se constată diferențe semnificative importante, acestea probabil legate de procesul de eliminare prin lapte a unor componente sanguine mai mult decît a altora. Comparînd valorile medii găsite la dozarea sărurilor minerale (Na, K, Cl, Ca) se constată o ușoară scădere cantitativă a acestor săruri în sîngele vacilor cu producția de lapte mai mare (tabelul nr. 3).

O scădere a concentrației sărurilor minerale în sînge mai apare și ca rezultat al unei furajări necorespunzătoare, precum și alte cauze (10).

Nivelul mediu al concentrației aminoacizilor liberi din serul sîngelui, recoltat de la animalele luate în cercetare este redat în tabelul nr. 4.

Tabelul nr. 1

Numărul eritrocitelor, leucocitelor, cantitatea de Hb și formula leucocitară la vaci cu producția de lapte diferită (valori medii  $\bar{X}$ , deviația stand.  $s_x$ , semnif. statis. (P))

Grupa și nr. animale	Producția de lapte (media l/zi)	Eritrocite $10^6$	Hb g%	Leucocite $10^3$	Formula leucocitară				
					Li	Ne	Mo	Eo	Ba
I 30	14,02	5,73 ± 0,40	9,34 ± 0,70	7,94 ± 0,41	$\bar{X} \pm Sx$	$\bar{X} \pm Sx$	$\bar{X} \pm Sx$	$\bar{X} \pm Sx$	$\bar{X} \pm Sx$
II 30	8,07	6,10 ± 0,32	11,51 ± 0,65	8,20 ± 0,53	$\bar{X} \pm Sx$	$\bar{X} \pm Sx$	$\bar{X} \pm Sx$	$\bar{X} \pm Sx$	$\bar{X} \pm Sx$
P		<0,05	<0,01	N. S.	<0,05	<0,05	<0,05	<0,01	N.S.

Tabelul nr. 2

Proteinemia și fracțiunile proteice serice la vaci cu producția de lapte diferită (media în g% ml ser  $\bar{X}$ , deviația standard  $s_x$ , semnificația statistică P.)

Grupa și nr. animale	Producția de lapte (media l/zi)	Proteine (g %)	A %	G %	A/G	Globuline %		
						Alfa	Beta	Gamma
I 30	14,02	7,74 ± 0,75	56,0 ± 0,65	44,0 ± 0,85	1,30	$\bar{X} \pm Sx$	$\bar{X} \pm Sx$	$\bar{X} \pm Sx$
II 30	8,07	7,90 ± 0,88	42,16 ± 0,40	57,84 ± 0,62	0,72	$\bar{X} \pm Sx$	$\bar{X} \pm Sx$	$\bar{X} \pm Sx$
P		N.S.	<0,001	<0,001	—	<0,001	<0,001	<0,001



Tabelul nr. 3

Concentrația unor săruri minerale în serul sanguin la vaci cu producția de lapte diferită (media în mg % ml ser  $\bar{X}$ , deviația stand.  $s_{\bar{X}}$  și P.)

Grupa și nr. animale	Producția de lapte (media l/zi)	Săruri minerale			
		Na	K	Cl	Ca
		$\bar{X} \pm s_{\bar{X}}$	$\bar{X} \pm s_{\bar{X}}$	$\bar{X} \pm s_{\bar{X}}$	$\bar{X} \pm s_{\bar{X}}$
I 30	14,02	354,2 $\pm$ 2,5	22,11 $\pm$ 0,85	330,25 $\pm$ 3,3	10,33 $\pm$ 0,85
II 30	8,07	382,55 $\pm$ 3,20	25,50 $\pm$ 1,25	385,34 $\pm$ 5,11	15,48 $\pm$ 0,67
Semnif. statist. (P)		<0,01	<0,001	<0,001	<0,001

Cantitatea parțială și totală a aminoacizilor dozați este mai mică în sângele vacilor la care secreția de lapte este mai intensă (14,07 mg %) decât la cele cu producția de lapte mai mică (17,14 mg %).

## CONCLUZII

Din cercetările efectuate și din analizarea datelor obținute reiese următoarea concluzie: la vacile în lactație nivelul concentrației unor componente sanguine (eritrocite, leucocite, Hb, Na, K, Cl, Ca, proteine totale, fracțiuni proteice, aminoacizi liberi) este diferit, funcție de producția de lapte; la vacile cu producția de lapte mai mare, nivelul concentrației acestor componente este mai scăzut decât la cele cu producția de lapte mai mică.

(Avizat de dr. Dimitrie Popovici.)

Tabelul

Concentrația aminoacizilor liberi în serul sanguin la vaci cu pro

Grupa și nr. animale	Producția de lapte (media l/zi)	Amino								
		cistină și cisteină	lizină	arginină	histidină	ac. aspartic	glicină	serină	ac. glutamic	oxiprolină
I 30	14,02	0,88	1,08	1,08	0,45	0,62	1,13	0,67	0,79	0,32
		$\pm$	$\pm$	$\pm$	$\pm$	$\pm$	$\pm$	$\pm$	$\pm$	$\pm$
		0,08	0,09	0,06	0,08	0,05	0,08	0,12	0,35	0,07
II 30	8,07	0,75	1,15	1,32	0,75	0,80	0,93	1,25	1,15	0,74
		$\pm$	$\pm$	$\pm$	$\pm$	$\pm$	$\pm$	$\pm$	$\pm$	$\pm$
		0,07	0,06	0,06	0,05	0,08	0,07	0,04	0,35	0,10

# CORRÉLATION ENTRE LA PRODUCTION DE LAIT ET LA CONCENTRATION DE QUELQUES COMPOSANTS DU SANG DES VACHES

## RÉSUMÉ

On a déterminé dans le sang prélevé immédiatement après la traite à 60 vaches de race Brunë, nourries et entretenues dans les mêmes conditions, mais qui différaient pour la production de lait (Groupe I : 14,02 l/jour ; Groupe II : 7,07 l/jour), les suivantes quantités de composants : les globules rouges et blancs (formule leucocytaire), le Hb, les protéines et les fractions protéiques, les amino-acides libres et les sels minéraux (Na, K, Cl, Ca).

Les résultats obtenus montrent que le niveau de la concentration des composants étudiés se modifie de manière significative en fonction de la production de lait, comme suit : chez les vaches ayant une production de lait plus forte, le niveau de la concentration de ces composants a été plus bas que chez les vaches à production laitière plus faible.

On a observé des modifications quantitatives non significatives pour les protéines (7,74  $\pm$  0,75 g % et 7,90  $\pm$  0,88 g %), les lymphocytes, les monocytes et les basophiles.

nr. 4

ducția de lapte diferită (media în mg % ml ser  $\bar{X}$ , deviația stand.  $s_{\bar{X}}$ )

Aminoacizi									
treonină	alanină	prolină	tirozină	triptofan	metionină	valină	fenilalanină	leucină și izoleucină	total
0,49	1,28	0,25	1,08	0,35	1,02	0,75	0,69	1,14	14,07
$\pm$	$\pm$	$\pm$	$\pm$	$\pm$	$\pm$	$\pm$	$\pm$	$\pm$	
0,08	0,08	0,07	0,06	0,05	0,06	0,07	0,06	0,08	
0,90	1,40	0,55	1,32	0,62	1,10	0,69	0,85	1,07	17,14
$\pm$	$\pm$	$\pm$	$\pm$	$\pm$	$\pm$	$\pm$	$\pm$	$\pm$	
0,10	0,12	0,35	0,09	0,82	0,82	0,08	0,08	0,06	



## BIBLIOGRAFIE

1. ALEXANDROVA C. V., 1952, *Konevodstvo*, 11, 30.
2. HEIDLER W., KORIATH G., 1969, *Arch. Tierz.*, 12, 4, 311-318.
3. JURENCOVA G., POPOVICI D., RĂITARU M., 1967, *Lucr. St. I. C. Z.*, 25, 261-278.
4. KARAMANOVA E. P., NICOLAEVA G. N., 1969, *S-h. Biol.*, 5, 766-769.
5. KOEFOD J., 1963, *Acto. Vet. Scand.*, 4, 64-68.
6. KRASNOV V. M., 1969, *Elektroforeticheskie issledovania belkov kroviivotnih*, Ed. „Nauka” Alma-Ata.
7. LARSON R. L., KENDALL K. M., 1957, *Dairy Sci.*, 40, 6.
8. LABOUCHE C. I., 1964, *Rev. Elev. Med. Vet. Pais. Trop.*, 4.
9. MACHA J., MULLEROVA Z., 1969, *Acta Univ. Agric. Fac. agron., Brno*, 17, 2, 275-281.
10. MIHAI D., 1970, *Cercetări cu privire la hipomegnezemia rumegătoarelor* (teză de doctorat), Facultatea de medicină veterinară București.
11. MILLER G. L., 1959, *Anal. chem.*, 31, 5, 968.
12. POLL E. și colab., 1963, *Lucr. St., I. A. N. B., seria C*, 6, 453-458.
13. REDKIN I. P., 1969, *Molocinoe, Miasnoe Scotovdstvo U. R. S. S.*, 18, 84-87.
14. STÂNCIOIU N., 1956, *Rev. Probl. zoot. și vet.*, 3, 73-75.
15. TELUPILOVE O. și colab., 1958, *Pflugers Arch.*, 266, 473.
16. TUDORAȘCU R., DUMITRESCU I., BURCEA A., 1971, *Lucr., Șt., I. A. N. B., seria D*, 14, 111-117.
17. VARACHIU N. și colab., 1960, *Lucr. Șt. I. A. N. B., seria C*, 4, 163-185.

Facultatea de medicină veterinară  
Laboratorul de fiziologie  
București 34, Splaiul Independenței 105

Primit în redacție la 26 februarie 1973.

## ABERAȚII CROMOZOMIALE INDUSE CU RAZE X (200 r, 400 r și 600 r) LA IEPURE

DE

ST. OPRESCU și OLGA CONSTANTINESCU

X-rays induced chromosome aberrations in rabbit display specific particularities. Their frequency increases with increasing dose, for all the types, being however lower at 48 hours after irradiation as compared to 24 hours, which indicates the recovery in time. At the 600 r dose, in addition to the generally observed aberrations, as dicentric chromosomes, deletions, non-specific chromosomes, gaps, a markedly higher frequency of exchange and interchange translocations was found. At the doses used, the induced chromosome aberrations are preponderantly ascribed to the m and sm groups of the karyotype.

În 1904, Bergonie și Tribondeau (1) au efectuat primele observații asupra leziunilor cromozomiale provocate prin iradiere unor mamifere. Dar în acel timp, cât și ulterior în prima jumătate a secolului al XX-lea, calitatea lucrărilor efectuate în acest domeniu a lăsat mult de dorit datorită existenței unor tehnici de evidențiere a cromozomilor lipsite de precizie. Din acest motiv analiza unor astfel de lucrări este posibilă actualmente numai de pe pozițiile oferite de un anumit grad de circumspecțiune.

Dacă se adaugă la aceasta faptul că literatura de specialitate are lacune privind cercetările experimentale asupra modificărilor de cariotip induse de diferite surse de radiații sau agenți chimici mutageni, și la un mamifer ca iepurele, vom înțelege și mai bine utilitatea investigațiilor într-un câmp vast de acțiune oferit de această specie.

Ținând seama de aceste considerații, scopul cercetărilor efectuate și ale căror rezultate le analizăm în prezenta lucrare a fost acela de a afla care sînt modificările ce afectează cromozomii în mitoză sub influența iradierii cu raze X la iepure și cum se manifestă în timp acțiunea acestui puternic agent mutagen.



## MATERIAL ȘI METODE

Pentru cercetări am utilizat un număr de 38 iepuri din rasa Chinchilla în vîrstă de 1-2 zile, din care 3 au format grupa de control (neiradiată) iar restul au fost iradiati diferențiat cu raze X în doze unice totale de 200 r, 400 r și 600 r. Animalele iradiate au constituit 9 grupe experimentale, după cum acestea au fost sacrificate la 8 ore, 24 ore și 48 ore după iradiere.

Iradierea s-a efectuat la Laboratorul de radiologie al Centrului de radiobiologie și biologie moleculară din București, la un aparat de raze X- TUR 250 cu următorii indici tehnici: kV—200; mA—15; filtru 0,5 mmCu + 0,5 mm Al; distanța focus animal—65 cm; debit r/minut—40 r; timp de iradiere—5' pentru doza de 200 r.

Preparatele cariologice s-au obținut din măduva osului femural după metoda preconizată de Nichols și colab. (1965) (3). Colchicina s-a administrat în cantitate de 0,3 mg la 50g greutate corporală și a fost injectată în soluție intraperitoneal. Animalele au fost sacrificate la 50' după acest tratament.

Colorarea preparatelor s-a efectuat cu Giemsa, și au fost analizate la microscopul fonic un număr de 2 654 celule aflate în metafaza diviziunii mitotice.

## REZULTATE ȘI DISCUȚII

Analizînd distribuția în timp a numărului de metafaze aberante (în procente față de numărul de celule analizate de la fiecare animal) la loturile iradiate comparativ cu lotul de control (tabelul nr. 1), se constată la acest mamifer o serie de particularități interesante din punct de vedere radiocitogenetic.

Tabelul nr. 1

Distribuția în timp a celulelor aberante

Loturile	Timp după iradiere	Celule analizate %	Din care aberante %
			$\bar{X} \pm Sx$
Control	—	100	$2,9 \pm 1,553$
200 r	18 ore	100	$7,6 \pm 1,982$
	24 ore	100	$12,0 \pm 1,020$
	48 ore	100	$5,0 \pm 1,779$
400 r	18 ore	100	$18,6 \pm 2,840$
	24 ore	100	$27,3 \pm 1,180$
	48 ore	100	$9,5 \pm 1,982$
600 r	18 ore	100	$21,0 \pm 2,857$
	24 ore	100	$35,8 \pm 9,181$
	48 ore	100	$13,0 \pm 1,606$

Iradiate cu :

Astfel dacă la lotul de control s-a evidențiat un număr de  $2,9\% \pm 1,5$  metafaze aberante, se ajunge ca animalele iradiate și sacrificate la 24 ore după iradiere să posede la doza de 200 r  $12,0\% \pm 1,0$  metafaze aberante, la 400 r  $27,3\% \pm 1,1$ , iar la 600 r  $35,8 \pm 9,1$  metafaze aberante.

Se constată deci creșterea numărului de celule aberante odată cu creșterea dozei de iradiere. Același lucru este valabil și pentru animalele sacrificate la 18 ore sau la 48 ore după iradiere.

Merită de asemenea relevat că numărul de metafaze aberante este inferior atât la 18 ore, cît și la 48 ore celui observat la 24 ore după iradiere. Aceasta probează că la 24 ore după iradiere are loc cea mai crescută radiosensibilitate mitotică. Adăugăm la aceasta că numărul de metafaze aberante este totuși mai scăzut la 48 ore după iradiere comparativ cu 18 ore după iradiere ceea ce arată pe de o parte că înainte de 24 ore după iradiere se produce în nucleii celulelor somatice un intens proces de tulburări cromozomiale, proces în continuă creștere și care atinge maximum de intensitate la 24 de ore, iar pe de altă parte că după acest interval avem de-a face cu un proces de refacere a leziunilor cromozomiale.

În cercetările întreprinse de B o c i a r o v și S a v i t k i i (1965) (2) la șoareci, s-a constatat la animalele nou-născute, ca și la cele în vîrstă de 10 luni, că numărul de anafaze cu dereglări cromozomiale induse cu doza de 100 r raze X atinge în primul caz la 6 ore după iradiere  $34,0\%$ , la 12 ore  $36,0\%$ , la 24 ore  $23,8\%$ , iar în cazul al 2-lea respectiv  $35,0\%$ ,  $39,2\%$  și  $25,8\%$ . Este astfel evident că la aceste animale se obține un prag maxim de activitate radiomitotică la 12 ore după iradiere, după care numărul anafazelor aberante descrește.

În studiul cromozomilor policentrici induși cu raze X în celulele gigantice de hamster chinezesc *in vitro*, C. K. Y u (1966) (4) a observat de asemenea că numărul dicentricilor în cazul dozelor de 250 r și 1000 r crește numeric (6—32) de la 14 ore după iradiere, atinge un maximum la 26 ore după iradiere (20—80), ca apoi treptat să scadă (1—8) către 146 ore după iradiere.

Datele obținute de noi, cît și cele exemplificate mai sus, arată că la mamifere atât *in vivo*, cît și *in vitro*, apar în radiosensibilitatea celulelor somatice modificări specifice pendinte de timpul scurs de la supunerea acestora iradierii.

Deci radiosensibilitatea citogenetică depinde de doza de iradiere, cît și de timpul scurs după iradiere, ea fiind variată la diferite specii de animale.

Analiza detaliată a distribuției în timp a tipurilor de aberații cromozomiale (în procente față de total metafaze analizate) (tabelul nr. 2) indică de asemenea unele aspecte interesante de semnalat.

Dacă la lotul de control se remarcă un număr redus de breaks-uri, dicentrice, aneuploidii și cromozomi nonspecifici, la loturile iradiate întîlnim o mare diversitate de aberații al căror număr crește în raport direct cu doza de iradiere utilizată. Astfel la aceste animale întîlnim frecvent translocatii, poliploidii și cromozomi satelitați, neobservați la lotul de control și de asemenea breaks-uri, dicentrice și cromozomi nonspecifici. Breaks-urile sînt simple cînd rupturile se produc la o singură cromatidă, sau isolocus cînd leziunile provocate de radiații afectează ambele cromatide în aceeași regiune a brațului. Breaks-urile simple sînt mai numeroase ca cele isolocus.



Translocațiile întâlnite sînt de asemenea de tipul simplu cînd se produc între 2 cromozomi învecinați, sau de tipul multiplu cînd acestea se grupează sau se înlanțuiesc. Translocațiile simple sînt de asemenea într-un număr mai mare ca cele în grup.

Dintre tipurile de aberații studiate, ca frecvență, se situează pe primul loc translocațiile, după care urmează în ordine descrescîndă cromozomii nonspecifici, dicentricii, breaks-urile, poliploidii, aneuploidii și cromozomii satelitați.

Atrage atenția faptul că numărul de aberații cromozomiale din toate tipurile observate la loturile iradiate, cu excepția translocațiilor, sînt mai numeroase la 24 de ore după iradiere decît la 18 ore sau 48 ore după iradiere, ceea ce dealtfel concordă și cu numărul de metafaze aberante mai crescut la 24 de ore după iradiere și mai scăzut la celelalte intervale.

Cele mai multe translocații, în special la dozele de 400 r și 600 r la 18 ore după iradiere, au fost evidențiate în metafazele timpurii, cromozomii avînd brațele foarte lungi. Translocațiile constituite în mitoză sînt din cele exchanges și interchanges, dispoziția lor fiind poliradiară (tri-, tetra-, hexa- etc.).

Cîte un caz de endoreduplicare cromozomială a fost observat la 24 ore după iradiere la dozele de 400 r și 600 r.

La doza de 600 r, la 24 ore după iradiere, au fost de asemenea întâlnite 6 perechi de cromozomi ce au dat cîte 2 translocații identice formate fiecare din 3 perechi de izomorfe ca și cîteva cazuri de ringcromozomi. Aneuploidii au fost constituite din seturi de cromozomi al căror număr a variat între 35 și 43, iar poliploidii din foarte puține metafaze 3 n și un număr mult crescut de metafaze 4 n.

În cercetările efectuate, un aspect interesant ne-a fost relevat analizînd numărul de aberații dispuse pe perechile de cromozomi, raportat la cele 4 grupe ale cariotipului normal de iepure după modelul elaborat de Nichols și colab. (1965) (3) și care are criteriile: localizarea centromerilor și dimensiunile cromozomilor.

Astfel noi am constatat că tipurile de aberații predomină la grupa m cu centromerii mediani și la grupa sm cu centromerii submediani, comparativ cu grupele st și t cu centromerii subterminali.

## CONCLUZII

1. Tipurile de aberații cromozomiale mitotice induse cu raze X la iepure prezintă particularități de manifestare proprii acestei specii.
2. Incidența în timp a aberațiilor cromozomiale atinge valori maxime la 24 ore după iradiere comparativ cu intervalele 18 și 48 ore după iradiere.
3. Translocațiile de diverse tipuri au o prezență evident semnificativă numai la dozele de 400 r și 600 r.
4. Aberațiile cromozomiale induse apar cu o frecvență descrescîndă de la grupa m la st, fiind preponderente la grupa m și sm din cariotip.

(Avizat de dr. C. Maximilian.)

Tabelul nr. 2

Distribuția în timp a tipurilor de aberații cromozomiale  $\left( \frac{\text{nr.}}{\%} \right)$

Loturile	Timp după iradiere	Breaks-uri		Dicentrici	Translocații		Aneuploidie	Poliploidie		Sateliți	Cromoz. nonspecifici
		simple	isolocus		simple	multiple		3 n	4 n		
Control	—	3 (1,5)	1 (0,5)	8 (4,0)	—	—	4 (2,0)	—	—	—	5 (2,5)
200 r	18 ore	—	—	3 (0,6)	6 (1,2)	2 (0,4)	1 (0,2)	—	3 (0,6)	1 (0,2)	11 (2,2)
	24 ore	—	1 (0,9)	5 (4,5)	5 (4,5)	1 (0,9)	1 (0,9)	—	—	1 (0,9)	6 (5,4)
	48 ore	—	—	3 (1,5)	2 (1,0)	2 (1,0)	—	—	3 (1,5)	—	7 (3,5)
400 r	18 ore	3 (1,2)	1 (0,4)	1 (0,4)	31 (12,4)	12 (4,8)	2 (0,8)	—	6 (2,4)	1 (0,4)	18 (7,2)
	24 ore	8 (2,6)	1 (0,3)	8 (2,6)	29 (9,6)	10 (3,3)	5 (1,6)	1 (0,3)	9 (3,0)	2 (0,6)	30 (10,0)
	48 ore	8 (3,2)	2 (0,8)	2 (0,8)	2 (0,8)	1 (0,4)	2 (0,8)	—	2 (0,8)	—	13 (5,2)
600 r	18 ore	1 (0,2)	3 (0,7)	3 (0,7)	43 (8,8)	22 (5,0)	5 (1,2)	—	2 (0,4)	—	15 (3,5)
	24 ore	14 (3,4)	2 (0,4)	20 (4,8)	29 (7,0)	22 (5,3)	7 (1,7)	2 (0,4)	14 (3,4)	—	39 (9,5)
	48 ore	2 (2,0)	—	3 (3,6)	5 (5,0)	1 (1,0)	1 (1,0)	—	2 (2,0)	—	10 (10,0)

Iradiate cu :



# X-RAYS INDUCED CHROMOSOME ABERRATIONS IN RABBITS WITH 200 r, 400 r AND 600 r DOSES

## SUMMARY

38 Chinchilla 1–2-day-old rabbits were used in this study, among which 3 were controls and the remaining 35 were irradiated with different X-rays doses. Karyological preparations were obtained by the method of W. Nichols and A. Levan (1965). Animals were killed 18, 24 and 48 hours after irradiation, and 2654 metaphase plates were examined.

The X-rays induced chromosome aberrations show some characteristic features. Their proportion, irrespective of their type, increases with increasing dose and is greater at 24 hours after irradiation as compared to that at 48 hours, because of the recovery process which proceeds. At the 600 r dose, besides the aberration types generally observed (breaks, dicentric, deletions, unspecific chromosomes and so on), a higher frequency of exchange and interchange type translocations may be seen. Irrespective of the utilized dose, the chromosome aberrations are mainly induced in the m and sm groups of the karyotype.

## BIBLIOGRAFIE

1. BERGONIE J., TRIBONDEAU L., 1904, Compt. Rend. Soc. Biol., **57**, 592–595.
2. BOCIAROV U., SAVITKII V., 1965, Izvest. A. N. Kazah. S. S. R., Ser. Biol. Nauk, **2**, 96–99.
3. NICHOLS W., LEVAN A., MELANDER E., MELANDER I., 1965, Hereditas, **53**, 1–2, 63–76.
4. YU C., 1966, Chromosoma (Berl.), **18**, 60–69.

*Stațiunea centrală de cercelări pentru  
creșterea porcinelor, Periș-Ilfov  
și  
Institutul de științe biologice  
București 17, str. Splaiul Independenței nr. 296*

Primit în redacție la 26 martie 1973

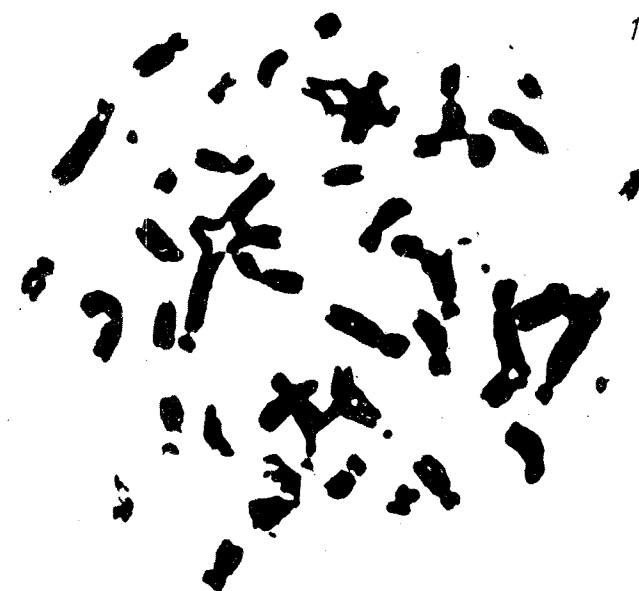


Fig. 1. — Translocații provenite în urma iradierii cu doza de 600 r.  
90×10.

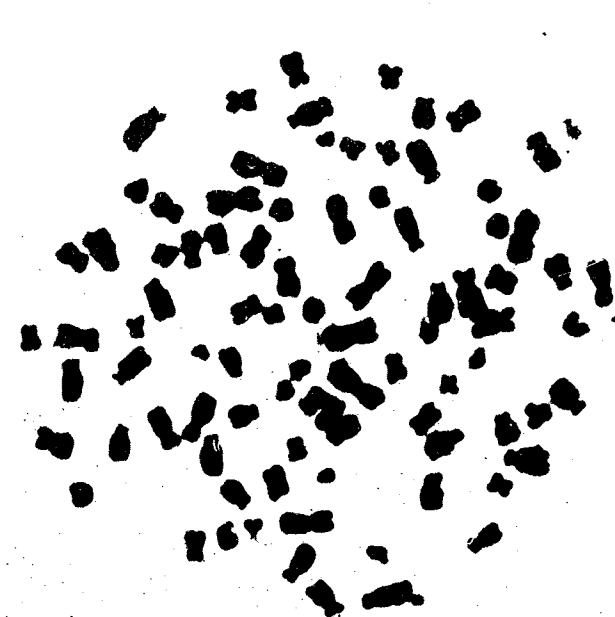


Fig. 2. — Celulă 4 n în metafază — la 600 r. 60×10.





Fig. 3. — Cromozom dicentric provenit în urma iradierii cu doza de 600 r.  
90 × 10.

## GRADUL DE INFESTARE A TRIFOIULUI ROȘU (*TRIFOLIUM PRATENSE* L.) DE CĂTRE SPECII DE CURCULIONIDE

DE

T. PERJU și M. SAVATTI

Under the characteristic conditions of Transylvania the seed cultures of red clover are damaged by the weevils; *Apion trifolii* L., *A. apricans* Hrbst., *A. assimile*, *A. varipes*, *Miccotrogus picirostris*, *Hypera meles*, *H. nigrirostris*, *Sitona sulcifrons*, *S. suturalis*, *S. hispidulus*. The predominant species of weevils are *Apion trifolii* and *A. apricans*; the first is appearing in a percentage of 57.1 % and the second one in a percentage of 42.9 %. These two species are damaging on the average 40 % of the production of the seed cultures.

Trifoiul roșu, cultivat mai ales pentru sămânță, este atacat de gărgărițe aparținând genurilor *Apion*, *Miccotrogus* și *Hypera*, precum și de viespea semințelor (*Eurytoma platyptera* Walk.) (= *Bruchophagus gibbus* Boh.):

În literatura străină au fost publicate numeroase lucrări tratând sistematica (4), (5), (8), (11), (12), (18), (21), (24), (25), bioecologia (2), (10), (13), (15), (16), (17), (19), (22), (23), (26), (27), (29), (30) și măsurile de combatere a speciilor dăunătoare de *Apion* (3), (14), (20), (28).

În țara noastră Andreescu (1) a stabilit că în Moldova *Apion trifolii* L. (= *aestivum* Germ.) și *A. apricans* se găsesc într-un raport favorabil primei specii la Iași și într-un raport de egalitate la Bîrlad. Hrisa fi (6), (7), urmărind biologia acestor specii în condițiile din Transilvania, susține că specia dominantă este *Apion apricans*.

Întrucît în literatura noastră de specialitate lipsește o lucrare care să trateze complexul speciilor de curculionide dăunătoare culturilor semincere de trifoi, apare necesară clarificarea raportului între speciile dominante de *Apion*, precum și importanța pe care acestea o prezintă.



Cercetările s-au efectuat între 1956 și 1968 pe terenurile Bazei experimentale a Institutului agronomic din Cluj; unele probe au fost colectate și din alte regiuni.

#### MATERIAL ȘI METODĂ DE LUCRU

Probe medii de cite 100 capitule de trifoi roșu au fost colectate decadal, pe întreaga perioadă de vegetație a plantelor. Capitulele recoltate, având florile trecute, au fost păstrate în borcane acoperite cu pinză dublă de tifon. La data recoltării capitulelor majoritatea larvelor s-au aflat la completa lor dezvoltare sau transformate în pupe. Desăvârșindu-și dezvoltarea, insectele au apărut în captivitate, iar după colectarea și determinarea lor s-a stabilit o evidență numerică și procentuală pe specii. S-au întocmit astfel tabele și grafice privind raportul numeric și procentual între diferitele specii dăunătoare, precum și pentru speciile parazite ale acestora. Pe baza numărului de insecte dăunătoare — în primul rând a speciilor de *Apion* — apărute la proba medie de 100 capitule florale s-au făcut aprecieri asupra gradului de infestare a culturilor seminare de către diferitele specii flori- și seminifage.

#### REZULTATE

Datele cu privire la componența speciilor de curculionide, precum și la gradul de infestare a capitulelor florale de către diferitele specii flori și seminifage sînt prezentate în tabelul nr. 1 și în figurile 1, 2, 3, 4 și 5.

Tabelul nr. 1

Curculionide apărute din probe de capitule florale de trifoi roșu cultivat (*Trifolium pratense* L.), Cluj, 1966–1968

	Numărul de exemplare			Total exemplare	
	1966	1967	1968	număr	procent mediu
<i>Apion trifolii</i> L.	167	579	562	1 308	53,4
<i>Apion apricans</i> Hrbst.	95	468	527	1 090	44,8
<i>Apion assimile</i> Kirb.	8	—	12	20	0,8
<i>Apion varipes</i> Germ.	—	—	1	1	0,0
Total <i>Apion</i> sp.	270	1 047	1 102	2 419	99,3
<i>Miccotrogus picirostris</i>	—	—	1	1	0,0
<i>Hypera</i> sp.	—	—	6	6	0,3
<i>Sitona</i> sp.	2	4	6	12	0,4
Total curculionide	272	1 051	1 115	2 438	99,9

Din datele prezentate în tabel rezultă că principalele specii de curculionide care se dezvoltă pe seama florilor și a semințelor în formare aparțin genului *Apion*. Sporadic au apărut și exemplare din *Miccotrogus picirostris*, *Hypera* (= *Phytonomus*) *meles* și *H. nigrirostris*, precum și *Sitona sulcifrons*, *S. suturalis* și *S. hispidulus*, adulții speciilor din ultimele două genuri

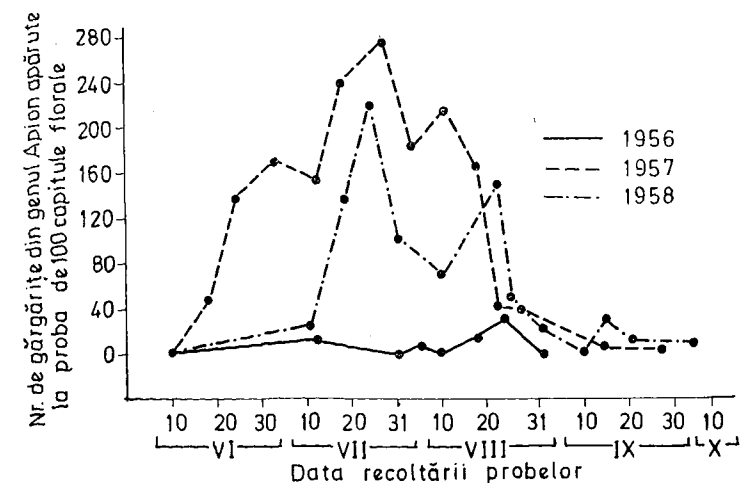


Fig. 1. — Apariția speciilor de *Apion* din capitulele florale de trifoi roșu, recoltate la diferite date (1956–1958).

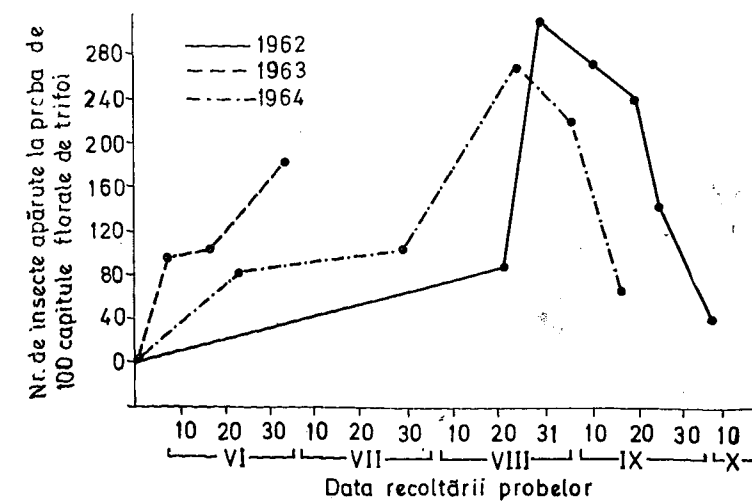


Fig. 2. — Apariția speciilor de *Apion* din capitulele florale de trifoi roșu, recoltate la diferite date (1962–1964).



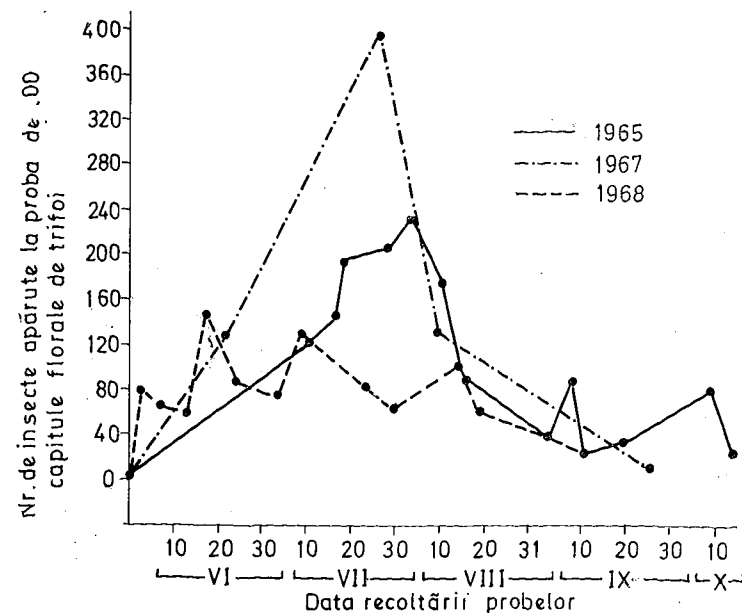


Fig. 3. — Apariția speciilor de *Apion* din capitulele florale de trifoi roșu, recoltate la diferite date (1965 — 1968).

hrănindu-se pe seama aparatului foliar. Ca dăunătoare tulpinilor (larvele fiind miniere) au apărut și câteva exemplare din *Apion seniculus*.

Din datele prezentate în figurile 1, 2 și 3 rezultă că, în capitulele colectate în diferiți ani și la date calendaristice diferite, s-au dezvoltat specii aparținând genului *Apion*, dintre acestea doar *A. trifolii* L. și *A. apricans* Hrbst. au prezentat importanță practică; *A. assimile* Kirb. și *A. varipes* Germ., prin numărul relativ redus de exemplare în care au apărut, reprezintă dăunători nesemnificativi din punct de vedere economic.

Raportul procentual al adulților din noua generație aparținând primelor două specii, în toți anii și în marea majoritate a probelor, a fost favorabil speciei *A. trifolii* L. în cazul recoltării probelor la date diferite și aproximativ într-un raport egal, în cazul colectării lor în cursul lunii august, înainte de recoltarea trifoiului semincer. În cazul recoltării probelor în primele luni de apariție a adulților din noua generație — iunie, iulie — raportul a fost în favoarea speciei *A. apricans* L., iar în ultimele luni — septembrie și octombrie — când și numărul global al ambelor specii se reduce în mod simțitor, raportul a fost în favoarea speciei *A. trifolii* Hrbst. Datele acestea confirmă faptul subliniat și de către Bertran (2) după care ciclul biologic al speciei *A. apricans* Hrbst. începe cu 10—15 zile mai devreme decât al speciei *A. trifolii* L. Pe de altă parte, datele conduc la concluzia că biologia speciei *A. apricans* Hrbst. este mai legată de trifoiul roșu spontan, în timp ce biologia speciei *A. trifolii* L. este mai legată de trifoiul roșu cultivat.

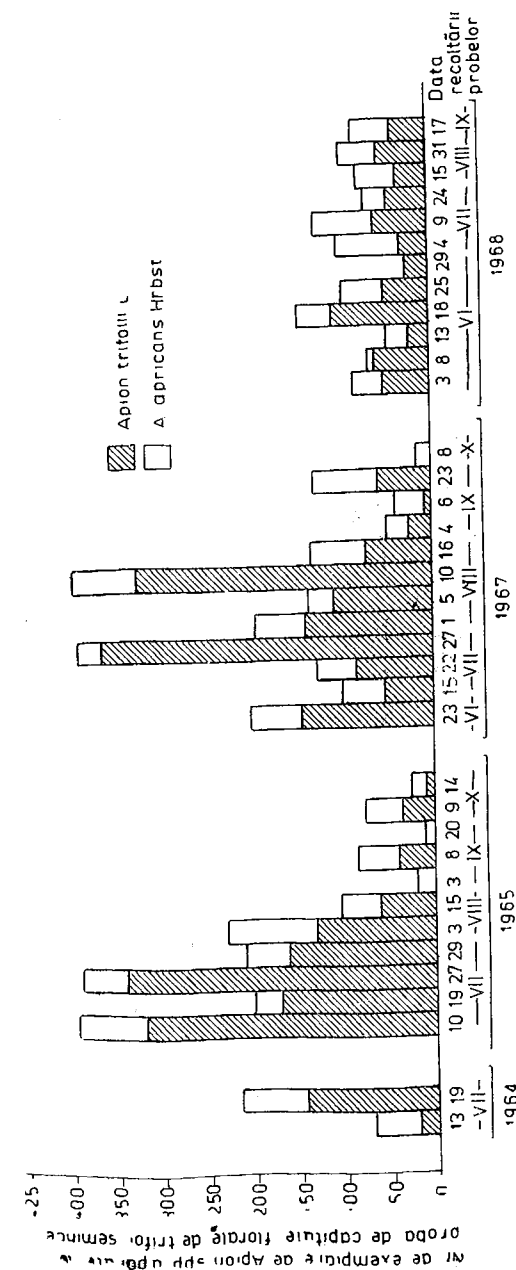


Fig. 4. — Raportul numeric între speciile dominante *Apion trifolii* L. și *A. apricans* Hrbst., apărute din probele de capitule florale de trifoi roșu, recoltate la diferite date (1964 — 1968).



Din datele prezentate în tabelul nr. 1 și figurile 4 și 5 mai rezultă că dezvoltarea larvelor de *Apion* și apariția adulților din noua generație au variat în funcție de an și de data la care au fost recoltate și analizate probele de capitule. Cel mai mare număr de insecte s-a obținut în 1967, când la o probă de 100 capitule au apărut peste 400 de gărgărițe (neluind în seamă și numărul de himenoptere parazite). Urmărind dinamica numărului

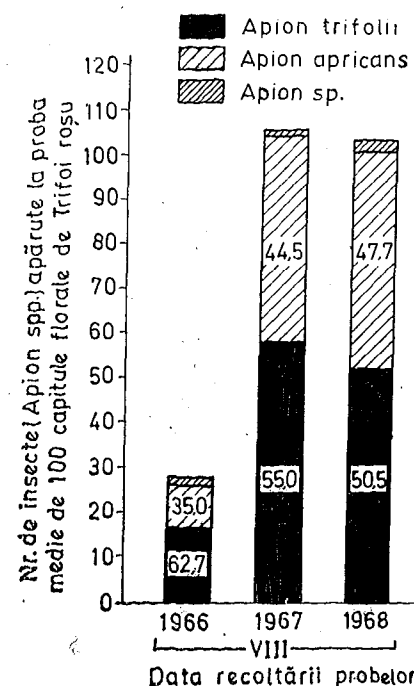


Fig. 5. — Raportul numeric și procentual între speciile dominante *Apion trifolii* L. și *A. apricans* Hrbst. apărute din probele de capitule florale de trifoi roșu, recoltate la diferite date (1964—1968).

de insecte care se dezvoltă în capitulele recoltate la date diferite se observă că anual se înregistrează un maxim de apariție în a doua jumătate a lunii iunie sau în prima jumătate a lunii iulie; în 1962—1964 acest maxim a fost decalat cu circa două săptămâni. În fiecare an s-a înregistrat o apariție eşalonată de insecte pînă către sfîrșitul lunii octombrie, acestea dezvoltîndu-se din ultimele depuneri de ouă ale insectelor întîrziate din generația hibernată.

**Aprecierea pagubelor cauzate.** Datele din literatură (2), (6), (9), (20) arată că pînă la completa dezvoltare, larva gărgăriței florilor (*Apion* ssp.) consumă 2 pînă la 20 de flori. Luînd ca bază de calcul numărul mediu de flori dintr-un capitul floral de trifoi și numărul mediu de flori consumate de o larvă pînă la completa sa dezvoltare, s-au făcut aprecieri cu privire la pagubele cauzate culturilor de trifoi roșu semincer de către gărgărițele florilor din genul *Apion*.

Din datele prezentate mai sus rezultă că între 1965 și 1968, procentul de distrugere al florilor de trifoi de către larvele gărgărițelor din genul *Apion* a variat de la 20—53%, putînd astfel considera că, în condiții de

neaplicare a măsurilor de combatere, larvele acestora distrug în medie 40% din flori, ceea ce reprezintă un procent aproximativ egal din producția de sămînță a culturilor semincere de trifoi roșu.

## CONCLUZII

1. Complexul de curculionide care se dezvoltă pe seama culturilor semincere de trifoi roșu este constituit din speciile: *Apion trifolii*, *A. apricans*, *A. assimile*, *A. varipes* și *Miccotrogus picirostris*, ale căror larve se comportă ca flori- și seminifage; *Hypera meles* și *H. nigrirostris*, ale căror larve sînt folifage și *Sitona sulcifrons*, *S. suturalis* și *S. hispidulus*, ale căror larve se dezvoltă pe seama sistemului radicular al plantelor.

2. Speciile dominante de curculionide, ale căror larve se comportă flori- și seminifage, sînt: *Apion trifolii* și *A. apricans*, care din totalul speciilor apărute din probele de capitule florale reprezintă 98,3%, respectiv 57,1% prima și 42,9% cea de-a doua specie.

3. Ciclul biologic al speciei *Apion apricans* începe mai timpuriu cu 10—15 zile decît al speciei *A. trifolii*, planta-gazdă principală pentru prima specie fiind trifoiul roșu spontan, iar pentru cea de-a doua specie, trifoiul roșu cultivat.

4. În condiții de neaplicare a măsurilor de combatere, larvele speciilor floricole și seminifage de *Apion* distrug în medie 40% din producția culturilor semincere.

(Avizat de prof. V. Gh. Radu.)

## LE DEGRÉ D'INFESTATION DU TRÈFLE ROUGE (*TRIFOLIUM PRATENSE*) PAR DES ESPÈCES DE CHARANÇONS.

### RÉSUMÉ

On a étudié pendant la période 1956—1968 le développement en captivité des insectes pris sur des capitules de trèfle rouge de semis, récolté à des dates différentes. Après avoir analysé toutes les données, on les a présentées dans un tableau centralisé et dans 5 figures. On a pu ainsi établir les charançons suivants qui se développent au dépens du trèfle rouge de semis: *Apion trifolii*, *A. apricans*, *A. assimile*, *A. varipes* et *Miccotrogus picirostris*, dont les larves se comportent comme des flori- et seminiphages; *Hypera meles* et *H. nigrirostris*, dont les larves sont foliphages et *Sitona sulcifrons*, *S. suturalis* et *S. hispidulus*, dont les larves se développent au dépens du système racinaire des plantes.

Les espèces dominantes de charançons sont: *Apion trifolii* dans une proportion de 57,1% et *A. apricans*, dans une proportion de 42,9%.

Si l'on n'applique pas à temps les mesures nécessaires à la destruction des larves des différents charançons appartenant au genre *Apion*, la production des cultures de semis est détruite dans une proportion de 40% en moyenne.



## BIBLIOGRAFIE

1. ANDRESCU ELENA, 1960, Lucr. științ. Inst. Agr. Iași, 407.
2. BERTRAN MADELAINE, JOURDHEUIL P., 1968, Ann. Epiphyties, **19**, 2, 365.
3. DANON M., 1958, Plant Protection, **49/50** 134.
4. DESEÖ KATALIN, 1965, Acta Zool. Acad. Sc. Hungaricae, **XI**, 3-4, 253.
5. FEDORKO J., 1965, Ann. Univ. Marie Curie-Skladowska, **20**, 5, 45.
6. HRISAFI CORNELIA, IONESCU MARIA, SIMIONESCU L., BORCAN I., 1960, Protecția plantelor în sprijinul agriculturii, București, Edit. agrosilvică **1**, 47.
7. HRISAFI CORNELIA, IONESCU MARIA, 1961, Probl. agr. **13**, 34.
8. HRISTOVA E., 1961, Zast. Zasht., **9**, 4, 53.
9. HROLINSKII G. L., 1965, Ent. obozr., **49**, 1, 117.
10. JANEZIC F., 1953, Plant Protection, **20**, 10.
11. KOKORIN A. N., 1964, The rev. app. ent., 1966, **54**, 10, 552.
12. — 1964, Trudi Vsesoiuzn. Inst. Zasciti Rast., **21**, 1, 89.
13. LEQUENNE J. M., 1963, Phytoma, **13**, 152, 21.
14. MANNINGER G. A., 1960, Wissenschaftliche Pflanzenschutz Konferenz, Budapest, 366.
15. MARKKULA M., MYLYMÄKI S., 1958, Ann. Entom. Fenn., **24**, 3, 124.
16. — 1962, Ann. Ent. Fenn., **28**, 24.
17. MIRANDA O. T., OLALQUIAGA F. G., 1965, The rev. app. ent., 1966, **54**, 8, 408.
18. OBRTTEL R., 1957, Rostlina vyroba, **3** (XXX), 5, 459.
19. OBRTTEL R., 1962, Rostlina vyroba, **8** (XXXV), 10, 1345.
20. SCERBINOVSKI N. S., 1939, Plant. Prot., **18**, 141.
21. SCHENKER P. W., FONTANNAZ A. P., 1947, Rev. Rom. Agric. Vitic. Arboric., **69**, 7, 82.
22. SERVADAI A., 1940, Redia, **26**, 177.
23. SKUHRAVY V. K., NOVAK K. P., STARY P., 1959, Rozpravy Ceskoslovenske Acad. Ved. Rada Matem. a prirod. ved., **69**, 7, 82.
24. SOLODOVNIKOVA S. V., 1963, Trudi Biolog. Fak. po genetike i zoologhii., Gosudarst. Univ. imena Gorkogo, **36**, 153, Harkov.
25. STEIN W., 1965, Z. für angew. Entomologie, **55**, 4, 389.
26. — 1967, Z. für angew. Entomologie, **60**, 1, 3; 2, 141.
27. SOLODOVNIKOVA S. N., 1965, Ent. obozr., **44**, 2, 335.
28. TANASIJEVIĆ N., 1960, Requeil des travaux de recherche de la Faculté Agronomique, Univ. de Belgrade, Yougoslavie, **8**, 269, 14.
29. TEOFILOVIĆ Z., TESIĆ T., SAVIĆ G., 1959, Plant Protection, **51**, 68.
30. WATERS D. N., 1964, J. Econ. Entomol., **57**, 6, 911.

Institutul agronomic  
Catedra de genetică, ameliorare și protecția  
plantelor  
Cluj, str. Mănăștur nr. 3

Primit în redacție la 15 februarie 1973

## STUDIUL COMPARATIV AL MOLECULELOR OMOLoAGE CU SECVENȚE CHIMICE CUNOSCUȚE

DE

C. PORTELLI

In order to facilitate a comparison between the sequences of certain homologous polypeptides (the cytochromes c), the method replacing amino acids by numerical values corresponding to their chemical complexity was used. Hence the plotting of homologous polypeptides and the application of mathematical calculi, as for instance the autocorrelating functions, became possible.

Moleculele omoloage au o structură chimică asemănătoare și îndeplinesc aceleași funcții în cadrul organismelor ce aparțin unor specii diferite.

Asupra moleculelor omoloage s-au făcut o serie de studii comparative cu scopul de a pune în evidență anumite direcții în evoluția lor. Astfel Dayhoff M. O. (1) a publicat un tabel al citocromilor c de la 21 specii diferite și a utilizat secvențele lor, de acizi aminați, cunoscute, pentru a deduce structura moleculelor ancestrale din care au rezultat, prin mutații și selecții naturale, citocromii c actuali. Ideea de bază a acestor studii a fost că, pornind de la structura a două molecule omoloage ce aparțin unor specii apropiate, se pot calcula parametrii unei molecule ancestrale din care ele au rezultat printr-un număr minim de mutații. Cu această metodă și utilizând un calculator, Dayhoff M. O. (1) a reușit să reconstituie structura ipotetică a citocromilor c ancestrali și să construiască un arbore filogenetic al evoluției moleculare, care coincide într-o mare măsură cu arborele filogenetic stabilit pe baza studiilor morfofuncționale clasice.

Zuckerlandl E., Derancourt J., Vogel H. (3) au căutat să evidențieze existența unor anumite tendințe în evoluția moleculară. Pentru aceasta ei au recurs tot la reconstituirea moleculelor ancestrale pornind de la moleculele omoloage actuale și au efectuat o serie de calcule







## REZULTATE

## 1. Reprezentarea grafică a polipeptidelor

Înlocuind fiecare acid aminat din secvențele polipeptidelor prin valori numerice corespunzătoare se pot reprezenta grafic diferitele molecule. Prezentăm graficele a 6 citocromi c proveniți de la 6 specii diferite (fig. 1).

Din studiul acestor reprezentări se observă că :

a. Graficele polipeptidelor omoloage pot fi aliniate unul sub altul, în așa fel încît să existe o corespondență a punctelor cu valori similare. Aceasta indică existența unor secvențe neevolutive, care s-au transmis ca atare la un mare număr de molecule omoloage. Constatări similare au fost făcute și de alți autori (Dayhoff M. O. (1)), dar prin reprezentarea grafică a citocromilor c faptele devin mai evidente.

b. Între citocromii c se stabilesc corespondențe mai ales pentru punctele cu valori maxime și minime. Valorile maxime corespund acizilor aminați cu mare complexitate chimică și cu rol funcțional important. Punctele cu valori minime sînt date de glicină. Prezența repetată a glicinei în pozițiile neevolutive pledează pentru importanța ei în orientarea suprafețelor moleculare ce intră în cuplaj.

c. În secvențele evolutive substituirile s-au făcut prin acizi aminați cu valori apropiate, deci cu asemănări de structură chimică.

d. Cele mai mari diferențe apar între citocromul c al bacteriilor comparativ cu citocromii c ai celorlalte specii. Explicația constă, probabil, în faptul că citocromul c este o moleculă care aparține metabolismului elementar. Metabolismul elementar s-a constituit în stadiile inițiale ale evoluției filogenetice și s-a transmis la toate speciile cu foarte puține modificări. Evoluția a început, la un moment dat, pe un nivel inferior și s-a continuat mai târziu pe un nivel superior. Nivelul de organizare, căruia îi aparține citocromul c, și-a terminat evoluția odată cu apariția celulelor. De aceea diferențele cele mai mari apar între citocromii c ai bacteriilor (sisteme rămase pe o treaptă de dezvoltare inferioară) și citocromii celorlalte specii mai evoluate.

## 2. Analiza matematică a polipeptidelor cu valori numerice substituite

Prin înlocuirea acizilor aminați din secvențe prin valori numerice se obține posibilitatea de a supune moleculele omoloage unor analize matematice.

Urmărind graficele citocromilor c se observă că zona secvențelor 68—85 prezintă cele mai importante modificări evolutive față de citocromul bacterian luat drept referință. De aceea, s-a ales această zonă pentru calcularea funcției de autocorelație la 4 citocromi : bacterian, de la *Fungus Neurospora*, de la grâu și de la om. Funcția de autocorelație s-a calculat după formula

$$F = \frac{1}{n} \sum_{i=68}^{i=85} (x_i \cdot x_{i+\tau}) \quad \tau = 1, 2 \dots 8$$

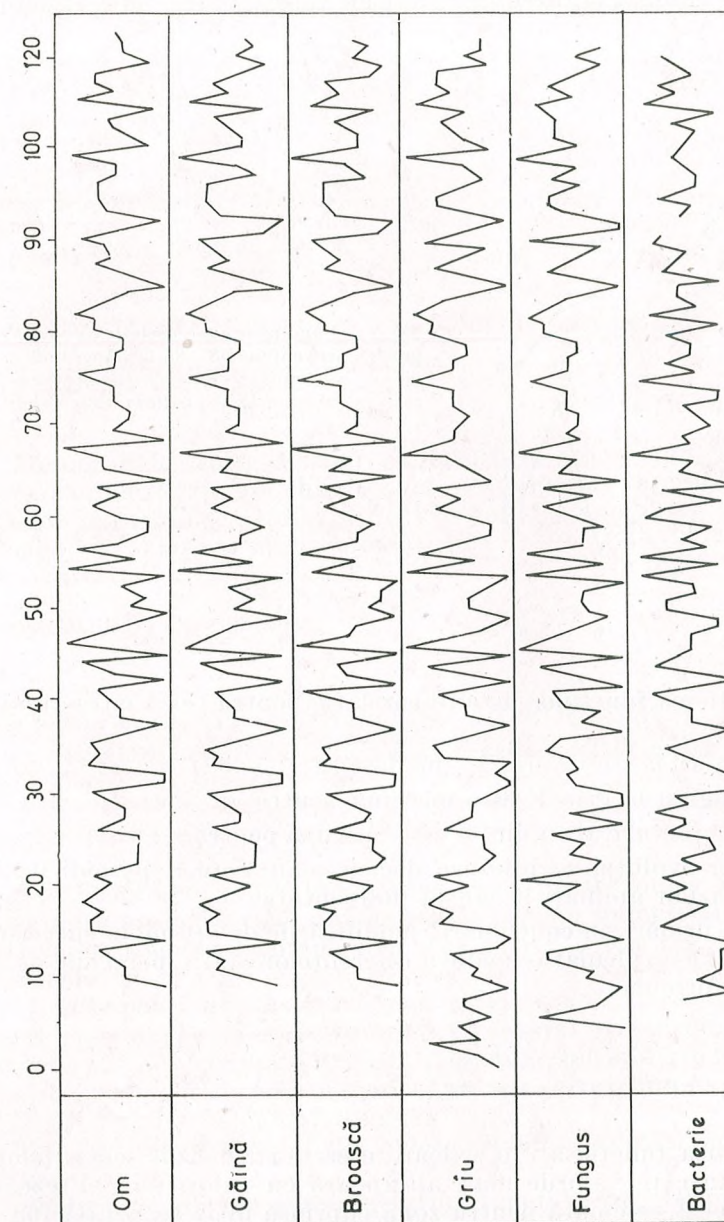


Fig. 1. — Graficele citocromilor c proveniți de la : om, găină, broască, fungi (*Fungus Neurospora*) și bacterii (*Rhodospirillum*). Cifrele de sus indică succesiunea secvențelor de acizi aminați (axa orizontală). Deplasările pe axa verticală corespund valorilor acordate fiecărui acid aminat conform tabelului nr. 1.



Funcția de autocorelație dă indicații dacă în aranjamentele secvențelor de acizi aminați intervine o anumită ordine, o periodicitate. Valorile lui  $\tau$  pentru care  $F$  este maximă reprezintă perioadele după care sînt aranjați acizii aminați. Prezentăm graficele lui  $F$  pentru cei 4 citocromi c (fig. 2).

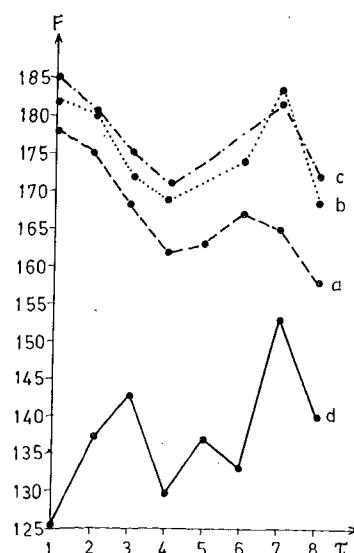


Fig. 2. — Funcția de autocorelație calculată pentru secvențele 68—85 la citocromii c de la: a. — om, b. — grâu, c. *Fungus Neurospora*, d. — *Rhodospirillum* (bacterie)

Din studierea funcțiilor de autocorelație pentru cei 4 citocromi c se observă că:

- la bacterii  $F$  are valori maxime pentru  $\tau: 3; 5; 7$ ;
- la fungi și la grâu  $F$  este maximă pentru  $\tau: 7$ ;
- la citocromul c al omului  $F$  este maximă pentru  $\tau: 6$ .

Odată cu evoluția se produce deci o schimbare a periodicității în succesiunea acizilor aminați în lanțul polipeptidic.

Pentru a urmări, în continuare, modificările de ordine în succesiunea acizilor aminați s-a calculat o medie a diferențelor dintre perechile de acizi aminați după formula:

$$E = \frac{1}{n} \sum_{i=68}^{i=85} (|x_i - x_{i+1}|).$$

O asemenea funcție are o valoare crescută în cazul secvențelor de acizi aminați în care valorile mari alternează cu valori mici. Prezentăm graficul funcției  $E$  calculată pentru zona cuprinsă între secvențele 68—85 la cei 4 citocromi mai sus menționați (fig. 3).

Rezultă că pentru zona studiată, la citocromul c bacterian există o alternanță de acizi aminați cu valori diferite, în timp ce pentru ceilalți citocromi această ordine inițială a fost înlocuită cu un aranjament de altă

natură impus de necesitatea unor corelări noi funcționale. Evoluția polipeptidelor omoloage s-a făcut nu numai prin schimbarea compoziției lor în aminoacizi, ci și prin modificarea ordinii aranjamentelor în secvențe.

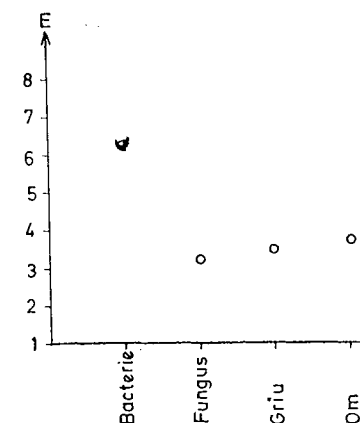


Fig. 3. — Graficul lui  $E = \frac{1}{n} \sum_{i=68}^{i=85} (|x_i - x_{i+1}|)$  de la 4 specii de citocromi c.

Metoda substituirii acizilor aminați prin valori numerice corespunzătoare complexității lor chimice dă posibilitatea înscrierilor grafice și analizelor matematice și este utilă în studiul comparativ al moleculelor omoloage cu secvențe chimice cunoscute.

(Avizat de dr. V. Săhleanu.)

## COMPARATIVE STUDY OF THE HOMOLOGOUS MOLECULES WHOSE CHEMICAL SEQUENCES ARE KNOWN

### SUMMARY

In the present work the sequences of cytochromes c from various species were used. To each amino acid a certain numerical value proportional to its chemical complexity was given. Then the following were performed:

#### 1. The plotting of the homologous polypeptides

A number of sequences common to several cytochromes appeared to exist from the comparisons effected with similar positions in the polypeptide chain; the same or similar numerical values correspond as a result of the replacing of amino acids according to Table 1.

#### 2. The calculation of the autocorrelating function according to the sequences 68—85

With bacteria the autocorrelating function has the maximum value for  $\tau = 3$ , while with the other cytochromes its maximum value is for  $\tau = 1$ . This means that in the bacterial cytochrome c the amino acids of high values alternate with those of small values, a phenomenon which disappears in the cytochromes of more developed species.



## BIBLIOGRAFIE

1. DAYHOFF M. O., 1969, Scientific American, **221**, 87.
2. MARGOLIASH E., FITCH W. M., 1971, *De la Physique théorique à la Biologie*. Ed. C. N. R. S., Paris.
3. ZUCKERANDL E., DERANCOURT J., VOGEL H., 1971, J. Mol. Biol., **59**, 473.

Facultatea de medicină,  
Catedra de biofizică  
București 35, Bd. Dr. Petru Groza nr. 8

Primit în redacție la 8 martie 1973

## CERCETĂRI PRIVIND REZIDUURILE UNOR INSECTICIDE ORGANOCOLORURATE LA FAZANI

DE

ȘTEFANIA FLORU, AL. POLIZU și L. MANOLACHE

Data are given on the BHC and DDT residues in various pheasant organs. The highest values were found in fat, and the lowest in meat. Fairly high residual values were also determined in the eggs. It was found that the values obtained during spring and autumn are slightly higher than those of the samples collected in summer.

Prezența în mediul înconjurător a diverse elemente de poluare face ca unele dintre ele să se regăsească în organismele vii ce trăiesc în zona contaminată. Un caz elocvent este cel al pesticidelor organoclorurate prezente aproape în toate organismele animale și vegetale. Aria lor de răspândire este atât de întinsă, încât prezența lor în diverse animale provenite din Antarctica a fost semnalată încă din 1966. Astfel W. J. L. S l a d e n și colab. (6) constată prezența DDT-ului și a doi metaboliți ai acestuia DDE și TDE în șase pinguini (*Pysoscelis adeliae*) și într-un exemplar de *Lobodon carcinophagus* proveniți din Antarctica. Alte lucrări (4), (7) constată de asemenea prezența acestor reziduuri în animale provenite din Antarctica, zonă care nu a venit niciodată în contact direct cu pesticidele. Explicația dată de toți cercetătorii cu privire la această contaminare este poluarea apei mărilor și a oceanelor cu pesticide. Cercetările întreprinse de C. H. W a l k e r și colab. (8) cu privire la reziduurile de insecticide organoclorurate în păsările sălbatice din Marea Britanie arată că reziduurile cele mai des întâlnite și în cantitatea cea mai mare sînt pp'-DDE-ului și Dieldrinului. J. B. D i m o n d și colab. (2) constată o dependență între numărul de tratamente aplicate într-o zonă și acumularea de pesticide organoclorurate în elementele de mediu dintr-un ecosistem. De asemenea constată prezența în elementele de mediu după 10 ani de la aplicarea



tratamentului a reziduurilor de preparate organoclorurate. R. D. Collins și colab. (1) semnalează în 1965 că în urma unor tratamente cu DDT într-o orezărie din California, mortalitatea fazanilor tineri de pînă la șase săptămîni a atins 46,6%. De asemenea procentul de pui infirmi a fost de 25% în această zonă. Nivelul reziduurilor de DDT în grăsimea fazanilor a fost cuprinsă între 0 — 2930 ppm cu o medie de 741,05 ppm, iar în altă locali-

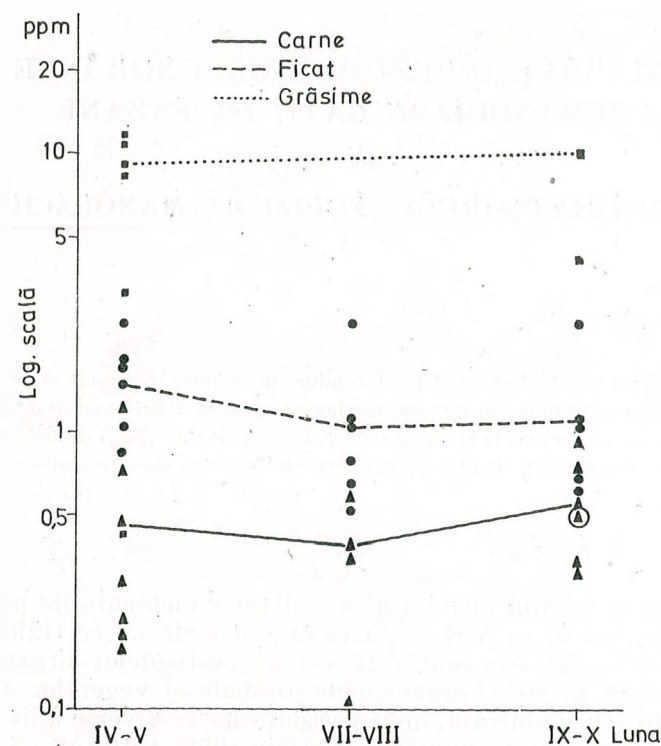


Fig. 1. — Conținutul total de reziduuri organoclorurate în carne, ficat și grăsime de fazan, în funcție de anotimp.

tate din California nivelul reziduurilor de DDT în grăsime a fost cuprins între 0,4—7,2 ppm cu o medie de 2,14 ppm. 56% din fazanii analizați au avut sub 10 ppm DDT, iar 15% peste 100 ppm.

Prezența reziduurilor de preparate organoclorurate în fauna sălbatică din țara noastră a fost semnalată în lucrările efectuate de A. I. Polizu și colab. (5)\*.

În lucrarea de față se prezintă cercetările efectuate în perioada 1970 — 1971 cu privire la conținutul de HCH și DDT în fazanii proveniți din diverse zone ale țării în care se aplică tratamente cu aceste preparate.

\* A. I. Polizu, Ștefania Floru și L. Manolache, 1971, *Reziduuri de pesticide în animale de interes cinegetic*, Conf. Naț. Chim. Agric.

a	DDT total mediu	Grăsi me				
		H C H		DDE	DDT	HCH total mediu
		α	γ			
	0,42					
	0,56					
		0,17 — 0,51	0,14 — 0,47	0,94 — 1,05	0,62 — 2,30	0,65
		0,05	0,06	0,25	0,08	0,11
	0,67					
	2,32					
	0,51	2,45	2,32	6,10	5,5	4,77
	0,51					
	2,08					
	0,82	1,11	0,66	2,43	7,1	1,77
	1,42					
	0,44					
	1,04					
	1,56					
	0,70	3,20	1,74	4,40	3,20	4,94
	0,86					
	1,30					
	0,16					
	2,19	0,45 — 0,57	0,52 — 0,67	1,96 — 2,11	0,80 — 1,03	1,10
		0,84	1,61	2,60	3,30	2,45
						5,90



## METODA DE LUCRU

În lucrare sînt prezentate rezultatele obținute în urma analizării a 57 de exemplare de fazani proveniți prin împușcare în pădurile din sudul țării. În vederea stabilirii repartiției pesticidelor pe diverse organe s-au analizat separat carnea, ficatul, grăsimea, organele genitale și ouăle. Probele au fost extrase cu hexan, iar aceste extrase purificate prin metoda lui M. J. De Faubert Maunder și colab. (3), care include diferența de repartitie dimetilformamidă — hexan urmată de trecerea printr-o coloană de alumină activată. Soluția rezultată a fost examinată apoi gaz — cromatografie la un cromatograf Varian 2100 echipat cu detector cu captură de electroni.

## REZULTATE ȘI DISCUȚII

Rezultatele obținute în carne, ficat și grăsimi sînt prezentate în tabelul nr. 1. Din datele prezentate rezultă că toate exemplarele examinate au prezentat în carne, ficat și grăsimi cantități variabile de HCH și DDT. În cîteva probe s-a detectat și izomerul  $\beta$ -HCH, valorile fiind cuprinse între 0,008 ppm și 0,2 ppm în carne, între 0,02 — 0,11 ppm în ficat și între 0,21 — 1,05 ppm în grăsime.

Valorile medii ale reziduurilor de HCH determinate în carne au fost cuprinse între 0,016—0,44 ppm, iar de DDT între 0,07 — 1,10 ppm. Cantitatea minimă de produse organoclorurate (HCH+DDT) determinată în carne a fost de 0,086 ppm, iar cantitatea maximă de 1,28 ppm.

În ficat valorile medii ale reziduurilor de HCH au variat între 0,05 — 0,39 ppm, iar pentru DDT valorile obținute sînt cuprinse între 0,16 — 2,32 ppm. Cantitățile totale de reziduuri organoclorurate au fost cuprinse între 0,50 și 2,51 ppm.

După cum era și de așteptat valorile reziduale cele mai mari s-au determinat în grăsimi. Valorile medii de HCH determinate în grăsimi au fost cuprinse între 0,11 și 4,94 ppm, iar de DDT între 0,33 și 11,15 ppm.

Valoarea minimă de reziduuri organoclorurate a fost de 0,44 ppm, iar cea maximă de 15,92 ppm.

În tabelul nr. 2 se prezintă date cu privire la prezența reziduurilor de HCH și DDT în organe genitale și în ouă.

Se constată de asemenea în toate probele analizate reziduuri de HCH și DDT. Se constată că reziduurile de HCH în organe genitale de fazani au variat între 0,05 — 0,38 ppm, iar cele de DDT între 0,27 — 1,39 pm.

S-au obținut valori foarte ridicate în ouăle fără coajă prelevate direct din abdomenul păsării sacrificate.

În toate cazurile analizate se constată prezența în cantitate mai mare a DDT-ului decît a HCH-ului.

În carne și organe genitale, dar în special în ficat se constată că DDE-ul este în cantitate mai mare decît DDT-ul. În unele cazuri în ficat apare numai metabolitul DDT-ului, DDE-ul. Acest lucru dovedește că în ficat are loc un proces mai rapid de metabolizare a DDT-ului.

Dintre țesuturile analizate cantitățile cele mai mari de HCH și DDT s-au determinat în grăsime, iar cele mai mici valori reziduale s-au găsit în carne.



Tabelul nr. 2

Reziduuri de HCH și DDT în organe genitale masculine și în ouă de fazani

ORGANE GENITALE MASCHULINE								
Proveniența	Data recoltării 1971	Nr. de indivizi	HCH		DDE	DDT	HCH total mediu	DDT total mediu
			$\alpha$	$\gamma$				
Ștefănești-Ilfov	iunie-iulie	3	0,06 0,19	0,04 0,18	0,32 0,33	0,05 0,06	0,24	0,39
Ștefănești-Ilfov	august	1	0,021	0,028	0,45	0,10	0,05	0,55
Ghimpați-Albele	aprilie	1	0,23	0,15	0,83	0,51	0,38	1,34
Perișoru	mai	3	0,07 0,15	0,05 0,12	0,27 1,26	0,09 0,5	0,19	0,85
Emineșcu	mai	3	0,05 0,09	0,03 0,07	0,71 0,93	0,31 0,81	0,16	1,39
Constanța	mai	2	0,08 0,16	0— 0,09	0,25 0,40	0,07 0,14	0,16	0,27
Găiești	mai	1	0,16	0,08	0,70	0,05	0,24	0,75

## OUĂ

Ștefănești-Ilfov	mai	probă medic	0,06	0,10	0,15	0,42	0,16	0,57
Ghimpați-Albele	mai	probă	0,046	0,074	0,25	0,29	0,12	0,54
Ghimpați-Albele	* aprilie	probă medic	1,15	0,60	2,61	8,72	1,75	11,33

\* Proba de ouă fără coajă luată direct din abdomenul păsării sacrificate.

Cantitățile de reziduuri constatate în carne se situează sub toleranțele admise în România, care sînt de 5 ppm DDT și 2 ppm Lindan.

## CONCLUZII

1. În toate probele analizate s-au determinat reziduuri de HCH și DDT.
2. Reziduurile de DDT apar în cantitate mai mare decît reziduurile de HCH.
3. Valorile reziduale cele mai mari s-au determinat în grăsime.

(Avizat de prof. C. Manolache.)

## STUDIES ON THE RESIDUES OF SOME ORGHANOCHLORINE INSECTICIDES IN PHEASANT

## SUMMARY

The paper deals about studies carried out between 1970—1971 on the amounts of BHC and DDT present in pheasants from various areas of the country where treatments with these products are applied. A number of 57 pheasants were shot and used for analysis. The meat, liver, fat, reproductive organs and eggs were analysed separately. The samples were extracted with hexane and the resulting extracts were purified by means of the method of M. J. de Faubert Maunder. The resulting solution was then examined gas-chromatographically.

The results are presented in two tables and a graph.

DDE, the metabolite of DDT, was also determined, in some cases being present in higher amounts than DDT. The highest rate of metabolism was determined in the liver.

BHC and DDT residues were determined in all samples analysed, but DDT residues were determined in higher amounts than BHC residues.

The highest residual values were determined in fat.

## BIBLIOGRAFIE

1. COLLINS R. D., BISCHOFF A. J., 1965, Outdoor California **26**, 10, 12—13.
2. DIMOND J. B., GETCHELL A. S., BLEASE J. A., 1971, J. Fish. Res. Board Canada, **28**, 12, 1877—1882.
3. DE FAUBERT MAUNDER M. J., et al., 1964, Analyst (Lond.) **89**, 168.
4. GEORGE J. L., FREAR D. E. H., 1966, J. Appl. Ecol., (suppl) **155**.
5. POLIZU AL., FLORU ȘTEFANIA, MANOLACHE L., 1971, Natura, **4**, 51.
6. SLADEN W. J. L., MENZIE C. M., REICHEL W. L., 1966, Nature (Lond.), **210**, 670.
7. TATTON J. O. G., RUZICKA J. H. A., 1967, Nature (Lond.), **215**, 5099, 346—348.
8. WALKER C. H., HAMILTON G. A., HARRISON R. B., 1967, J. Sci. Fd. Agric. **18**, 123—129.

Institutul de cercetări pentru protecția plantelor  
București 18, Bd. „Ion Ionescu de la Brad”, nr. 8

și  
Institutul de cercetări, proiectări și  
documentări silvice  
București 20, Șos. Pipera nr. 46

Primit în redacție la 6 martie 1973



A. WATSON, *An-Illustrated Catalog of the Neotropic Arctiinae Types in the United States National Museum (Lepidoptera: Arctiidae). Part I (Un catalog ilustrat al tipurilor de Arctiinae neotropicale din Muzeul Național al Statelor Unite)*. Smithsonian Institution Press, Washington, 1971, III + 361 p., 252 pl. alb-negru.

După cum reiese și din titlu, prima parte a lucrării lui A. Watson tratează tipurile de *Arctiinae* neotropicale depozitate în Muzeul Național al Statelor Unite.

Lucrarea începe cu prezentarea, pe scurt, a scopului și domeniului, a aranjării și conținutului catalogului și cu mulțumirile autorului (4 p.). Urmează lista alfabetică a genurilor cu speciile și subspeciile ce le aparțin, ale căror tipuri au fost examinate de autor și expuse în lucrare.

În continuare, autorul trece la tratarea celor 445 de tipuri examinate. Prezentarea fiecărei specii începe cu numirea generică și specifică actuală, urmată de numărul planșelor unde sînt figurate aspectul extern și genitalia, precum și încadrarea generică inițială însoțită de bibliografia respectivă. După anvergura exemplarului tip, sînt indicate principalele caractere ale aspectului extern (colorația capului, toracelui, aripilor și abdomenului). În continuare, autorul menționează, pe baza descrierii originale, situația materialului tip și a localității tip. Prezentarea speciilor se încheie cu stabilirea categoriilor de tipuri. Cu această ocazie, acolo unde este cazul, autorul fixează lectotipurile.

La sfîrșitul textului, bibliografia cuprinde cele 133 de lucrări în care au fost descrise speciile ale căror tipuri au fost examinate de autor. În încheiere, este prezentat indexul alfabetic al speciilor tratate în lucrare.

Examinarea tipurilor a permis autorului reîncadrarea corectă în genuri a peste 50 de specii, stabilirea a 28 de sinonimii și scoaterea din sinonimie a cîtorva specii.

Lucrarea este însoțită de un bogat material ilustrativ. Aspectul extern este redat în 435 de fotografii alb-negru, excelent executate, care permit cu ușurință identificarea speciilor. Armătura genitală masculă și femelă este redată în 665 (552 ♂♂ și 113 ♀♀) fotografii foarte clare.

Această lucrare este un prețios determinant care permite identificarea cu certitudine a speciilor de *Arctiinae* neotropicale ale căror tipuri au fost examinate de autor. Totodată, lucrarea constituie o bază pentru viitoarele cercetări asupra *Arctiinae*-lor neotropicale. În același timp, lucrarea este utilă și specialiștilor care studiază *Arctiinae*-le din alte zone zoogeografice permițîndu-le să-și facă o imagine mai cuprinzătoare asupra variabilității morfologice a celor 85 de genuri (unele avînd reprezentanți și în alte regiuni biogeografice) la care aparțin numeroasele specii examinate de autor.

Lucrarea ar fi avut de cîștigat dacă autorul ar fi introdus la prezentarea speciilor și principalele caractere ale genitaliilor.

I. Căpușe



Revista „Studii și cercetări de biologie — Seria zoologie” publică articole originale de nivel științific superior, din toate domeniile biologiei animale: morfologie, fiziologie, genetică, ecologie și taxonomie. Sumarele revistei sînt completate cu alte rubrici ca: 1. *Viața științifică*, ce cuprinde unele manifestări științifice din domeniul biologiei, ca simpozioane, lucrările unor consfătuiri, schimburi de experiență între cercetătorii români și cei străini etc. 2. *Recenzii*, care cuprind prezentări asupra celor mai recente cărți de specialitate apărute în țară și peste hotare.

#### NOTĂ CĂTRE AUTORI

Autorii sînt rugați să înainteze articolele, notele și recenziile dactilografiate la două rînduri, în două exemplare. Tabelele vor fi dactilografiate pe pagini separate, iar diagramele vor fi executate în tuș pe hîrtie de calc. Tabelele și ilustrațiile vor fi numerotate cu cifre arabe. Figurile din planșe vor fi numerotate cu cifre arabe, în continuarea celor din text. Se va evita repetarea aceluiași date în text, tabele și grafice. Explicația figurilor va fi dactilografiată pe pagină separată. Citarea bibliografiei în text se va face în ordinea numerelor. În bibliografie, după numele autorilor (citați alfabetic și cronologic, cu majuscule) se vor cita anii de apariție, apoi titlurile cărților (subliniate) sau ale revistelor (prescurtate conform uzanțelor internaționale). Volumul se va sublinia cu două linii, iar numărul cu o linie, urmînd cifrele paginilor. Lucrările vor fi însoțite de o prezentare a lucrării de maximum 10 rînduri în limba engleză. Textele lucrărilor nu trebuie să depășească 15 pagini dactilografiate (inclusiv bibliografia, explicația figurilor, tabelele).

Autorii au dreptul la un număr de 50 de extrase, gratuit. Responsabilitatea asupra conținutului articolelor revine în exclusivitate autorilor.

Corespondența privind manuscrisele, schimbul de publicații etc. se va trimite pe adresa Comitetului de redacție, Splaiul Independenței nr. 296, București 17.

La revue „Studii și cercetări de biologie — Seria zoologie” paraît 6 fois par an.

Toute commande à l'étranger sera adressé à ROMPRESFI-LATELIA, Boîte postale 2001, telex 011631, Bucarest, Roumanie ou à ses représentants à l'étranger. En Roumanie, vous pourrez vous abonner par les bureaux de poste ou chez votre facteur.